



29200

Universidad Nacional Autónoma de México

FACULTAD DE CIENCIAS
BIOLOGIA

LA MICROFAUNA DE OSTRACODOS Y FORAMINIFEROS
BENTONICOS DEL ABANICO ALUVIAL
DEL RIO TUXPAN, VER.

TESIS PROFESIONAL

Que para obtener el Título de

B I O L O G O

presenta:

XOCHITL RUIZ DEL CAMPO VALDEZ

MEXICO, D.F.

TESIS CON
FALLA DE ORIGEN

MARZO, 1989.



UNAM – Dirección General de Bibliotecas Tesis Digitales Restricciones de uso

DERECHOS RESERVADOS © PROHIBIDA SU REPRODUCCIÓN TOTAL O PARCIAL

Todo el material contenido en esta tesis está protegido por la Ley Federal del Derecho de Autor (LFDA) de los Estados Unidos Mexicanos (México).

El uso de imágenes, fragmentos de videos, y demás material que sea objeto de protección de los derechos de autor, será exclusivamente para fines educativos e informativos y deberá citar la fuente donde la obtuvo mencionando el autor o autores. Cualquier uso distinto como el lucro, reproducción, edición o modificación, será perseguido y sancionado por el respectivo titular de los Derechos de Autor.

TESIS CON FALLA DE ORIGEN

C O N T E N I D O

	Pág.
RESUMEN.....	1
INTRODUCCION.....	2
ANTECEDENTES.....	5
Aspectos biológicos y ecológicos de los foraminíferos.....	9
Aspectos biológicos y ecológicos de los ostrácodos.....	12
AREA DE ESTUDIO.....	16
- LOCALIZACION.....	16
- FISIOGRAFIA Y GEOLOGIA DE LA COSTA DEL GOLFO DE MEXICO.....	16
- CLIMA.....	18
- HIDROGRAFIA.....	18
- LITOLOGIA.....	19
- SEDIMENTOLOGIA.....	20
- ASPECTOS OCEANOGRAFICOS.....	21
a. Corrientes.....	21
b. Mareas.....	21
c. Vientos.....	21
d. Batimetria.....	22
e. Temperatura.....	22
f. Salinidad.....	23
METODOLOGIA.....	24
- Trabajo de Campo.....	24
- Muestreo.....	24
- Preparación y Estudio de los sedimentos.....	25
- Análisis Estadísticos.....	27
a. Análisis de Factores modo "Q"	27
b. Análisis de Cluster modo "Q" y "R".....	28
RESULTADOS Y DISCUSION.....	30
- Ostrácodos.....	30
- Foraminíferos.....	38
CONCLUSIONES.....	48
APENDICE I.....	53
- POSICION TAXONOMICA DE OSTRACODOS.....	53
- POSICION TAXONOMICA DE FORAMINIFEROS BENTONICOS..	70
REFERENCIAS.....	92

FIGURAS:

entre págs

1. Componentes de un sistema deltaico..... 5-6
2. Clasificación de ambientes deltaicos..... 5-6
3. Localización de la zona de estudio..... 1e-17
- d. Distribución de los sedimentos en el abanico aluvial del Río Tuxpan..... 20-21
5. Distribución de las corrientes superficiales en el Golfo de México..... 22-23
6. Distribución de la temperatura en aguas superficiales del Golfo de México..... 22-23
7. Distribución de la salinidad en aguas superficiales del Golfo de México..... 23-24
8. Dendograma modo "Q" del Análisis de Cluster para ostrácodos..... 33-34
9. Dendograma modo "R" del Análisis de Cluster para ostrácodos..... 35-36
10. Dendograma modo "R" del Análisis de Cluster para foraminíferos..... 42-43

MAPAS:

1. Localización de las estaciones estudiadas..... 24-25
2. Asociaciones obtenidas mediante el Análisis de Factores modo "D" en ostrácodos..... 32-33
3. Asociaciones obtenidas mediante el Análisis de Factores modo "Q" en foraminíferos..... 40-41

TABLAS:

1. Datos de las campañas oceanográficas ABACO I y ABACO IV..... 25-26
2. Lista de especies y abundancias de ostrácodos... 30-31
3. Lista de especies y abundancias de foraminíferos 38-39
4. Varimax rotada de ostrácodos..... 31-32
5. Varimax rotada de foraminíferos..... 39-40

RESUMEN

El presente trabajo comprende los primeros resultados del estudio sobre la distribución de foraminíferos bentónicos y ostrácodos en sedimentos correspondientes al abanico aluvial del Río Tuapan. Se colectaron 18 muestras para el Área; se utilizó el "Análisis de Factores" en su modo "Q" y "Análisis de Cluster" en su modo "Q" y "R", los cuales definieron cuatro asociaciones para ambos grupos de organismos.

Con base en las poblaciones de ostrácodos se establecieron cuatro asociaciones faunísticas:

- 1). Una asociación marina, sin influencia aparente del río, fue la de Echinocythereis margaritifera y Macrocyprina skinneri, la cual probablemente se encuentre fuera del abanico aluvial.
- 2). Una asociación intermedia, sujeta tanto al aporte del río, como a los arrecifes, por la presencia de especies como: Lamprocorniculum tricornutum y L. cf. L. postdorsalata.
- 3). Una asociación, sujeta a la influencia fluvial y pobemente representada por organismos como: Proteoconcha proteus y Pellucistoma magniventra. Esta asociación presentó un gran parecido a la 2, por lo cual podría ser continuación de ésta.
- 4). Una asociación más cercana a la boca del río, en donde se presenta un mayor porcentaje de organismos con tolerancia a bajas salinidades, en comparación a las asociaciones más alejadas.

En cuanto a Foraminíferos bentónicos, también se definieron cuatro asociaciones del mismo tipo, obteniéndose en la primera, una fauna marina, que probablemente se encuentra fuera del abanico aluvial, caracterizada por especies de miliolídios como: Peneroplis proteus, Quinqueloculina compta, Q. candeiana y Nodobaculariella cassis entre otras; en la segunda predominaron especies como: Elphidium discoidale forma típica y Hanzawaia concentrica las cuales han sido previamente reportadas en sistemas lagunares y deltas; la tercera estuvo solo representada por la estación 17 con especies poco abundantes como: Quinqueloculina juveniles, Ammonia parkinsoniana y Nonion grataeloupi entre otras, y por último una asociación mayormente influenciada por la descarga del río con especies de Elphidium discoidale forma típica en compañía de Nodobaculariella cassis y Sorites marginalis.

INTRODUCCION

El mar representa una gran fuente de recursos para la humanidad, recursos renovables como lo son, la gran gama de organismos que habitan en él y como no renovables la extracción de minerales y petróleo. A lo largo de los margenes costeros del Golfo de México existen áreas influenciadas por sistemas fluviales que desembocan en él, originando en su mayoría sitios de gran importancia, debido a su uso comercial; tanto en la navegación, como en lo referente a la extracción de carbón y materiales de construcción. Una gran parte de la zona litoral del Golfo de México, está constituida principalmente por materiales de origen terrígeno, provenientes de numerosos ríos que vierten sus aguas al mar; entre los ríos más importantes de norte a sur se encuentran: El Salado, Soto la Marina, Pánuco, Fuxioán, Gácones, Tecolutla, Nautla, Actopan, Antigua, Jamapa, Cotlaxtepec, Blanco, Papaloapan, Alvarado, Coatzacoalcos, Tonala, Orizaba, Usumacinta y el río San Pablo y San Pedro. El agua que fluye a lo largo de los cauces de los ríos, produce principalmente dos efectos: 1) erosiona el terreno por donde pasa, 2) deposita sedimentos en varios puntos a lo largo de su recorrido, depositándolos finalmente en la cuenca oceánica, donde desemboca formando generalmente un delta. (Leet y Judson, 1982).

El Área en donde se forma el delta del Río Tuxpan posee una gran importancia económica debido a la producción de alimentos como lo son las pesquerías, en la construcción y manejo de puertos, como área de recreo y como sitio de desarrollo industrial. Es importante pues, conocer las características tanto biológicas, como físicas, químicas y geológicas de su delta; motivo por el cual el Instituto de Ciencias del Mar y Limnología (ICMyL) de la UNAM, en el año de 1985, inició un estudio interdisciplinario con la finalidad de conocer la configuración de los Abanicos costeros de los ríos, su variación en el tiempo y en particular los fenómenos de mezcla de agua dulce y salada y su relación con las aguas de mar abierto, dicho estudio se planteó a través del proyecto denominado "ABACU" (Estudio de los Procesos Físicos y de la Macrofauna Benthica, asociados a los Abanicos costeros de los principales ríos del suroeste del Golfo de México) a cargo de la Dra. Vivianne Solis Weiss.

La microfauna de organismos bentónicos juega un papel de gran importancia dentro del equilibrio ecológico de los ambientes marinos, ya que nos proveen de información sobre las condiciones oceanográficas del ambiente en el que habitan, facilitando de esta manera una mejor comprensión de la formación y dinámica del mismo; por lo que se decidió emplear a foraminíferos bentónicos y ostracodos, organismos que habitan dichos ambientes. Estos se han considerado de gran importancia en el reconocimiento de

ambientes y paleoambientes, ya que la ubicación de estos pueden ser de gran utilidad para el señalamiento de las estructuras deltaicas y en el caso de deltas antiguos, en la explotación de yacimientos de carbón y materiales para la construcción. Considerando que las asociaciones de ostrícodos y foraminíferos bentónicos tanto fósiles como recientes no han sido ampliamente estudiados en el sur del Golfo de México, se decidió realizar este tipo de trabajo, teniendo como objetivos principales:

- 1) El conocer detalladamente la microfauna de ostrícodos y foraminíferos bentónicos del Abanico Aluvial del Río Tuxpan, con el fin de delimitar su distribución dentro y fuera del mismo.
- 2) Establecer las diferencias entre las asociaciones deltaicas y las marinas circundantes.
- 3) Determinar la influencia del delta sobre las asociaciones de estos organismos.

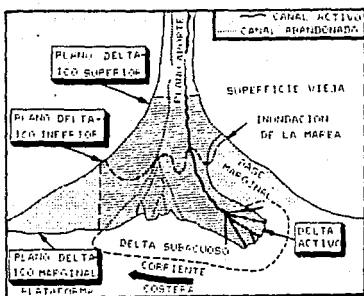


FIGURA 1. COMPONENTES DE UN SISTEMA DELTAICO (Tomado de Coleman y Prior, 1982).

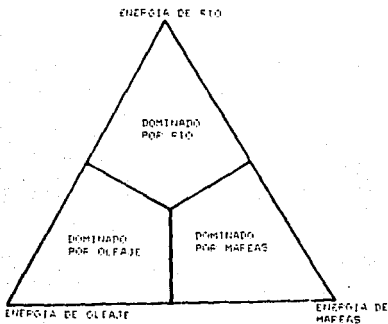
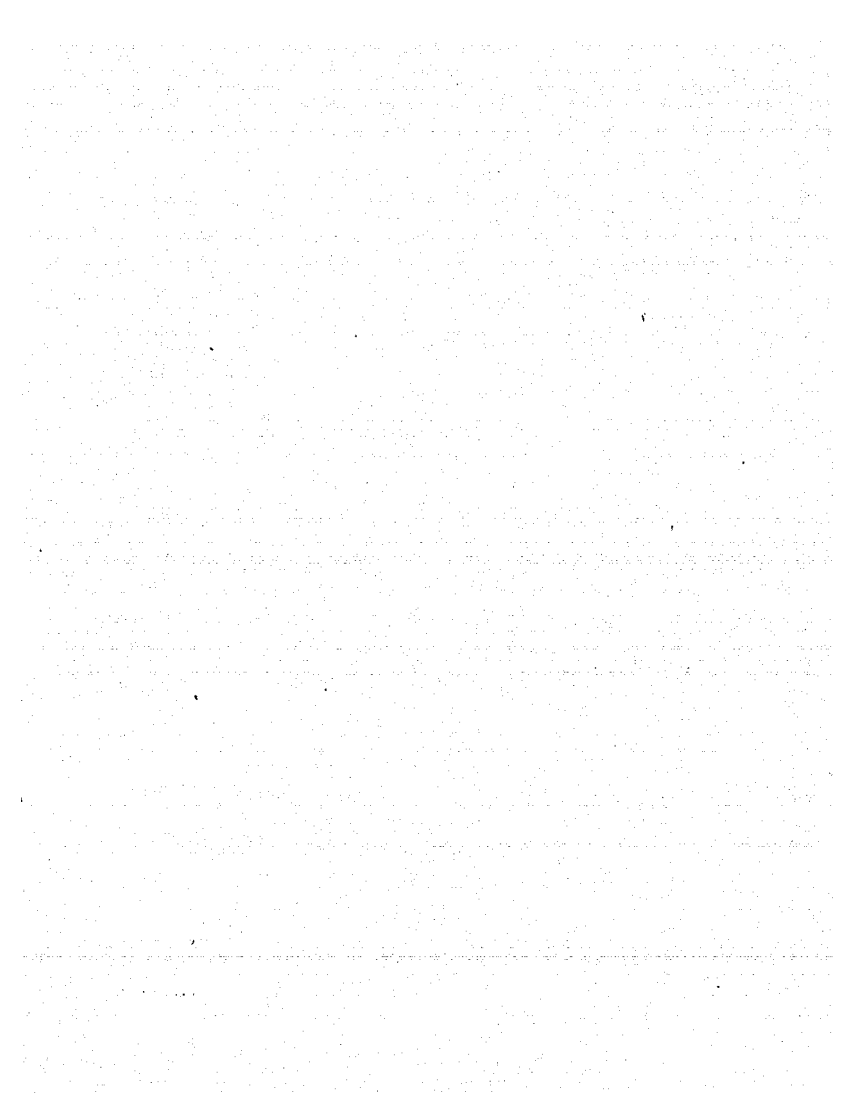


FIGURA 2. CLASIFICACION DE LOS TIPOS DELTAICOS, BASADOS EN LAS VARIACIONES DE LOS PATRONES DE TRANSPORTE EN LOS DELTAS (Tomado de Miall, 1979).



Prieto, 1982). Desde el punto de vista de la acumulación del petróleo, los deltas dominados por marcas y ríos son los más importantes (Coleman op. cit.). siendo el delta del Río Tuxpan un ejemplo dominado por el río.

Criterios para el reconocimiento de un delta:

- 1) Un depósito deltaico tiende a ser bien desarrollado (cientos o aun miles de metros).
- 2) Contienen volúmenes considerables de arenas y limos.
- 3) Posee capas de carbón.
- 4) El contenido faunístico puede indicar ambientes de depósitos marinos, salobres y de agua dulce.
- 5) Las estructuras sedimentarias, indican aguas someras depositadas por corrientes turbulentas.
- 6) Existe una gradación dentro de los depósitos de sedimentos cársticos, donde los de grano grueso se distribuyen cerca de la boca del río y a mayor distancia los de grano fino (Miall, 1970).

Dentro de los trabajos más relevantes, realizados en el Golfo de México, con foraminíferos bentónicos y ostríacos en ambientes fluviales y deltaicos destaca los de Kerfufeld (1931) quien reportó 80 estaciones a lo largo de la costa del Golfo de México, desde el Río Bravo hasta el delta del Río Mississippi, indicando principalmente la abundancia de las especies arenosas; Lanterford (1959) estudió la distribución y ecología de los foraminíferos al este del delta Mississippi; Curtis (1960) identifica

varias especies de ostrácodos y compara su distribución con niveles de energía; Phleger (1960) estableció los patrones sedimentarios de la microfauna en el noreste del Golfo de México, incluyendo a los deltas del Río Mississippi y Río Guadalupe; Andersen (1951) reportó la fauna de foraminíferos en los depósitos de lodo y ambientes vecinos a la boca del mismo río; Upshaw, Breath y Brook (1966) describieron la distribución de los foraminíferos, basándose en 150 muestras comprendidas en la plataforma continental del delta del Río Mississippi al Cañón submarino de Sotol. Donalson *et al.* (1967) estudiaron el delta del Río Guadalupe con el propósito de establecer un criterio en cuanto a los sedimentos deltaicos.

En aguas costeras mexicanas, son escasos los trabajos realizados en desembocaduras de ríos, entre ellos tenemos a Diego-Casimiro (1960) quien compara algunos parámetros ecológicos con la población de foraminíferos bentónicos en un área comprendida entre Tampico, Tux. y Nautla, Ver., incluyendo a la desembocadura del Río Tuxpan; Machado-Castillo en 1960 (en prensa) realizó un estudio sobre los ostrácodos recientes, abarcando desde Tuxpan hasta el este de la desembocadura del Río Grijalva; Machado-Castillo *et al.* (1960 en prensa) realizaron otro estudio para el conocimiento de los ostrácodos de la plataforma continental terrigena de Veracruz y Tabasco.

En cuanto a la sedimentología Campos-Castran (1986) describe las facies sedimentarias en la porción de la plataforma continental entre Tampico, Tamps. y Veracruz, quedando incluida la desembocadura del Río Tuxpan, donde señala que el depósito se encuentra formado principalmente por limos y arcillas; Pérez-Ramos (1988) analizó los sedimentos correspondientes a la desembocadura del Río Tuxpan, incluyendo las mismas muestras para la realización de este trabajo, encontrando que el Abanico Aluvial es preferentemente arenoso con la presencia de sedimentos finos en los centro de este, lo cual puede deberse a la influencia de la laguna existente.

ASPECTOS BIOLÓGICOS Y ECOLOGICOS DE LOS FORAMINIFEROS

Para la mejor comprensión de este escrito, se mencionan a continuación algunos de los aspectos más importantes dentro de la biología y ecología de estos organismos que son útiles para la interpretación de los resultados obtenidos.

Los Foraminíferos son protozoarios unicelulares que habitan en el fondo y en el plancton marino (Brasier, 1980).

La célula de estos organismos consta de un protoplasma que contiene los organelos que se encargan de todas las funciones fisiológicas o vitales: respiración, alimentación, secreción y reproducción. El protoplasma queda encerrado dentro de un caparazón o testa con una o varias perforaciones o aberturas, emitiendo a través de ellos pseudópodos o prolongaciones, que usan para moverse y capturar alimento, rodeando y atrapando pequeños organismos y partículas con sus delgados pseudópodos; los requerimientos alimenticios varían entre las diferentes especies pero en general, incluyen bacterias, diatomeas y otros protistas, pequeños crustáceos, moluscos, nemátodos y larvas de invertebrados (Black, 1982; Brasier, 1980). La reproducción puede ser sexual o asexual en forma alternante o irregular, originando formas microsfericas (asexual) y megalosféricas (sexual); estas formas se encuentran

generalmente juntas en las poblaciones y han sido nombradas megalosféricas a las de pequeño tamaño con protoculum o cámara inicial grande y microsféricas a las de tamaño mayor con protoculum pequeño (Brasier, 1980).

La testa o caparazón puede ser secretada o aglutinada, ésta última constituida por partículas extrañas, como arena o fragmentos de conchas; la secretada se forma por materia orgánica como son la tectina o por minerales como la calcita, aragonita o sílice.

La testa puede estar constituida por una cámara o por varias comunicadas a través de una abertura (Foramen) o varias aberturas (Foramina) dispuestas linealmente en espiral o en zig zag (Black, 1980).

Existen diferentes tipos de aberturas que varían en cuanto a número, tamaño y forma, presentando aberturas primarias y secundarias las cuales pueden ser únicas o múltiples y en cuanto a posición ser terminales, basales, umbilicales, etc. La superficie externa del caparazón o testa puede tener espinas, quillas, rugosidades, estrías finas, costillas, gránulos, etc. Entre las ventajas de la testa se incluyen la de darle estabilidad al organismo (especialmente si la pared es delgada o espinosa, calcárea o aglutinada) sin una concha, la uniformidad de la biomasa y el control de la división celular se encontraría en problemas (Brasier, 1980) ya que las testas le sirven principalmente como una barrera física contra los cambios ambientales, como soporte para su cuerpo y como protección

condiciones posibles predadores o fuerzas físicas externas (Metzner, 1987).

Los foraminíferos son organismos marinos, la mayoría de ellos son bentónicos, aunque también hay numerosos planctónicos. Las formas bentónicas pueden ser sésiles o libres, éstas últimas se desplazan por medio de pseudópodos. Su distribución está controlada por factores físicos tales como la profundidad, temperatura, cantidad de luz, turbulencia de las aguas y características de los sedimentos; por factores químicos como la salinidad del agua y sus elementos disponibles y por factores biológicos como lo es el suministro de alimento de organismos simbióticos, parásitos y predadores (Brasier, 1980). Muchas de las especies se encuentran restringidas a determinados factores lo cual las hace valiosas como indicadores de tales condiciones, siendo particularmente sensibles a la temperatura y a la salinidad (Black, 1982). La variación en la salinidad es un factor ecológico importante en las aguas someras, especialmente a lo largo de las costas, donde las condiciones salinas existen cerca de las descargas de ríos (Bandv, 1986). Otros factores importantes son la naturaleza del fondo marino (arenoso o fangoso) y la turbulencia. La turbulencia es muy importante para los foraminíferos bentónicos, ya que la sedimentación intensa y la mezcla de agua provocan una disminución en las poblaciones de estos protozoarios (Phleger, 1960).

ASPECTOS BIOLOGICOS Y ECOLOGICOS DE LOS OSTRACODOS

Los ostracodos son pequeños crustáceos protegidos por un caparazón externo formado por dos valvas calcáreas, que se articulan en la región dorsal del cuerpo por medio de un ligamento y en su mayoría por una charnela (Pekaroff, 1978).

El cuerpo blando de los ostracodos, se divide en una región anterior, cabeza o céfalo y una región posterior conocida como tórax como en otros artrópodos las partes blandas están cubiertas por un rígido esqueleto de quitina. La cabeza es grande, siendo casi la mitad del cuerpo y en ella se sitúan 4 de los 7 pares de apéndices que poseen, siendo éstos las anterolas, anteras, mandíbulas y maxilas cuya función es de tipo sensorial y alimenticio; los 3 restantes se sitúan en la región del tórax, los cuales son útiles para la locomoción. La mayoría de los ostracodos posee un ojo medio o "móndito" en la región anterodorsal del cuerpo, solo un grupo posee ojos laterales mientras que los demás son ciegos. Las partes blandas de los ostracodos son la base para las clasificaciones biológicas de las formas recientes, considerando específicamente la forma y número de los apéndices y de los órganos reproductores, desafortunadamente éstas características son claramente preservadas en el registro fósil, por lo cual los

palaeontólogos basan su taxonomía en la naturaleza de los caparazones preservados (Pohorný, 1970).

El caparazón de los ostrácodos usualmente es ovalado de forma arrinconada o de frijol, con un tamaño de 0.15 a 2 mm de largo. Este caparazón consiste de una valva derecha y una izquierda, una de las cuales es ligeramente más grande que la otra unidas por un ligamento simple o por una charnela a lo largo del margen dorsal, la cual está constituida por dientes, fosetas, puentes y/o surcos facilitando la articulación de las valvas. Existen diferentes tipos de charnelas desde las más sencillas, las cuales poseen un surco a lo largo del margen hasta aquella que presenta dientes y fosetas en ambas valvas. Las dos valvas que forman el caparazón contienen en las paredes laterales teñidos nerviosos, con una gran variedad de glándulas cubiertas de células epidérmicas las cuales secretan un exoesqueleto quitinosa, sobre la pared interna, llamada "lamela interna" y otra sobre la pared externa, llamada "lamela externa", donde esta última se llega a calcificar en los adultos; el área entre las lamelas es conocida como "vestíbulo" y la línea de fusión entre ellas es llamada "línea de concrecencia" que junto con el margen externo se le conoce como área marginal. La reproducción de éstos organismos se efectúa por medio de sexos separados; aunque en algunas especies de agua dulce se lleva a cabo por partenogénesis, donde solo las hembras ponen huevos fertilizados, el huevo se desarrolla por medio

de una larva llamada "nauplio" la cual sufre cambios a lo largo de su desarrollo por medio de mudas hasta llegar al estado adulto. En algunas especies se observa dimorfismo sexual, el macho y la hembra son distintos y con frecuencia presentan caparazones de diferente talla y forma; las hembras se caracterizan por presentar la región posterior más pronunciada, con protuberancias hemisféricas llamadas "sacos embrionarios", mientras que los machos son más grandes y alargados (Polsony, 1978). Estos organismos poseen una amplia variedad de sistemas nutricionales, numerosas especies se alimentan de plantas marinas y pequeños animales tales como: Anélidos, Nemertinos y pequeños crustáceos, entre otros.

En cuanto a su distribución la salinidad es uno de los factores fundamentales por ser decisivo en su fisiología; las diferentes especies y géneros de ostracodos habitan en rangos de salinidades específicas desde aguas dulces hasta hipersalinas (Polsony, op. cit.). Pocos son los invertebrados que poseen la suficiente tolerancia a las variaciones en salinidad, además de que son los microfósiles más abundantes en sedimentos de aguas salobres y contribuyen significativamente al incremento de éstos (Moore, 1961).

La temperatura del agua es otro de los efectos significativos en la reproducción y supervivencia de algunos taxa de ostracodos; considerándose uno de los mejores factores limitantes en la distribución de muchas

especies. Otro de los factores que controlan la abundancia es el alimento, generalmente la costa contiene abundantes nutrientes incluyendo vegetación, diatomeas, algas y otros organismos microscópicos (Cronin, 1986).

La naturaleza del sustrato tiene gran efecto en la composición de las comunidades. Los ostrácodos bentónicos habitan en el sedimento o en organismos que habitan en el sustrato así la composición de las comunidades al igual que la densidad de individuos depende enormemente del tipo de sedimento (Pakenham, 1978). Con frecuencia se observa que el tamaño, forma y ornamentaciones de estos organismos reflejan la estabilidad, tamaño de grano y peso del sustrato en el cual viven (Brasier, 1980).

La profundidad es otro de los factores que influyen en su distribución en aguas someras de alta energía, tanto la diversidad como la densidad ostrácodos es más baja que en aguas profundas donde hay mayor estabilidad (Moore, 1981).

Después de los foraminíferos, los ostrácodos son el grupo de menor importancia, aunque algunas veces, los ostrácodos tienen ventaja sobre los foraminíferos, por ser más abundantes en facies salobres y de agua dulce. Al disminuir la concentración de sales los foraminíferos tienden a disminuir y los ostrácodos se incrementan, esta relación entre ambos grupos de microfósiles proveen de un método importante para el reconocimiento de antiguas líneas de costa (Moore, ss. cit.).

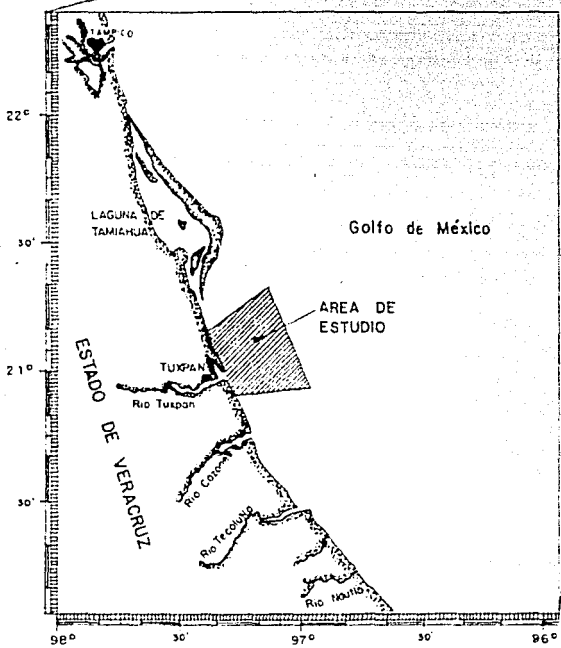
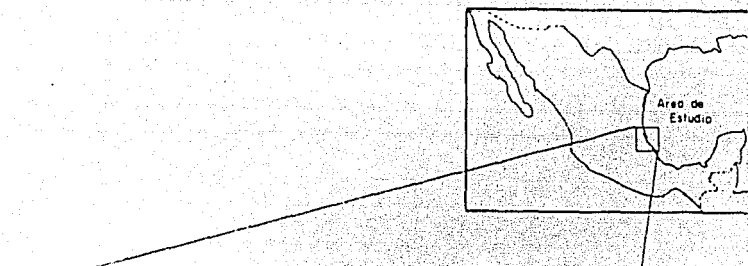
PERÍODO DE ESTUDIO

LOCALIZACIÓN

La zona de estudio se encuentra situada al este del Golfo de México, entre los $20^{\circ}31'$ y $20^{\circ}50'$ de latitud norte, y a los $97^{\circ}00'$ y $97^{\circ}21'$ de longitud oeste, frente a la desembocadura del Río Tuxpan, Ver. (fig. 1) formando parte de la llamada plataforma este de México (Pérez, 1961) y la Región Climática Caribeña tropical (Briggs, 1974; Pérez, 1981).

FIESTOGRAFIA Y GEODIGIA DE LA COSTA DEL GOLFO DE MÉXICO

La costa mexicana de Tamaulipas a Laguna de Términos, incluyendo a la zona del Río Tuxpan es mucho más angosta que otros segmentos costeros (Pérez, 1961). En la desembocadura del Río Bravo (paralíto 26) la plataforma continental tiene una amplitud de 72 a 80 km, gradualmente se va estrechando hacia el sur y en el paralelo 23 se reduce de 37 a 33 km frente al Puerto de Tampico alcanza 45 km. En esta primera porción, el borde de la plataforma continental sigue una dirección suroeste y a partir del paralelo $22^{\circ}20'$ cambia a dirección sureste con la que se extiende hasta la zona volcánica de San Andrés, Tamaulipas. Ver. en esta porción su amplitud es de 6-5-16 km lo que equivale a la mayor reducción en todo el Golfo (Lugo-Hubb,



1985). Desde el Río Bravo a Laguna del Carmen, la línea de costa presenta una serie estrecha de playas arenosas y dunas interrumpidas por grandes lagunas someras, barras, y desembocaduras de ríos (Poag, 1981).

En cuanto a caracteres fisiográficos y geológicos (Edwing, et al., 1958) dividen al Golfo de México en varias provincias topográficas, siendo la de interés, la provincia denominada como Plataforma Este del México; la cual se extiende a partir del Delta del Río Bravo hasta la Laguna del Carmen, México; incluyendo el Área de estudio. Ichupi (1967) divide al Golfo de México en dos provincias sedimentarias: Una provincia carbonatada hacia el este y una tercigena hacia el oeste, donde el Área de estudio se sitúa dentro de la segunda.

Antoine (1972) divide al Golfo de México en siete provincias geológicas, encontrándose la zona de estudio en la Provincia seis, llamada "Plataforma Continental del Este de México". Esta provincia incluye la orilla oeste del Golfo de México, la cual está caracterizada por una serie de pliegues suaves alineados paralelamente, con una amplitud de 5 a 6 millas.

Por otro lado, Carranza-Edwards, et al. (1975) establecen nueve unidades morfotectónicas continentales para las costas mexicanas, donde el Río Tuxpan se encuentra ubicado dentro de la Unidad I, que se extiende desde el Río Bravo, Tamps. hasta Punta Delgada, Ver. De acuerdo a su

clasificación tectónica se puede considerar a ésta unidad como una costa de mares marginales (Inman y Nordstrom, 1971; Int. Carranza, et al., 1975). Según la clasificación geomorfológica y genética de Shepard (1973, Int. Carranza, et al., 1975) ésta unidad presenta dos tipos principales de costas: costas primarias con deposición subárea por ríos, deltaicas; costas secundarias con deposición marina, costas de Barrera e Islas de Barrera (Carranza, sp. cit.).

CLIMA:

El clima general del valle de México es significativo porque controla la temperatura, humedad relativa y precipitación lo cual sirve como base para la diferenciación de las provincias fitogeográficas (Peag, 1983). En el Área de estudio, el clima se considera tropical, subhúmedo, lluvioso en verano y seco en invierno, con excepción de las tormentas de invierno o "Nortes". La temperatura anual media es superior a 18°C con una precipitación anual promedio de 1300 mm. Prevalecen los vientos del este en el verano y se presentan fuertes vientos del norte y noroeste en el invierno; la evaporación es moderada y se incrementa en el invierno (García, 1970).

HIDROGRAFIA:

El Río Tlalpan es la primera corriente al norte de la Planicie Costera Veracruzana y nace en las estribaciones de

de Sierra Madre oriental, con la mitad de los ríos fluyendo a Tamaulipas. Tiene una corta extensión de cuenca en la zona montañosa, pues la lluvia se precipita en rápida pendiente para alcanzar la Llanura costera que cruce con numerosos meandros para desembocar en el Golfo de México, en el este denominado Bahía de Tuxpan, después de 180 Km de recorrido y con una pendiente de 0.084 ppm. La cuenca tiene una extensión de 8400 km² y su descenso medio anual es constante en 4234 millones de m³. El valle del Río Tuxpan al noreste occidental es de topografía elevable, mientras que el margen oriental es arcillosoarenoso con vegetación en el valle, tiene forma irregular y el lodo está constituido por material arenoso y roto. Es de tipo permanente, relativamente caudaloso (Temayo, 1974 y SARH, 1971).

ESTOLOGÍAS

La Fisione Costera del Golfo de México consiste de sedimentos marinos terciarios que reposan sobre sedimentos Mesozoicos plegados o Paleocárdo metamorfizado (Glo-ArgAnz y Krubak, 1982). En el margen continental de esta área existen fragmentos de sedimentos Terciarios y Cuaternarios, con excepción de la Sierra de Tuxtla que es volcánica (Ayala-Tastanaro y Segura, 1981). Los depósitos del Cuaternario en esta área parecen haberse derivado principalmente de la Formación Tuxpan (Glo-ArgAnz y Krubak, 1982).

SEDIMENTOLOGÍA:

La distribución de los sedimentos en el Golfo de México está intimamente relacionada con la fisionomía, clima, corrientes y la composición de las aguas continentales (Poag, 1981).

La corriente del Río Tuxpan deposita principalmente limos y arcillas, los carbonatos se encuentran en menor proporción que la fracción fina, posiblemente están representados por las testas depositadas de organismos con esqueleto formado por carbonatos de calcio; tales como los foraminíferos, ostríscodos, pelecípodos y otros más (Campos-Cistern y Silva, 1986).

Pérez-Ramos (1988) definít para el mes de febrero de 1985, un abanico costero frente a la boca de Tuxpan. Dicho eje mayor tiene una orientación NW-SW con concentraciones de arena variables entre 1 y 90%; los valores inferiores de arena se presentaron en el vértice del abanito a 7 m de la barra y de la boca de la laguna de Tampanachoco, teniendo sin embargo el 73% de la muestras entre 57 y 90% de arena. El autor considera que la orientación del abanico arrojó probablemente respuesta a la influencia de la corriente litoral al SW generada por los nortes y por la inercia de descarga de los sedimentos del río. Para septiembre de 1986 observó que el abanico se presentó más reducido, en forma semejante al año anterior, donde predominaron más muestras arenoso-iódosas (Fig. 4).

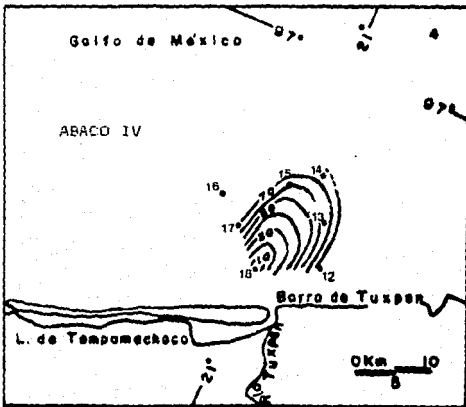
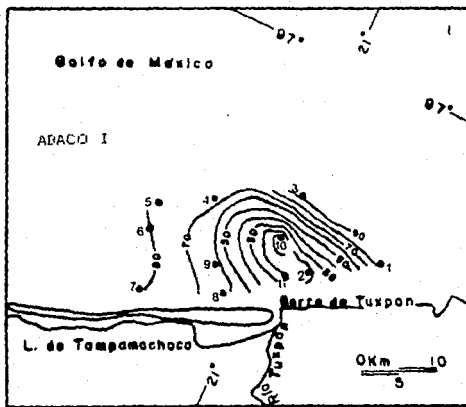


FIGURA 4. DISTRIBUCIÓN DE LOS SEDIMENTOS EN EL ABANICO ALUVIAL DEL RÍO TUXTOPAN. Correspondientes al mes de febrero (ABACO I) y septiembre (ABACO IV) (Tomado de Pérez-Ramos, 1988).

ASPECTOS OCEANOGRÁFICOS:

a) Corrientes:

La corriente principal del Golfo de México, es la que pasa a través del canal de Yucatán; la cual fluye a lo largo de las costas del Golfo en sentido sureste-noroeste, hasta salir por el canal de Florida a gran velocidad, dando lugar a la corriente del Golfo (Fig. 5).

En el Área de Tumpan se desconocen las características de la circulación del agua aunque los principales factores son las mareas, el viento y la descarga de los ríos (Cruz, 1966 Int. Avala-Castañares y Segura, 1981).

b) Mareas:

Las mareas en el Golfo de México son poco sensibles, sobre ellas ejercen influencia los vientos reinantes, encontrándose frecuentemente, que el nivel del mar permanece estacionario por varios días. La diferencia de las alturas entre la baja y la alta marea pueden calcularse como término medio, en 30 centímetros (Tamayo, 1974).

Cruz (1966 Int. Avala-Castañares y Segura 1981) mencionan que las mareas para la región de Tumpan pueden extrapolarse como diurnas y de rangos muy pequeños.

c) Vientos:

Los vientos dominantes en toda la extensión del Golfo son generalmente de noroeste a sureste; soplan durante todo

el año con bastante regularidad, a menos que éstos sean interrumpidos por una depresión barométrica. En los meses de noviembre a abril prevalecen los del noreste y en los de abril a noviembre los de sureste.

En las proximidades de la costa, generalmente después de la media noche, soplan vientos procedentes del continente y se establece nuevamente la brisa del mar entre las ocho y nueve de la mañana (García, 1970).

d) Batimetria:

La batimetria del área sur del Golfo de México no presenta accidentes topográficos notables ya que su comportamiento muestra un gradiente continuo con isobatas que van de 20 a 2000 braza (Uchupi, 1967). En el área de Tuxpan la distribución de las curvas batimétricas es esencialmente paralela a la línea de costa y la plataforma en este lugar es amplia, puesto que la isobata de 40 m se encuentra a unos 18 km frente al Río Tuxpan (Pérez-Ramos, 1988).

e) Temperatura:

La temperatura en el Golfo de México varía de acuerdo a las estaciones del año (Fig. 6) en el caso del área que comprende a la desembocadura del Río Tuxpan, las temperaturas predominantes fluctúan en un rango de 19°C a 21°C para la época de invierno y un rango de 24°C a 27°C para la época de verano.

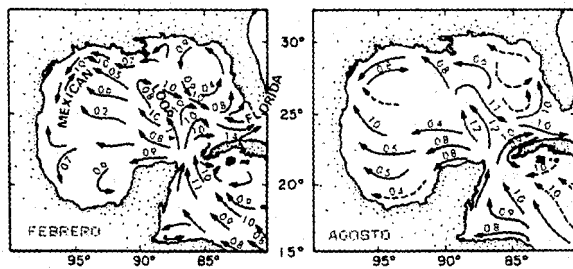


FIGURA 5. DISTRIBUCION GENERAL DE LAS CORRIENTES SUPERFICIALES EN EL GOLFO DE MEXICO. Los números a los lados de las flechas indican la velocidad de la corriente en nudos (Tomado de Poag, 1981).

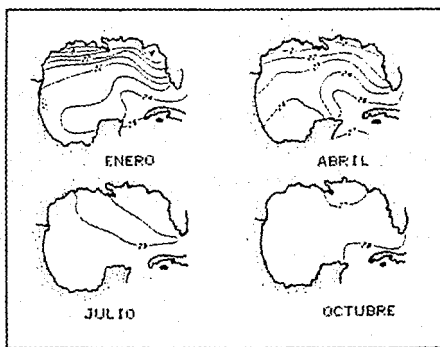


FIGURA 6. DISTRIBUCION DE LA TEMPERATURA EN AGUAS SUPERFICIALES DEL GOLFO DE MEXICO (Tomado de Poag, 1981).

f) Salinidad:

La salinidad de las aguas costeras en el Golfo de México disminuye por el flujo de agua dulce aportada por los ríos. Al sur del Golfo la evaporación es más intensa, lo cual origina salinidades más altas que en la región norte (Poag, 1981) (Fig. 7).

El área de la desembocadura del río Tuxpan presenta valores de salinidad de 36-37 ‰, llegando a alcanzar salinidades normales marinas en época de secas, ya que el aporte de agua dulce disminuye y existe una mayor evaporación del agua.

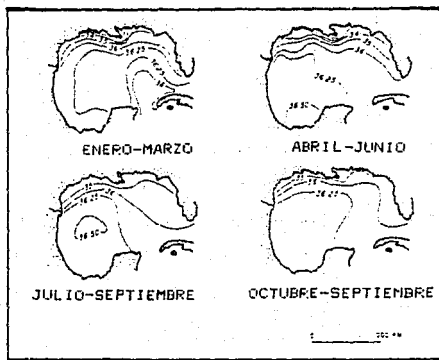


FIGURA 7. DISTRIBUCION DE LA SALINIDAD EN AGUAS SUPERFICIALES DEL GOLFO DE MEXICO (Tomado de Phay, 1981).

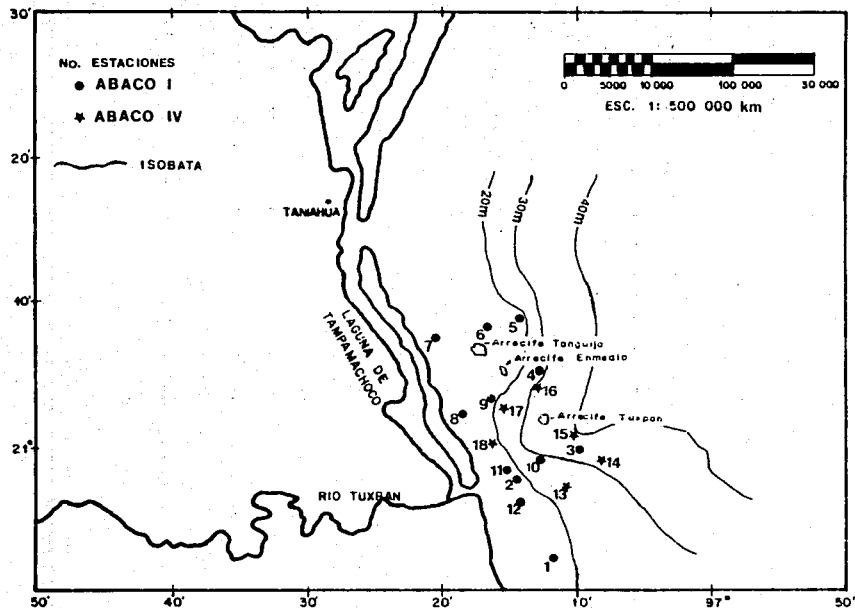
METODOLOGIA

TRABAJO DE CAMPO:

La colecta de sedimento superficial para el presente estudio se efectuó en las campañas oceanográficas I y IV del proyecto "ABACO" (Estudio de los procesos físicos y de la macrofauna benthica, asociada a los abanicos costeros de los principales ríos del Sureste del Golfo de México) a bordo del Buque Oceanográfico "JUSTO SIERRA", del Instituto de Ciencias del Mar y Limnología ("ICMyl") de la UNAM. Tales campañas se realizaron durante los meses de febrero de 1985 y septiembre de 1986; obteniéndose un total de 18 muestras (Tabla 1) colectadas por personal del Laboratorio de Micropaleontología y Ecología de Foraminíferos (Mapa 1).

MUESTREO:

El muestreo en la campaña oceanográfica ABACO I, fue llevado a cabo con una draga "Van Veen"; una vez obtenido el sedimento, fueron tomados 50 cm³ de sedimento superficial número correspondiente a un centímetro de espesor, porción en la que es posible obtener las poblaciones de organismos de interés para este estudio, colocándolas en frascos de vidrio, rotulados debidamente.



MAPA 1. LOCALIZACION DE LAS ESTACIONES ESTUDIADAS.

En la campaña ABACO IV se trabajó de la misma manera solo que a las muestras se les agregó formal al 4% con el propósito de fijar las partes blandas de los ejemplares vivos en el momento de la colección; agregando borato de sodio, para obtener un pH alcalino, neutralizando de esta manera la acidez del formal e impidiendo la disolución parcial o total de los testos.

PREPARACION Y ESTUDIO DE LOS SEDIMENTOS:

Las muestras fueron tratadas en el Laboratorio de Ecología de Foraminíferos y Micropaleontología en el ICNLY de la UNAM; donde se procedió a su procesamiento micropaleontológico a partir de la técnica de Newman, la cual consiste en lavar las muestras de los sedimentos con agua corriente en un tamiz (abertura de malla 1.0625 mm) con el propósito de eliminar el exceso de limos y arcillas; posteriormente lo restante se colocó en cápsulas de porcelana para ser secadas en un horno de secado a temperaturas no mayores de 45°C; a partir de este sedimento se obtuvieron los organismos base de este estudio (foraminíferos y ostracodos) con la ayuda de un microscopio estereoscópico.

En el caso de las muestras correspondientes a ABACO IV, éstas fueron teñidas con una solución saturada de Sudan Negro, preparada con alcohol etílico al 70%. Esta técnica tiene por objeto tener de un color oscuro, las partes blandas de los ejemplares vivos encontrados en el momento de

ESTACION NO.	LATITUD N W	LONGITUD W	PROF. m	T/fondo °C	S/fondo %	S ZLODO	E ZARENA	N %GRAVA	T O	L R	G I A	CLASIFICACION
1	20 52.5	97 12.0	17.6	21.1	35.5	19.0	75.3	05.7	arena lodoso			
2	20 57.6	97 14.0	19.8	21.1	35.4	17.0	13.0	----	lodo arenoso			
3	21 00.0	97 09.7	35.6	21.8	36.0	01.2	86.9	11.9	arena gravill			
4	21 05.2	97 12.7	28.3	21.8	36.0	23.0	77.0	----	arena lodoso			
5	21 08.7	97 14.4	19.6	21.5	35.8	25.0	75.0	----	arena lodoso			
6	21 08.5	97 16.7	15.3	20.0	35.0	20.4	79.6	----	arena lodoso			
7	21 07.6	97 21.0	15.5	20.0	34.6	19.0	77.8	03.2	arena lodoso			
8	21 02.4	97 18.9	15.1	20.4	35.0	34.0	57.4	08.6	arena lodoso			
9	21 03.2	97 16.6	19.8	20.8	35.2	37.0	63.0	----	arena lodoso			
10	20 59.6	97 13.5	24.2	21.5	35.7	98.9	01.1	----	lodo			
11	20 58.6	97 15.8	18.0	22.0	35.3	78.0	23.0	----	lodo arenoso			
12	20 55.9	97 14.5	12.8	27.1	35.4	14.0	86.0	----	arena lodoso			
13	20 57.0	97 11.5	23.8	25.4	36.4	39.0	58.6	02.4	arena lodoso			
14	20 58.7	97 08.5	30.7	28.1	36.6	26.0	70.0	----	arena lodoso			
15	21 00.9	97 10.2	39.1	24.1	36.3	39.1	56.6	04.7	arena lodoso			
16	21 04.0	97 12.8	30.8			27.0	70.1	02.9	arena lodoso			
17	21 02.2	97 14.7	24.5			30.0	70.0	----	arena lodoso			
18	21 00.5	97 16.5	19.0			99.2	00.8	----	lodo			

TABLA No. 1. UBICACIONES DE LAS ESTACIONES, PARAMETROS HIDROLOGICOS Y SEDIMENTOLOGIA, OBTENIDOS DURANTE LAS CAMPAÑAS "ABACO I" (estaciones 1-11) y "ABACO IV" (estaciones 12-18). Prof.=profundidad; T=temperatura;
S=salinidad.

la colectas previamente fijados por el formal, lo cual permite distinguir a los ejemplares vivos de los muertos (Walker, et al., 1974).

Para la aplicación de ésta técnica es necesario que la muestra haya sido previamente lavada y secada, para añadirlle la solución concentrada de Sudan Negro que deberá mantenerse a una temperatura de 40° C durante el transcurso de 30 minutos, en baño maría, entonces se procede a lavar el sedimento en un tamiz adecuado, eliminando el exceso de colorante con la solución de alcohol etílico al 70%, dejandola secar al ambiente.

Cada una de las muestras fue fraccionada cuantas veces fuera necesario, utilizando para ello el fraccionador Otto, considerando un mínimo de 200 ejemplares por muestra, que es el número que resulta lo suficientemente representativo para el conocimiento de las poblaciones (Phleger y Parker, 1960). En el caso de los ostrácodos solo se consideraron a aquellas muestras que presentaran como mínimo 100 organismos, debido a la poca abundancia que éstos presentaron.

Tanto los ostrácodos como los foraminíferos fueron colocados en placas micromicropaleontológicas para su determinación taxonómica, la cual fue realizada con la ayuda de la bibliografía especializada; considerando para el caso de los foraminíferos bentónicos, las características morfológicas de las testas como lo son: La textura y ornamentación de la pared, forma, número y

enroollamiento de las cámaras y el tipo de abertura que éstas presentan. Para ostrácodos, los caracteres que se consideraron para determinarlos, se basaron en la forma, tamaño del caparazón, la posición de las impresiones musculares, el área marginal, la channela y las ornamentaciones externas.

ANALISIS ESTADISTICOS:

Dos métodos cuantitativos fueron elegidos para el análisis de los datos: El Análisis de Factores (donde el análisis estadístico se realizó a través del programa de computo SPSS "Statistical Package for the Social Sciences" (Kim, 1978) en su modalidad "Q" y el Análisis de Cluster, en sus modalidades "Q" y "R" (Davis, 1973). Para el reconocimiento de las asociaciones se utilizó el Análisis de Factores y de Cluster en su modo "Q", mientras que para la determinación de las especies característica de dichas asociaciones se utilizó el Análisis de Cluster en el modo "R".

ANALISIS DE FACTORES:

El Análisis de Factores es una de las técnicas estadísticas multivariadas, frecuentemente usadas en estudios geológicos y biológicos. Este es un método de reducción, en el que los datos pueden ser reordenados o reducidos a un pequeño grupo de factores o componentes (Kim, 1978). En este estudio las variables las constituyen las

abundancias relativas de las especies expresadas en porcentajes.

Los métodos factoriales pueden ser de dos clases: Modo "P" y Modo "R". En este estudio fue empleado solo el primero, el cual consiste en relacionar las muestras intentando discernir patrones o agrupaciones, su objeto principal radica en determinar si los datos representan ejemplos de poblaciones simples o mezcladas. El primer paso consiste en calcular una matriz $N \times N$, de similaridad entre todos los pares de muestras (Davis, 1973). Cuando este método es utilizado para distribuciones ecológicas o paleoecológicas, las agrupaciones finales pueden ser concretas formando de esta manera asociaciones de especies características a lo que comúnmente se le conoce como Gofocas (Davis, op. cit.).

ANÁLISIS DE CLUSTER:

El fin de este análisis consiste en clasificar a los objetos en grupos más o menos homogéneos, de manera que se manifiesten las relaciones entre los grupos (Sneath y Sokal, 1973 Inv. Davis, 1973). El tipo de Análisis de Cluster que se presenta para este estudio, es una versión aplicada por Davis (1973) la cual consiste en utilizar los promedios de las medias aritméticas ponderadas ("WPGMA") utilizando como medida de similaridad la distancia taxonómica promedio o el coeficiente de correlación. Existen dos modalidades, el Modo "O" descrito por Sokal y Sneath (1973) el cual acepta

como datos de entrada una matriz de datos de n x M, dando como resultado un análisis entre muestras. En tanto "P" acepta como datos de entrada una matriz de datos de n x d, dando como resultado un análisis entre las variables, en este caso las abundancias relativas de las especies.

RESULTADOS Y DISCUSIÓN

De las 18 estaciones analizadas, se obtuvieron y determinaron un total de 94 especies de foraminíferos bentónicos, pertenecientes a 46 géneros que corresponden a 27 familias y 82 especies de ostrácodos representados por 50 géneros correspondientes a 21 familias (Apéndice I). La distribución de las muestras, así como su abundancia absoluta y relativa se encuentran en las tablas 2 y 3. En el estudio de los organismos no se encontraron partes blandas, por lo cual no se pudieron diferenciar organismos vivos de muertos al momento de la colecta.

OSTRÁCODOS

Para los ostrácodos sólo se tomaron en cuenta las estaciones con poblaciones mayores de 100 organismos, por considerarse que un número menor a éste, no era estadísticamente representativo (muestras 4,5,8,9, 11,13,14,15,16 y 17) (Tabla 2). La poca abundancia de ostrácodos en las muestras restantes (1,2,3,6,7,10,12 y 18) puede deberse a alguno o varios de los siguientes factores:

- 1) Alta energía del Ambiente.
- 2) Aporte de agua dulce y otros materiales acarreados.
- 3) Turbidez.
- 4) Tamaño del sedimento.

TABLA No. 2. LISTA DE ESPECIES Y ABUNDANCIAS DE OSTRACODOS.
 Los números de la parte superior indican los porcentajes de
 la abundancia absoluta y los de la parte inferior los
 porcentajes de la abundancia relativa de cada especie por
 estación.

ESTACION	4	5	6	9	11	13	14	15	16	17
MAR. TOTAL DE INDIVIDUOS:	326	112	258	246	132	366	301	169	313	245
MAR. DE ESPECIE POR ESTACION:	44	29	41	40	36	44	39	30	36	42
ESPECIES										
1. <i>Allomyctoceraspis sp.-A</i>	3	1	—	—	2	3	1	14	—	—
	0.9	0.0	—	—	0.7	1.0	0.0	4.5	—	—
2. <i>Aurilia eximia</i>	1	1	4	12	6	4	1	3	4	—
	0.3	0.8	3.0	4.9	4.5	1.1	0.6	1.0	1.4	—
3. <i>Baetis sp.</i>	1	—	5	—	15	4	1	5	1	—
	0.3	—	1.7	—	5.0	1.3	0.6	1.6	0.3	—
4. <i>Baetiscella magna</i>	—	—	1	—	—	—	—	—	—	—
	—	—	0.3	—	—	—	—	—	—	—
5. <i>Baetiscella sp. A</i>	—	—	—	—	—	2	—	—	—	—
	—	—	—	—	—	0.7	—	—	—	—
6. <i>Candona hispanica</i>	—	—	—	—	—	—	—	—	3	—
	—	—	—	—	—	—	—	—	1.0	—
7. <i>Cubanacidea ravenae</i>	12	1	—	2	—	—	—	—	—	—
	3.7	0.0	—	0.7	—	—	—	—	—	—
8. <i>C. sp. secunda</i>	6	5	5	11	7	6	12	3	2	1
	1.9	4.5	1.7	3.6	5.3	2.0	4.0	1.0	0.6	0.3
9. <i>C. sp.</i>	—	—	—	—	1	—	—	—	6	—
	—	—	—	—	0.7	—	—	—	2.7	—
10. <i>Cyathidella sp.</i>	—	—	—	0.3	—	—	—	—	—	—
	—	—	—	0.3	—	—	—	—	—	—
11. <i>Cytheridella reticulifera</i>	4	1	12	3	2	3	3	10	1	0
	1.3	0.0	4.4	1.0	1.5	1.0	1.0	5.9	0.3	—
12. <i>Cytheridella cf. Crassula</i>	7	1	—	—	—	1	1	6	—	—
	2.1	0.0	—	—	—	0.3	0.3	3.5	0.3	—
13. <i>Cytheridella fumiferana</i>	—	—	—	0.7	5	6	3	1	1	—
	—	—	—	0.7	3.8	2.0	1.0	0.6	0.3	—
14. <i>Cytheridellina concentrica</i>	4	2	20	7	—	1	—	—	—	—
	1.3	1.0	6.7	2.4	—	0.3	—	—	—	—
15. <i>Cytheridellina exilis</i>	—	—	—	—	—	—	—	—	0.3	—
	—	—	—	—	—	—	—	—	0.3	—
16. <i>C. williamsensis</i>	—	1	2	3	1	2	3	4	—	—
	—	0.0	0.7	1.0	0.7	0.7	1.7	2.4	—	—
17. <i>Cytheris elongata</i>	—	—	1	1	—	—	—	—	—	—
	—	—	0.3	0.3	—	—	—	—	—	—
18. <i>C. tenuitarsis</i>	—	—	—	4	3	3	—	—	—	—
	—	—	—	0.3	1.0	1.0	—	—	—	—
19. <i>C. cf. C. seta</i>	—	—	4	3	1	4	4	—	—	—
	—	—	0.3	0.3	0.3	1.3	1.3	—	—	—
20. <i>C. cf. C. tenuitarsis</i>	—	—	4	2.3	0.3	1	—	—	0.3	0.3
	—	—	1.5	2.3	0.3	1	—	—	0.3	0.3
21. <i>C. cf. C. valentinii</i>	—	2	1	1	—	—	—	—	—	—
	—	0.7	0.3	0.3	—	—	—	—	—	—
22. <i>C. sp. A</i>	—	—	—	—	—	1	—	—	—	—
	—	—	—	—	—	0.3	—	—	—	—
23. <i>C. sp. B</i>	—	1	10	9	—	3	3	2	4	1
	—	0.0	0.7	2.1	—	1.0	1.0	1.1	1.5	0.3

CONTINUACION de la Tabla 2.

24. <i>C. sp. C</i>	5	2	1-3	1	1	1	1	2
25. <i>C. sp. D</i>	1-6	1-6	0.5	1	0-3	0-3	0-6	2
26. <i>C. juveniles</i>			1-4	0-7				2
27. <i>Lamprothrixia emarginata</i>		4	1-3	2	1	1	1	4
28. <i>Leucithrix sp. L. leucostoma</i>	10	26	1-3	1-5	0-5	0-2	27	1-1
29. <i>Leucithrixia leucostoma</i>	24-3	25-2	2-9	7-9	15-9	16-0	42	2-
30. <i>U. subtilis</i>	1	0-5						3
31. <i>Holmgrenia cf. H. semipellucida</i>	3	6	1-3	0-7				1-1
32. <i>Indosarcinaea reducta</i>	0-9	5-3	2-3	0-7	3-6	2-0	4	0-3
33. <i>Keila stellata</i>			2	3	0-5	2	2-4	0-8
34. <i>Lamprothrixia floridensis</i>			0-7					1-7
35. <i>L. sp.</i>					1			0-7
36. <i>Lamprothrixia salicinodentata</i>					0-5		4	
37. <i>L. squamata</i>							1-2	1
38. <i>L. cf. L. leucostoma</i>	3	1	6	5	1	0	4	0-3
39. <i>L. sp. A</i>	1-2	0-9	2-0	3-0	0-3	2-0	1-2	0-1
40. <i>Lamprothrixia scutellatum</i>	0-3					0-7	0-6	0-3
41. <i>L. cf. L. quadrangularis</i>	0-3		14	6	18	4	2	10
42. <i>Onthophagana spinosa</i>	1	25	4-9	4-5	6-0	1-3	0-6	3-0
43. <i>Onthophagana spinosa</i>	0-3	0-4	6-6	9-8	5-7			2
44. <i>Ostroceratane spinosa</i>	1-5	12			14	45	24	0-7
45. <i>Onthophagana spinosa</i>	4-0	10-7			4-6	14-5	14-2	4-6
46. <i>Onthophagana spinosa</i>	15	2	25	12	6	31	12	20
47. <i>Onthophagana spinosa</i>	0-7	1-0	7-7	4-1	4-5	10-3	4-6	6-4
48. <i>Onthophagana spinosa</i>			1		1			2
49. <i>Onthophagana sp.</i>			0-3		0-3			0-7
50. <i>Onthophagana sp.</i>			1					
51. <i>Onthophagana cf. O. ciliolata</i>	1		5	3	2	2		23
52. <i>Onthophagana sp.</i>	0-2		1-7	1-0	1-5	0-7		7-0
53. <i>Onthophagana sp.</i>					2	1		4
54. <i>Oncideres brevis</i>	10	2	33	2	6	6	4	1-4
55. <i>Oncideres brevis</i>	5-1	1-0	11-0	0-7	4-5	2-0	1-3	0-6
56. <i>Oncideres brevis</i>			2	2	2	1		1
57. <i>Oncideres brevis</i>			0-7	0-7	1-5	0-5	0-5	0-5
58. <i>Oncideres brevis</i>	10	2	1	6	5	2	5	3
59. <i>Oncideres brevis</i>	5-1	1-0	0-3	2-0	3-8	0-7	1-0	0-5

CONTINUACION de la Tabla 2.

51. <i>Calcareum</i> cf. <i>E. incisa</i>		1							
52. <i>Calcareum</i> <i>incisum</i>	1	2	1	1					
53. <i>Calcareum</i> <i>exiguum</i>	0.5	1.0	0.5	0.5					
54. <i>E. sp. A</i>	3	2	11	6	1	5	2	0.6	0.3
55. <i>Calcareum</i> <i>exiguum</i>	0.9	1.0	2.7	2.0	0.7	1.7	0.7	1.2	0.3
56. <i>E. sp. A</i>	2	2	1	1			2	2	0.6
57. <i>Calcareum</i> <i>exiguum</i>	0.6	0.7	0.5	0.7			0.7	0.6	2.0
58. <i>Calcareum</i> <i>exiguum</i>	1	3	4	2		1	1	6	
59. <i>Calcareum</i> cf. <i>E. angustata</i>	0.5	1.0	1.4	1.4	0.5	0.5	3.5		1
60. <i>E. sp.</i>									0.3
61. <i>E. sp.</i>			2	1	5				7
62. <i>E. sp. A</i>	1	0.5	0.7	0.5	3.0		2		2.4
63. <i>E. subtilis</i>	0.6	10	57	38	59	19	31	49	22
64. <i>E. subtilis</i>	14.4	9.4	19.2	15.3	18.4	10.3	16.3	15.0	19.0
65. <i>E. subtilis</i>	4	1				7		3	5
66. <i>E. sp. A</i>	3.6	0.5				2.5		1.0	1.6
67. <i>Calcareum</i> cf. <i>E. incisa</i>			2	1					41
68. <i>Calcareum</i> <i>subtilis</i>	3					5	11		13.9
69. <i>E. sp.</i>	0.9					0.7	1.7	13.0	
70. <i>Calcareum</i> <i>subtilis</i>	0.5						5		1.3
71. <i>Calcareum</i> <i>subtilis</i>	1	1						6	
72. <i>E. sp.</i>	0.9	0.5						1.9	
73. <i>Calcareum</i> ? cf. <i>A. pectinata</i>	1	3			3	8	2	1	6.2
74. <i>Calcareum</i> <i>subtilis</i> cf. <i>A. pectinata</i>	0.5	1.0			2.5	2.7	2.5	0.3	0.3
75. <i>Calcareum</i> <i>subtilis</i>	11	1	5		3	7	11	20	3
76. <i>Calcareum</i> <i>subtilis</i>	3.0	0.9	1.7		1.0	2.3	0.5	0.9	1.0
77. <i>Calcareum</i> <i>subtilis</i>	3	0	10	1	1	2		1	0
78. <i>Calcareum</i> <i>subtilis</i>	0.9	2.7	3.5	0.7	0.5	0.6		0.3	2.7
79. <i>Calcareum</i> <i>subtilis</i>	2					1	3		21
80. <i>E. concreta</i>	0.6					0.3	1.0		0.7
81. <i>E. concreta</i>	5	2	17	4	5	9	2		3
82. <i>E. concreta</i>	1.0	1.0	0.7	1.0	3.0	3.0	1.1		1.0
83. <i>E. hirsutula</i>			2			1			1
84. <i>Quadraxilla</i> cf. <i>Q. quadrata</i>			0.7			0.3			0.1
85. <i>Quadraxilla</i> cf. <i>Q. quadrata</i>			1	3	2	1	2		
86. <i>Quadraxilla</i> cf. <i>Q. quadrata</i>			0.3	1.0	1.5	0.3	0.6		
87. <i>Radixilla</i> <i>caerulea</i>			2	1			1		
88. <i>Radixilla</i> <i>caerulea</i>			0.7	0.5			0.3		
89. <i>Scleropeltis</i> cf. <i>A. pectinata</i>			2						1
90. <i>Scleropeltis</i> cf. <i>A. pectinata</i>			0.7						0.3
91. <i>Isomella</i> <i>versicolor</i>	1		2	2					
92. <i>Isomella</i> <i>versicolor</i>	0.5		0.2	1.5					
93. <i>Isomella</i> <i>versicolor</i>			8			1			6
94. <i>Isomella</i> <i>versicolor</i>			0.9	0.5					2.0
95. <i>Isomella</i> <i>versicolor</i>	0.1	10	27		1	41	51	0	6
96. <i>E. sp. A</i>	4.7	16.0	9.6	0.7	14.6	10.3	4.7	1.7	
97. <i>E. sp. A</i>	2	2	30		10	9	4	5	9
98. <i>MUDAS DE TRACHITHELIDAE</i>		1	1	2		1	1		3.1
99. <i>OSTRACODI</i> cf. <i>A.</i>		0.9	0.5	1.5		0.3	0.6		0.3

Los puntos 1 a 3 crean un ambiente inestable poco propicio para el desarrollo de éstas comunidades (Curtis, 1960).

El tamaño y forma de las partículas de sedimento, así como su grado de compactación, son factores importantes en la distribución de los ostrácodos (Pokorný, 1978). King y Kornicker (1970; *in:* Cronin, 1986) mencionan que la abundancia de éstos organismos está controlada por el alimento y la salinidad, encontrando en su estudio que son más abundantes en arrecifes y en sedimentos lodosos que en sustratos arenosos. Los sedimentos de grano grueso, aparte de contener poca cantidad de materia orgánica, presentan problemas mecánicos para la preservación de los caparazones produciendo en éstos abrasión o rompimiento.

Con las 10 muestras que contuvieron más de 100 ostrácodos, se integró una matriz de 57 especies con abundancias relativas mayores al 1%, para la elaboración del Análisis de Factores Modo-"Q". De acuerdo a los "Eigenvalues" y al valor acumulado de la varianza, se escogió una solución con 4 factores, los cuales explican el 90.8% de los datos. El peso de los Factores para cada muestra se observa en la Tabla 4.

El dendograma obtenido con la misma matriz para el Análisis de Cluster Modo-"Q" (Fig.8) revela también 4 asociaciones, agrupadas en la misma forma que en el Análisis de Factores, lo cual confirma la existencia de 4 biofacies de ostrácodos en el Área de estudio (Mapa 2).

TABLA No.4 Asociaciones referentes al Análisis de Factores donde se muestran los pesos de la Varimax Rotada, para el grupo de ostrácodos.

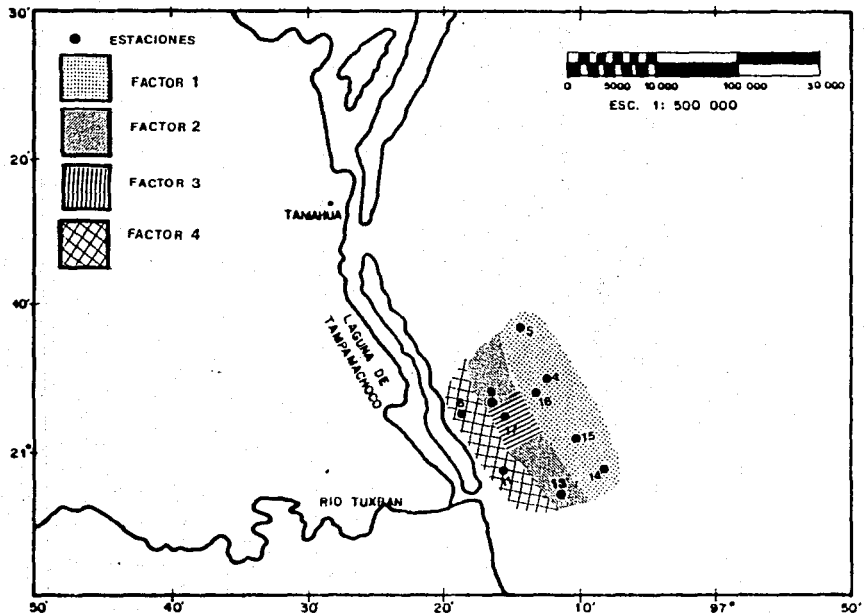
ESTACION	FACTOR	PESO DE FACTOR
4	I	0.93890
5		0.86163
14	ASOCIACION	0.82746
15	I	0.85811
16		0.74182
9	II	0.62154
13	ASOCIACION 2	0.66775
17	III	0.86607
	ASOCIACION 3	
8	IV	0.86225
11	ASOCIACION 4	0.85321

Para determinar las especies importantes en la caracterización de estas biofacies, se elaboró un análisis de Cluster Modo-"R" (Fig. 9) en el cual se aprecian 4 asociaciones principales de ostrácodos correlacionables con los 4 factores obtenidos en el análisis Modo-"Q".

Se describen a continuación las cuatro asociaciones obtenidas:

ASOCIACION NO.1 (FACTOR 1)

Esta Asociación se integró de las muestras más profundas: 4,5,14,15 y 16, donde las dos primeras fueron colectadas en época de secas, mientras que las restantes en época de lluvia; ubicadas a profundidad de 28.3 a 39.1 m, excepto la muestra 5, con una profundidad de 19.6 m. Se caracterizó por tener valores de temperatura de 21.5 a 25.1 °C y salinidades de fondo de 35.8 a 36.3 ‰, con el predominio de sedimento arena-lodoso. Esta asociación se representó por 51 especies, siendo las más importantes: Cushmanidea sagena, Cytherella vermillionensis, Cytherelloidea cf. C. sarsi, Cytheroptheron yorktownensis, Cytherura sp. C., Echinocythereis margaritifera, Hulinopsis cf. H. semicircularis, Loxoconcha sp. A, Macrocyprina skinneri, Paradoxostoma ensiforme, Pecatocytheridea sp., Pontocythere tuberculata y Xestoleberis ribgy (Fig. 9, Asociación 1). Echinocythereis margaritifera es la especie de mayor abundancia dentro de esta asociación (15.1%). Esta especie se ha reportado para profundidades entre los



MAPA 2. ASOCIACIONES OBTENIDAS MEDIANTE EL ANALISIS DE FACTORES MODO-“Q” EN OSTRACODOS.

12 y 240 m (Kontrovitz, 1976) aunque alcanza sus mayores abundancias (10-50%) entre los 50 y 110 m en el sur del Golfo de México (Machain-Castillo et al, en prensa). Macrocyprina skinneri fué otra de las especies más abundantes (9.2%). Esta especie ha sido reportada por Kontrovitz (1976) para profundidades de 30 a 42 m; aumentando su abundancia con la profundidad. La presencia de éstas especies netamente marinas en altas proporciones, nos indica un ambiente sin influencia importante de aguas fluviales; lo cual se corrobora con el bajo porcentaje (14%) de organismos de afinidades dulceacuícolas y salobres.

La asociación incluyó muestras colectadas tanto en época de lluvias como en épocas de secas, lo cual coincide con la hipótesis de que la influencia fluvial es poca o nula sobre estos conjuntos faunísticos, los cuales se encuentran probablemente fuera del delta o en los márgenes de éste, donde la alteración de las condiciones marinas no es lo suficiente para modificar la estructura de la comunidad de ostrácodos, encontrando que el 86% de la comunidad se encontró formada por especies marinas, mientras que solo el 14% fueron especies que prefieren bajas salinidades.

ASOCIACION NO.2 (FACTOR 2)

Presente en las estaciones 9 y 13, ubicadas a profundidades de 19.8 y 23.8 m, temperatura de 20.8 y 25.4 °C, valores de salinidad de 35.2 y 36.4%, respectivamente y

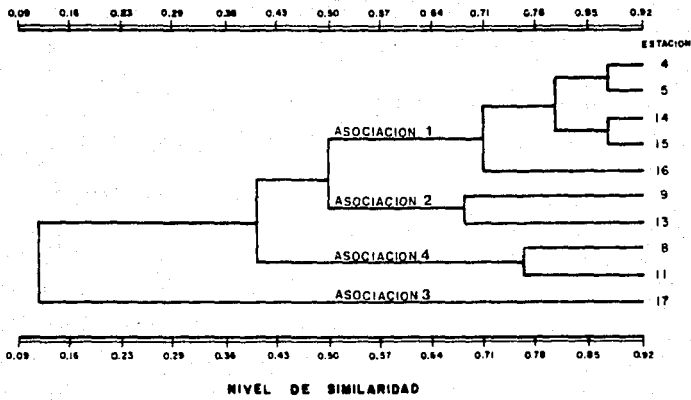


FIGURA 8. DENDROGRAMA MODO-"Q" DEL ANALISIS DE CLUSTER EN EL GRUPO DE OSTRACODOS. El eje horizontal representa los valores de similaridad entre las estaciones.

mismo tipo de sustrato (arena-lodosa). Esta asociación consta de 53 especies, donde las especies características de ésta asociación se encuentran representadas en el Análisis de Cluster Modo-"R" (Fig.-9, Asociación 2) siendo éstas: Aurila amygdala, Cushmanidea seminuda, Bairdia spp., Cytherura sandbergi, C. cf. C. maya, C. cf. C. valentini y Cytherura spp., Jugosocythereis pannosa, Keijia demissa, Loxocorniculum tricornatum, L. cf. L. postdorsalata, Neomonoceratina sp., Paracytheridea tschoppii, P. vandenboldi, Perissocytheridea sp., Pseudacythere sp.A, Quadracythere producta, Tanella gracilis y Mudas de Trachyliberididos. Las especies más abundantes de éste conjunto, en orden decreciente son: Loxocorniculum tricornatum (5.30%), L. cf. L. postdorsalata (4.97%), Bairdia spp. (3.31%), Aurila amygdala (2.65%) y Paracytheridea vandenboldi (1.65%). L. tricornatum, L. cf. L. postdorsalata, y Bairdia sp. han sido reportadas para áreas ricas en Carbonato de Calcio y áreas arrecifales (Puri y Hullings, 1957; Krutak, 1982). La presencia de estos organismos no significa necesariamente que habiten esta zona, sino que por otras circunstancias, pueden haberse acumulado debido al transporte de agentes físicos, tales como las corrientes. La presencia de estas especies implica que estas muestras han sido influenciadas por el aporte de sedimentos carbonatados provenientes de los arrecifes (Tanguillo, Enmedio y Arrecife Tuxpan) cercanos a la zona. En ésta asociación se observa un ligero aumento

en el porcentaje de especies tolerantes a bajas salinidades (15%). La abundancia de especies tales como Echinocythereis margaritifera, Cytheropteron yorktownensis y Pterigocythereis alophia, que caracterizan a la asociación 1, tienden a disminuir ligeramente, probablemente porque ésta asociación se encuentra más cercana a la descarga fluvial que la asociación no.1.

ASOCIACION NO.3 (FACTOR 3)

Esta sólo incluye a la estación 17 (colectada en época de lluvia) la cual presentó una diversidad faunística de 35 especies poco abundantes en comparación con las otras estaciones y por ello se presenta como un grupo aparte, ubicada a 24.5 m de profundidad con un tipo de sustrato arena-lodosa (30% de lodo y 70% de arena) quizás su baja abundancia se deba al alto contenido de arenas que presentó. Se encontraron especies como: Cushmanidea sp., Cytherura sp. H., Neoglytherideis cf. N. cylindrica, Pellucistoma magniventra, P. sp. A, Proteoconcha proteus, Pumilocytheridea ayalai, Radimella confragosa, Triangulocypris sp. y Xestoleberis sp. A (Fig. 9, Asociación 3). Las especies más abundantes dentro de ésta asociación son: Proteoconcha proteus (6.16%), Pellucistoma magniventra (4.22%) y Neomonoceratina sp. (1.29%). En donde Neomonoceratina sp., Pellucistoma magniventra, Proteoconcha y Pumilocytheridea han sido reportadas (Swain, 1955) como especies predominantes en

ESPECIES

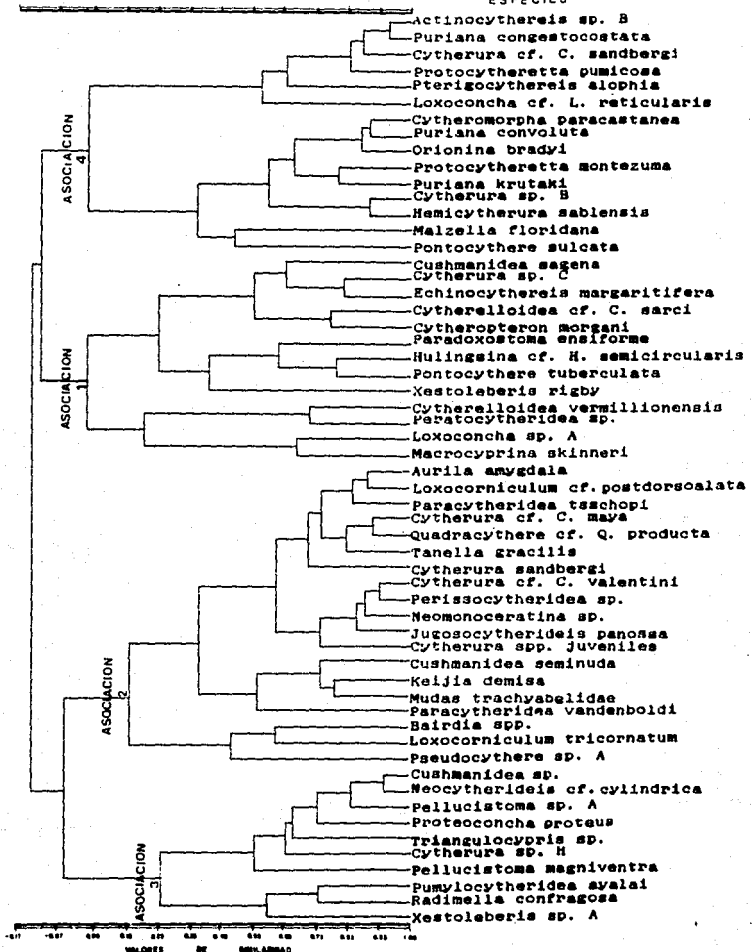


FIGURA 9. DENDROGRAMA MODO-“R” DEL ANALISIS DE CLUSTER EN EL GRUPO DE OSTRACODOS. El eje horizontal representa los valores de similaridad entre las especies.

ambientes cercanos a la costa y tolerantes a bajas salinidades. Esta asociación se diferenció de las demás por su baja diversidad; las especies presentes aquí, estuvieron en su mayoría en todas las asociaciones, teniendo un mayor parecido con la asociación número 2.

ASOCIACIÓN N°.4 (FACTOR 4).

Incluye a las estaciones 8 y 11 (las más cercanas a la costa) con los siguientes parámetros oceanográficos (Tabla No.1) profundidad de 15.1 y 18.0 m, temperatura de 20.4 y 22.0°C, salinidad de 35.0 y 35.3 %, tipo de sustrato arena-lodosa y lodo-arenoso respectivamente. Esta asociación comprende un total de 46 especies donde las más comunes son: Cytheromorpha paracastanea, Cytherura sp-B, Hemicytherura sabiensis, Malzella floridana, Orionina bradyi, Pontocythere sulcata. Protocytheretta montezuma louisianensis, Puriana convoluta y P. krutaki. Las especies de mayor abundancia fueron: Pontocythere sulcata(17.0%), Orionina bradyi(%), Loxocorniculum cf. L. postdorsalata (8.5%), Malzella floridana(6.5%), Cytheromorpha paracastanea (5.6%), Puriana convoluta (5.0%) entre otras. Estas especies ocurren en su mayoría en ambientes con fondos arenosos y lodos finos afectados por la influencia de los ríos. Morales (1966) reporta a Cytheromorpha paracastanea en áreas lagunares y ambientes marginales, mientras que géneros como Pontocythere y Malzella se han encontrado a profundidades de 20 a 60 metros en la plataforma continental.

terrigena del sureste del Golfo (Machain-Castillo, 1988). El 27% de las especies presentes aquí se constituyó por especies tolerantes a bajas salinidades, mientras que el 73% fueron especies que prefieren ambientes más estables, lo cual hace notar que existe una mayor influencia de la descarga del río con respecto a las otras asociaciones.

La asociación 4 al compararse con la asociación no.2 se diferenció en la ausencia de especies tales como: Pterigocythereis alophia, Macrocyprina skinneri, Xestoleberis sp. A, Puriana congestocostata. y Echinocythereis margaritifera que han sido reportadas para ambientes más profundos y sin influencia fluvial directa.

En general se puede decir que la asociación 1 se encuentra fuera de la influencia del río, mientras que las otras están siendo afectadas por el aporte del mismo, lo cual se puede corroborar con la presencia de fauna característica en cada una de las asociaciones, anteriormente citadas.

FORAMINIFEROS

De las 94 especies determinadas, solo 58 de ellas se eligieron para la conformación de la matriz; para ello, se consideraron a aquellas especies presentes en más de cuatro estaciones y con valores relativos mayores al 1%, por ser estadísticamente más representativas. La abundancia de éstos organismos permitió trabajar con las 19 estaciones (Tabla 3). De acuerdo a los "Eigenvalues" y al valor acumulado de la varianza, se escogió una solución con tres factores, los cuales explican el 74.8% de los datos. El peso de los factores para cada muestra se observa en la tabla 5. Por medio del Análisis de Factores en su Modo-"Q" se definieron cuatro asociaciones para el área de estudio (Mapa 3). El Análisis de Cluster en su Modo-"Q", no se consideró para este grupo por presentarse muy confuso para el entendimiento de la distribución de estos organismos. Para la estructuración de la distribución de las especies representativas de cada factor se analizó el dendograma obtenido en el Análisis de Cluster-Modo "R" (Fig.10).

Las asociaciones obtenidas se conformaron de la siguiente manera:

TABLA No. 3. LISTA DE ESPECIES Y ABUNDANCIAS DE FORAMINIFEROS BENTONICOS. Los números de la parte superior indican los porcentajes de la abundancia absoluta y los de la parte inferior los porcentajes de la abundancia relativa de cada estación por especie.

ESTACIONES	1	2	3	4	5	6	7	8	9	10	11	12	13	14	15	16	17	18
NO. TOTAL DE INDIVIDUOS	311	301	313	305	303	420	315	315	304	306	316	301	316	305	300	321	345	303
NO. DE ESPECIES POR ESTACIONES	40	39	31	42	35	36	27	37	35	36	40	40	35	39	35	33	35	35
ESPECIES																		
1- <i>Ammodytes carolinianus</i>	9.1	2	9.1	5	2	7	0	6	6	6	30	4.1	3	1	2	4	5	17
Forma típica	2.9	0.7	2.9	1.6	0.6	1.6	2.5	1.6	1.7	1.9	9.5	11.9	0.7	0.3	0.7	1.2	1.6	5.6
2- <i>A. carolinianus</i>	10	20	7	11	9	4	15	12	4	3	3	3	1	1	1	1	1	5.6
Forma típica	3.2	6.7	2.3	3.6	2.1	1.3	3.7	3.4	1.3	0.9	1.3	1.3	1	0.3	0.3	1.4	1.4	5.6
3- <i>Ammodytes hexapterus</i>	0.3	1	0.3	0.3	0.3	0.3	0.3	0.3	0.3	0.3	0.3	0.3	0.3	0.3	0.3	0.3	0.3	0.3
4- <i>Ammodytes nigerius</i>	3	26	1	1	0	0	0	0	0	0	3	0.9	0.3	0	1	1	1	17
Forma típica	0.9	0.3	0.3	0.3	0.3	0.3	0.3	0.3	0.3	0.3	0.3	0.3	0.3	0.3	0.3	0.3	0.3	0.3
5- <i>Archaeum angulatum</i>	1	2	0	1	0	0	3	0	0	0	0	0	0	0	0	0	0	0
6- <i>Argulus lineatus</i>	9	1	1	1	1	23	22	17	4	1	1	1	1	2	1	1	1	3
7- <i>A. rufescens</i>	2.9	0.3	0.3	0.3	0.3	0.3	0.3	0.3	0.3	0.3	0.3	0.3	0.3	0.3	0.3	0.3	0.3	0.3
8- <i>Ascidiscione calcareata</i>	7	1	1	0	0	0	0	0	0	0	0	0	0	0	0	0	0	0
9- <i>Bathyporeia irregularis</i>	4	1	0	6	1	1	1	1	0	0	0	0	0	0	0	0	0	0
10- <i>Bryocamptus gracilis</i>	1.3	0.3	0.6	1.9	0.3	0.3	0.3	0.3	1	1	2.6	5.7	5.8	0.7	3.4	3.8	0.5	1
11- <i>B. longirostris</i>	2	0.7	0	0	0	0	0	0	0	0	0.3	0.3	0.3	0.3	0.3	0.3	0.3	0.3
12- <i>B. elongatus</i>	2.9	0.6	0	0	0	0	0	0	0	0	0	0	0	0	0	0	0	0
13- <i>B. spp.</i>	0	0	0	0	0	0	0	0	0	0	0	0	0	0	0	0	0	0
14- <i>Buliminella marginata</i>	2	0	5	0	0	0	0	0	0	0	0	0	0	0	0	0	0	0
15- <i>Buliminella elongatissima</i>	0.7	0	1.5	0	0	0	0	0	0	0	0	0	0	0	0	0	0	0
16- <i>Cancilla ranae</i>	1	0	0	1	1	0	0	0	0	0	0	0	0	0	0	0	0	0
17- <i>Cassidinella obsoletaria</i>	0.3	0	0.9	0.3	0.2	0	0	0	0	0	0	0	0	0	0	0	0	0
18- <i>Cerithidea declivaria</i>	2	0	0	0	0	0	0	0	0	0	0	0	0	0	0	0	0	0
19- <i>C. spp.</i>	0.6	0	0	0	0	0	0	0	0	0	0	0	0	0	0	0	0	0
20- <i>Echinidium discoidale</i>	41	8	50	40	51	21	61	35	40	62	35	15	25	0.9	0.9	0.9	0.9	0.9
Forma típica	13.6	2.5	16.4	13.2	11.9	6.7	20.0	9.5	13.0	19.6	13.9	11.0	4.6	6.3	6.3	6.3	6.3	6.3
21- <i>E. discoidale</i>	49	14	4	6	16	3	10	17	7	29	16	16	15	14	15	15	15	27.7
Forma translúcida	15.4	6.3	1.3	1.9	0.6	3.7	0.9	2.0	0.5	2.2	6.3	4.6	5.5	5.0	4.4	4.3	5.6	5.6

CONTINUACION de la Tabla 3.

22. <i>L. tenuistylus</i>		3	2	1	3	4	2	2	2	3	5	2
23. <i>L. laevigat</i>		1	1	1	1	1	1	1	1	1	1	1
24. <i>L. heterolepis</i>		0.3	0.3	0.3	0.3	0.3	0.3	0.3	0.3	0.3	0.3	0.3
25. <i>L. spp.</i>	3	15	12	5	4	4	1	1	1	1	1	1
26. <i>Korrense austriacum</i>	0.7	4.9	5	12	5	5	4	4	8	10	1.5	3
27. <i>L. ciliolata</i>	6	6	3.9	1.5	1.2	1.2	1.3	1.3	2.6	2.6	2.5	2
28. <i>L. heterolepis</i>	2.6	1.7	0.6	1	1	1	1	1	1.9	2.3	0.3	0.6
29. <i>L. heterolepis</i>	1.9	1.9	0.3	0.3	0.3	0.3	0.3	0.3	1.6	2.6	1.6	0.6
30. <i>L. heterolepis</i>											3	1
31. <i>L. galathaea</i>											0.6	0.6
32. <i>L. heterolepis</i>											7	2
33. <i>L. galathaea</i>											2.6	6
34. <i>Oxydectes cf. O. exca</i>											1	1.4
35. <i>Obionea spp.</i>		1	1	1	1	2	1	1	1	1	1	1
36. <i>Ostichiton austriaca</i>	0.3	3	4	0.5	0.5	0.5	0.5	0.5	0.5	0.5	0.5	0.5
37. <i>O. spp.</i>	0.3	0.9	1.3	1	1	1	0.5	0.5	0.5	0.5	0.5	0.5
38. <i>Hololepta consimilis</i>	43	41	3	34	20	10	11	10	52	17	19	10
39. <i>Lamella cf. L. laevigat</i>	13.6	13.6	0.9	11.1	6.6	10.5	11.5	6.5	14.7	3.9	12.3	5.9
40. <i>L. laevigat</i>											26	17
41. <i>Lamellulae cf. L. laevigat</i>	1	1	1	1	1	1	1	1	1	1	1	1
42. <i>L. spp.</i>	0.3	2	0.5	0.5	0.5	0.5	0.5	0.5	0.5	0.5	0.5	0.5
43. <i>Gasteruption spp.</i>		0.7									1	
44. <i>Mesochorus sibiricus</i>											0.5	
45. <i>Microcercis calcicollis</i>											4	
46. <i>Notatacanthigaster tessellata</i>	31	6	20	21	9	79	111	44	34	35	35	30
47. <i>Notatacantha spp.</i>	9.9	1.9	0.9	6.9	2.9	18.5	32.2	10.6	9.6	11.6	5.7	14.5
48. <i>Neolaelia brasiliensis</i>	4	21	5	6	7	7	1	10	20	10	4	14
	2.9	5.9	1.6	1.9	1.6	1.6	1.9	2.6	6.5	3.5	1.5	3.5

C^{ON}INUACION de la Tabla 3.

49. H. sp.				1	2		3		1	1	1		
50. <i>Pseudoselaginella willdenowii</i>	8	6	80	11	79	6	6	1	1	1	1	9	53
	2.6	1.9	25.5	3.6	20.0	1.4	0.3	0.2	3.1	0.5	0.9	1.5	16.5
51. <i>Planerellina</i>				1.3	0.9				1	1	1		
<i>endlicherianae</i>				2	2	3		2	13	1	6	4	2
52. <i>Planerellina schimperi</i>	3			0.6	0.6	0.7		0.7	3.7	0.4	1.9	1.0	0.6
53. <i>P. tenuissima</i>	2	2		12	3		1	7	5	1	1	1.6	0.3
	0.6	0.7		3.9	0.9		0.3	0.6	0.9	0.3	1.7	1.5	0.3
54. <i>Pseudoselaginella</i> sp.							0.3		1	1			
55. <i>Psilotum elongatum</i>	1			2		3		2	2	1	4		6
	0.5			0.6		0.7		0.6	0.7	0.5	1.7		1.9
56. <i>P. cf. P. gracile</i>	1			3		2		0.7			1	1	1
	0.3			0.9		0.6					0.3	0.3	0.3
57. <i>P. tenuissima</i>				1		4		1	1				
	0.3			0.3		0.9		0.3	0.3				
58. <i>Quinetia selaginoides trichocarpa</i>				9		2.6						4	20
												0.3	0.2
59. <i>Q. bicolorata</i>	1	17		2	5	9	5	1			6	6	12
Forma <i>vergente</i>	0.3	5.4		0.6	1.5	2.1	1.6	0.5			1.9	1.0	3.7
60. <i>Q. bicolorata</i>	7	2	36	10	9	7	1	2	5	2	4	15	17
Forma <i>tipica</i>	2.2	0.7	11.5	3.3	2.9	1.6	0.3	2.6	1.4	0.6	1.3	4.7	6.0
61. <i>Q. sandwicensis</i>	15	4	13	33	20	22	19	20	20	4	16	31	51
62. <i>Q. tanakae</i>	4.0	1.1	4.1	10.6	6.6	5.1	6.0	6.5	7.9	1.3	5.0	10.7	19
	2.1	0.4	1.2	3.7	1.7	1.9	1.4	1.0	1.2	3	7	10	1.9
63. <i>Q. glomeruliflora</i>	6.7	1.3	7.0	5.6	5.6	4.0	1.3	3.3	3.4	0.9	2.3	3.3	1.9
64. <i>Q. buxifolia</i>				1	2		2						0.3
				0.3	0.6		0.6						2
65. <i>Q. laxiflora</i>	1			1		1		1	1	1	1		1
	0.3			0.3		0.3		0.3	0.3	0.3	0.3		0.3
66. <i>Q. limosaefolia</i>	1	1				10	1	1	0.3	0.3	0.3		1.3
var. <i>comata</i>	0.3	0.3				3.2	0.3	0.3					1.1
67. <i>Q. galaxoides</i>	1					2						1	1
	0.3					0.6						0.3	0.3
68. <i>Q. subunduliflora</i>				3									
				0.9									
69. <i>Q. eximia</i>				1		2							
				0.3		0.6							
70. <i>Q. schimperi</i>				1									
				0.3									
71. <i>Q. sericeopilosa</i>	8	3	8		3	2	1		2	1	5	6	3
	1.6	0.9	2.5		0.7	0.6	0.3		0.6	0.3	1.1	1.1	1.4
72. <i>Q. amplexicaulis</i>	3				2			2	1	2	2		2
	0.9				0.5			0.6	0.3	0.6	0.6		0.6
73. <i>Q. cf. Q. thunbergii</i>	7	2	6	10	2	4		6	1	3	3	1	3
	2.2	0.7	1.9	3.3	0.6	0.9		1.9	0.3	0.9	0.9	0.3	0.6
74. <i>Q. variabilis</i>						2	2	1		2	3	3	2

CONTINUACION de la Tabla 3.

	1	2	3	4	5	6	7	8	9	10	11	12	13	14	15	16	17	18
75. <i>G. juveniles</i>	12	1	15	4	2	9	1	10	5	10	15	12	3	2	75	10		
	3.0	0.3	4.6	1.2	0.6	2.1	0.3	2.3	1.6	3.1	4.4	3.5	1.0	0.6	21.7	5.6		
76. <i>Ectenophrynia edwardsi</i>	1	4		1					3		2	1			1	2		
	0.3	1.3		0.3					0.9	0.3	0.6	0.3			0.3	0.7		
77. <i>Gemmella atlantica</i>		1		2					5		1	1	1		1		0.3	
	0.3			0.6					0.8	1.6	0.3	0.3	0.3		0.3		0.3	
78. <i>Hesaliaea crucinna</i>	2	1				0.7				3	3	2	2	1	7		0.6	
	0.6	0.3								0.3	0.3	0.3	0.3	0.3	0.3	2.0		
79. <i>E. auxiliaris</i>	2	1			2	2		1	3	3	3	2	2	1	5			
	0.6	0.3			0.6	1.7		0.3	0.8	0.9	0.7	0.6	0.6	0.3	2.0			
80. <i>Vallesia loishemachii</i>	3	11		2	2				5	23	7	4	1	5				
	0.9	3.6		0.6	0.6				1.6	7.5	2.2	1.7	0.3	1.0		1.6		
81. <i>Sphaerium tricarinatum</i>					1					1		1						1
					0.3					0.3		0.3					0.3	
82. <i>G. exilis</i>		1		1	1										12		6	
	0.3			0.3	0.3										3.7		1.9	
83. <i>Sacculina terminalis</i>	12	4		1	3	65	36	25	41	4	15	12	10	2	3			
	3.0	1.3		0.3	0.9	14.7	11.4	7.5	11.6	0.6	4.7	3.9	0.7	0.6	1.0			
84. <i>Unilamellaria cf. E. benthica</i>						5	1.6	1.6	1.6								0.1	
85. <i>G. acicula</i>			1		1	1	2								2	4	4	1
86. <i>Tantillulae exilisimana</i>	3	1		2	4	4	3	2	5	1		0.6		0.6	1.5	1.2	0.6	0.3
	0.9	0.3		0.6	2.6	1.3	0.9	0.9	0.7	1.6	0.3		0.6	0.6	0.5	0.9	0.3	
87. <i>L. sexata</i>			2	6	3	1	5	5	4	1	1	3	12	29	19			
	0.6	1.9	0.9	0.2	1.6	1.1	0.3	0.3	0.3	0.6	0.3	3.0	8.9	6.3				
88. <i>Trilobulaea macrostoma</i>																	2	0.6
89. <i>L. trileptidea</i>	1		4	2	2					1				0.3		2.7		
	0.5		1.3	0.6	0.6					0.5				0.3			11	3
90. <i>L. lemnaria</i>	2	2	9	14	6		10	5	4		6	9	10	7	0	11	3	
	0.6	0.7	2.9	4.6	2.6		1.6	1.6	1.1		1.9	2.0	1.0	2.3	4.5	3.2	0.6	
91. <i>Urocalymene heterolepis</i>																		0.6
92. <i>Valvularia sp.</i>	3	6									1							
	0.9	1.9									0.3							
93. <i>Misarcularia amissula</i>																		
94. FORAMINIFEROS NO DETERMINADOS	12	40	1	1		1			5	149	111	20.1	5.8	0.3	0.6	0.7	0.6	5.0
	3.0	13.3	0.3			0.3				1.6	1.1		0.6					

ASOCIACION N°.1 (FACTOR 1)

De acuerdo al análisis de factores, la asociación 1 se conformó por las estaciones 3,4,5,14,15 y 16. La localización de las estaciones en cuanto a profundidad fue de 19.6 a 39.1 m, con valores de temperatura de 21.5 a 25.5°C y valores de salinidad de 35.8 a 36.6 ‰. El tipo de sustrato predominante fue de arenas con porcentajes de 70.1 a 86.9 %; además de contener todos, las muestras 3 y 16 presentaron gravas, con valores de 11.9 y 2.9 % respectivamente. Esta asociación presentó un total de 45 especies. La mayoría de la fauna que caracterizó a ésta asociación se representó por milíolidos de testas gruesas, donde las especies de mayor predominancia fueron: Peneroplis proteus (3.6-26.0%), Quinqueloculina candeiana (4.1-14.0%), Quinqueloculina compacta (3.8-12.1%) y Modulariella cassiz (2.9-11.7%). Estos organismos han sido reportados por Parker, 1954; Dandy, 1956 y Wright y Hay (In: Bock, 1971) entre otros, como especies asociadas a zonas arrecifales, ricas en carbonato de calcio; lo cual hace pensar que la mayor parte de éstos organismos deriven de los arrecifes que existen a los alrededores del área de estudio o que su ocurrencia probablemente este sujeta a las condiciones del medio, donde la influencia fluvial no los alcanza, ya que no soportan bajas salinidades, pues según Phleger (1960) los milíolidos son más abundantes y frecuentes en condiciones de salinidades marinasi:

TABLA No.5 Asociaciones referentes al Análisis de Factores, donde se muestran los pesos de la Varimax Rotada en el grupo de foraminíferos.

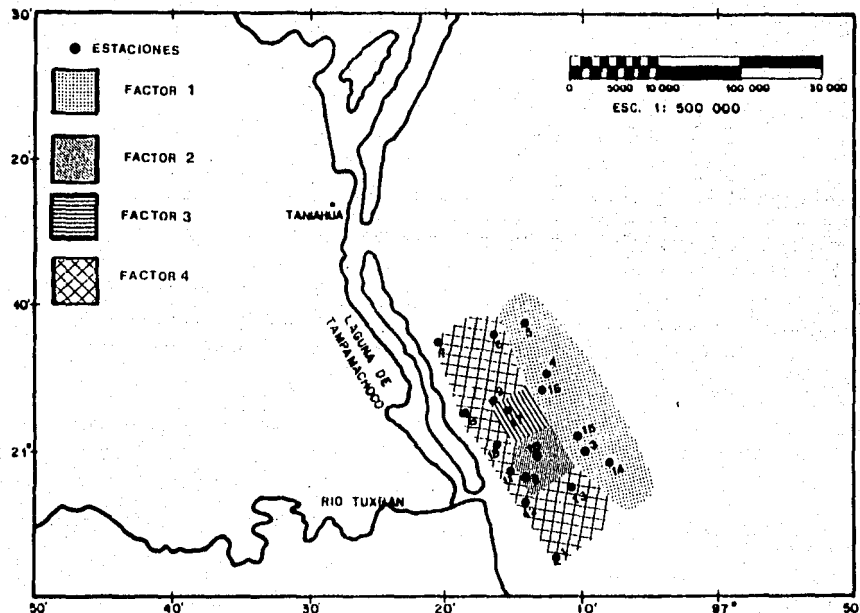
ESTACIONES	FACTOR	PESO DEL FACTOR
3		0.79732
4	I	0.62056
5		0.77394
14	ASOCIAZION	0.649757
15		0.61236
16	I	0.88351
2	II	0.90639
10	ASOCIAZION II	0.84416
17	III ASOCIAZION III	0.31778
1		0.50186
6		0.94145
7	IV	0.75572
8		0.75735
9	ASOCIAZION	0.79351
11		0.74747
12	4	0.65632
13		0.68964
18		0.66841

Ayala-Castañares y Segura (1981) observaron algo similar en la Laguna de Términos, Campeche en donde los miliolídos existen en mayores porcentajes en las porciones influenciadas por el mar; Hernández-Gómez (1984) en Laguna del Carmen, Tabasco; observa una tendencia mayor de este grupo, también hacia la zona de influencia marina. En cuanto a sustrato, Kurg (1961) señala que existe un incremento de miliolídos en fondos arenosos. La asociación 1 del Análisis de Cluster Modo "R" agrupó a la mayoría de las especies más abundantes de este factor (Fig.10, asociación 1). Las especies que aparecen agrupadas son: Amphistegina gibbosa, Asterigerina carinata, Bigenerina irregularis, Elphidium fimbriatum, E. lanieri, Eponides antillarum, E. respondus, Guttulina australis, Planulina ariminensis, Peneroplis proteus, Pyrga elongata, P. cf. P. nasutus, Quinqueloculina bicarinata, Q. bicostata, forma garrenti y típica, Q. candeiana, Q. compta, Q. polygona, Q. seminulum, Q. vulgaris, Spiroloculina soldanii, Textularia agglutinans, T. majori, Triloculina tricarinata y T. trigonula.

Esta asociación representa por lo tanto aguas de salinidades normales y sedimentos ricos en carbonato de calcio, poco influenciados por la descarga del río.

ASOCIACION NO. 2 (FACTOR 2)

La asociación número 2, incluyó a las estaciones 2 y 10 que se localizaron a profundidades de 19.8 a 24.2 m, con



MAPA 3. ASOCIACIONES OBTENIDAS MEDIANTE EL ANALISIS DE FACTORES MODO-"Q" EN FORAMINIFEROS.

temperaturas de 21.1 a 21.5 °C salinidades de 35.4 a 35.7 % respectivamente, con tipo de sustrato dominado por lodos con valores de 87.0 y 98.9 %. En dicha asociación se presentaron 43 especies. Las especies más características de esta asociación se incluyeron en la asociación 2 del Análisis de Cluster-Modo "R" (Fig.10, asociación 2) las especies más representativas en cuanto a abundancia, orden alfabético fueron: Ammonia parkinsoniana forma tépida, Amphicoryne scalaris, Brizalina lowmani, Bulimina marginata, Lenticulina cf. L. falcifer, Nonion grataeloupi, Quinquelaculina laevigata, Q-formas juveniles, Rectobolibina advena, Reusellia atlantica, Rosalina concinna, R. suezensis y Rotalia rolshauseni. Siendo predominantes en esta asociación las siguientes especies: Elphidium discoidale forma típica (5.5-13.6%), Hanzawaia concentrica (3.9-13.6%), Ammonia parkinsoniana forma tépida (6.7-10.4%), Rotalia rolshauseni (3.6-7.5%) y Nonion grataeloupi (6.5-6.9%), que a su vez fueron más abundantes en otras estaciones, excepto Rotalia rolshauseni. Phleger (1960) menciona que géneros como: Ammonia, Elphidium y Nonion suelen dominar en zonas de influencia fluvial y de constante cambio. Boltovskoy (1965) señala que en áreas de influencia fluvial los géneros como Ammonia y Elphidium soportan más las disminuciones de la salinidad que el grupo de miliáridos en general. Esta asociación se diferenció de las demás, por poseer un alto porcentaje (13.0-20.1%) de foraminíferos en mal estado de preservación, presentando

testas incompletas o muy dañadas, las cuales posiblemente fueron transportadas.

La presencia de especies tolerantes a bajas salinidades y de organismos que probablemente fueron transportados, hacen pensar que ésta asociación se encuentra ya en la zona de influencia fluvial.

ASOCIACION NO. 3 (FACTOR 3).

Unicamente representada por la estación 17, localizada a 24.5 m de profundidad, con un tipo de sustrato de arena-lodosa (30% de lodo y 70% de arena). La asociación se caracterizó por presentar una baja abundancia de especies, donde quizás el tipo de sustrato predominante no fue el apto para la proliferación y/o preservación de las especies, lo cual la diferenció de las demás asociaciones y la separó en el Análisis de Factores-Modo "Q". Las especies más representativas y abundantes para ésta asociación fueron: Quinqueloculina spp. (21.7%), Ammonia packinsoniana forma tépida (15.41%), Nonion grateloupi (7.2%). Presentándose también Quinqueloculina compacta (5.2%) y Hanzawaia concentrica (4.6%) que fueron más abundantes en otras asociaciones. Los organismos presentes aquí, estuvieron en su mayoría en todas las asociaciones, pero con mayor parecido a la asociación 2 por su contenido faunístico, ya que 20 especies de ésta estación son comunes con las estaciones 2 y 10, atribuyendo tal parecido, a la cercanía que existe entre ellas.

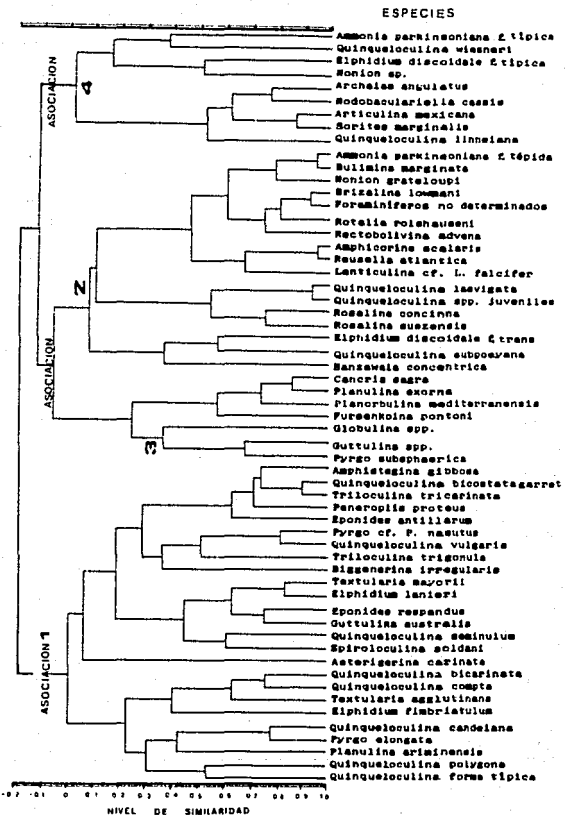


FIGURA 10. DENDROGRAMA NODO-“R” DEL ANALISIS DE CLUSTER EN EL GRUPO DE FORAMINIFEROS BENTONICOS. El eje horizontal representa los valores de similaridad entre las especies.

Tal vez ésta asociación sea una continuación de la asociación 2, pero que en base a la poca abundancia hayan sido separadas.

ASOCIACION NO. 4 (FACTOR 4).

Incluyó a la mayoría de las estaciones, 9 de 18 y fueron: 1,6,7,8,9,11,12,13 y 18, localizadas a profundidades de 15.1 a 23.8 m, con temperaturas de 20.0 a 27.1 °C y salinidades de 34.6 a 36.4%, caracterizándose la mayoría de las estaciones por tener un alto porcentaje de arenas (mayor a 57.4%) excepto la estación 11 y 18 donde predominaron los lodos (78.0% y 99.2%). Para su análisis las estaciones se dividieron en dos grupos de acuerdo a la cercanía que presentaron con referencia a la desembocadura del río. El primer grupo lo constituyen las estaciones más alejadas (1,6,7,9,12 y 13) con profundidades 12.8 a 23.8 m. Presentó 56 especies, las más abundantes en orden decreciente fueron: Nodobaculariella cassis (5.7-35.2%), Elphidium discoidale forma translúcida (0.9-15.47%), Sorites marginalis (3.8-14.9%), Hanzawaia concentrica (3.5-14.9%), otra de las especies más abundantes fueron: Ammonia parkinsoniana forma típica (2.9-13.9%) y Quinqueloculina candeiana (4.8-10.7%) las cuales fueron más abundantes en otras estaciones. La presencia de Nodobaculariella, Quinqueloculina y Sorites significa probablemente que el área está siendo afectada por el aporte de carbonato de calcio provenientes de los

arrecifes vecinos, sin embargo, la influencia del río se manifiesta por la presencia de organismos tales como: Ammonia parkinsoniana y Elphidium discoidale. El segundo grupo comprende a las estaciones 8, 11 y 18, las más cercanas a la boca del río, ubicadas a profundidades de 15.1 a 19.0 m. Con una diversidad de 55 especies, de las cuales las más abundantes fueron: Elphidium discoidale forma típica (19.6-27.7%), Nodobaculariella cassis (9.9-14.4%), Hanzawaia concentrica (8.5-12.3%), Ammonia parkinsoniana forma típica (1.9-9.5%), Peneroplis proteus (0.9-8.2%), Sorites marginalis (1.9-7.5%) y Quinqueloculina candeiana (4.6-6.5%). En ésta asociación se observa el incremento de Elphidium discoidale, en cuanto se aproxima a la boca del río. Esta especie aunque también se encuentra en las asociaciones 1, 2 y 3 presenta aquí sus porcentajes más altos. Bock (1971) menciona que éstos organismos se pueden encontrar en todos lados, pero no en porcentajes tan altos, como en áreas afectadas en cambios de salinidad. Al mismo tiempo se observó la disminución de especies como: Hanzawaia concentrica, Nodobaculariella cassis y Sorites marginalis las cuales predominaron en el grupo de las estaciones más alejadas y por Peneroplis proteus y Quinqueloculina candeiana que fueron más abundantes en la asociación 1. Las especies más representativas de ambos grupos quedaron incluidas en el Análisis de Cluster-Modo "R" (Fig. 10, asociación 4). Organismos como Ammonia parkinsoniana, Hanzawaia concentrica y Nodobaculariella

cassis han sido reportadas por Diego-Casimiro (1983) como especies que aparecen juntas en la linea de costa correspondiente al Área de Tuxpan, además de observar una mayor abundancia de los géneros Ammonia y Elphidium para profundidades de 12 metros. Por otro lado Cruz-Herrera (comunicación personal) reporta para el Área de la desembocadura del Río Coatzacoalcos la abundancia de especies como: Ammonia parkinsoniana, Elphidium discoidale, Hanzawaia concentrica y Nodobaculariella cassis, coincidiendo con los resultados obtenidos para ésta área. Solo 3 de las 58 especies se ausentaron en ésta asociación y son: Amphistegina gibbosa, Asterigerina carinata y Quinqueloculina bicarinata. Los géneros Amphistegina y Asterigerina han sido reportados como organismos poco tolerantes a la turbidez, ocurriendo generalmente en aguas claras (Bandy, 1956). Por lo cual la ausencia de las especies anteriormente citadas, se puede explicar en base a que tales organismos no tengan la suficiente capacidad de adaptarse a condiciones tan inestables como las que se dan en un ambiente deltaico. La abundancia de especies tolerantes a bajas salinidades en ésta asociación reflejan la mayor influencia del río, lo cual se puede comprobar por la disminución de las especies netamente marinas.

Las cuatro asociaciones que conformaron al Área de estudio fueron delimitadas en cuanto a la abundancia de ciertas especies que predominaron para cada una de ellas, observándose que la asociación de características más

estables, por ser la más lejana a la desembocadura del río presentó especies típicas de salinidades normales con poca abundancia de especies que toleran cambios en salinidad, lo cual significa que probablemente se encuentre fuera del abanico aluvial. La asociación intermedia presenta en su mayoría, especies tolerantes a baja salinidad, observándose una disminución de las especies de condiciones netamente marinas, lo cual también se manifiesta en la asociación 3, cuya baja abundancia la separó de las otras, pero que en base al parecido faunístico con la asociación 2, podría considerársele como una continuación de dicha asociación y por último una asociación con mayor influencia fluvial donde los organismos tolerantes a baja salinidad se incrementan con respecto a las asociaciones anteriores y disminuye el número de individuos de ambientes más estables.

La abundancia de especies tolerantes a bajas salinidades hace suponer que tanto la asociación 2, como la 3 y 4 se encuentran bajo la influencia del río, mientras que la 1 posiblemente ya no lo este. Tanto en ostrácodos como en foraminíferos bentónicos se delimitaron cuatro asociaciones faunísticas, coincidiendo geográficamente (en términos generales) en el Área de estudio.

Una asociación de ambiente más estable donde se presenta mayor abundancia de organismos característicos de salinidades marinas y ambientes de plataforma interna-media,

poco influenciado por la descarga del río y probablemente fuera del abanico aluvial. Una asociación de ostrácodos y foraminíferos bentónicos intermedia caracterizada por la presencia de un mayor número de organismos con afinidades a bajas salinidades y la ocurrencia de individuos típicos de áreas arrecifales, lo cual significa que ésta asociación está sujeta a los aportes de los arrecifes cercanos al área de estudio y que por otro lado se encuentra influenciada por el aporte del río; una asociación que tanto en ostrácodos como en foraminíferos fue separada por su poca abundancia (Estación 17) presentando organismos tolerantes a bajas salinidades, muy parecida a la asociación 2, por lo cual podría considerarse como continuación de ésta y por último una asociación más cercana a la boca del río, la cual reflejó un mayor incremento de especies tolerantes a bajas salinidades y disminución de especies que tuvieron su mayor abundancia en la asociación de condiciones más estables, apoyando la idea, de que ésta área está siendo mayormente influenciada por la descarga del río.

En éste estudio, se delimitó en términos generales, hasta qué distancia influyó la descarga del río en la composición faunística de éstas muestras teniendo un alcance aproximado de 10 km, tomando como referencia la barra del Río Tuxpan entre las isobatas de los 20 y 30 metros.

CONCLUSIONES

Los grupos de organismos fueron analizados independientemente, observándose lo siguiente:

i. Con base en las poblaciones de ostrácodos pudieron establecerse 4 asociaciones faunísticas:

1.1 Asociación 1: Con fauna marina, sin influencia aparente de la descarga fluvial en la población de ostrácodos, donde dominaron especies netamente marinas como: Echinocythereis margaritifera y Macrocyprina skinneri, las cuales se encuentran probablemente fuera del delta o en los márgenes de éste.

1.2 Asociación 2: Intermedia, con la dominancia de especies arrecifales como: Loxocorniculum tricornatum, L. cf. L. Pastorosaalata, Bairdia, etc. La presencia de estos organismos no significa necesariamente que habiten ésta área, sino que probablemente ha sido influenciada por el aporte de sedimentos carbonatados provenientes de los arrecifes vecinos; observándose a su vez un ligero aumento de especies tolerantes a bajas salinidades (15%), lo cual significa que se encuentra ya sujeta a la influencia del río.

1.3 Asociación 3: Pobremente representada por especies como: Proteoconcha protensa, Pellucistoma magniventre y Neomonoceratina sp. Esta asociación se separó de las demás por su baja abundancia de organismos, teniendo un mayor parecido con la asociación 2, donde probablemente la asociación 3 sea continuación de la 2.

1.4 Asociación 4: La más cercana a la boca del río, presentó especies como: Pontocythere sulcata, Orionina bradyi, Malzella floridana y Cytheromorpha paracastanea. El 27% de las especies presentes aquí, se constituyó por organismos que toleran bajas salinidades, mientras que el 73% fueron especies que prefieren ambientes más estables, lo cual hace notar que existe una mayor influencia de la descarga del río con respecto a las otras asociaciones.

1.5 La poca abundancia de ostrácodos en las muestras se debió principalmente al alto contenido de arenas, quizás por la poca oportunidad de preservación en este tipo de sedimento.

2. Con base en las poblaciones de foraminíferos bentónicos también pudieron establecerse 4 asociaciones faunísticas:

2.1 Asociación 1: Una fauna marina, que probablemente se encuentra ya fuera del Abanico, caracterizada por especies de miliolínidos, donde las especies más abundantes fueron: Peneroplis proteus, Quinqueloculina compta, Q. candeliana y

Nodobaculariella cassis; observándose que éstos se distribuyeron principalmente en zonas más estables, donde la influencia marina es mayor.

2.2 Asociación 2: Intermedia, con la presencia de organismos de Elphidium discoidale forma típica, Ammonia parkinsoniana forma tépida, Rotalia roshauseni y Nonion grataeoupi. La presencia de estas especies tolerantes a bajas salinidades, hacen pensar que dicha asociación se encuentra ya en la zona de influencia fluvial.

2.3 Asociación 3: Representada por la estación 17, con poca abundancia de especies, donde unas de las más abundantes fueron: Quingueloculina spp., Ammonia parkinsoniana, forma tépida y Nonion grataeoupi entre otras. Teniendo mayor parecido con la asociación 2, donde tal vez ésta sea una continuación de la 2 y que debido a la poca abundancia hayan sido separadas.

2.4 Asociación 4: La más cercana a la boca del río, dividida en 2 grupos; el primero lo constituyeron las estaciones más alejadas, presentando en mayor abundancia a Nodobaculariella cassis, Elphidium discoidale forma translúcida, Sorites marginalis y Hanawaiia concentrica entre otras.

La presencia de Nodobaculariella y Sorites significa probablemente que el área está siendo afectada por el aporte de carbonato de calcio provenientes de los arrecifes vecinos. Sin embargo se manifiesta la influencia fluvial

por la presencia de Ammonia y Elphidium. El segundo grupo incluyó las más cercanas del río, mostrando un mayor incremento de Elphidium discoidale forma típica. Es aquí, donde los organismos tolerantes a bajas salinidades se incrementaron con respecto a las asociaciones anteriores y disminuyó el número de individuos de ambientes más estables.

3. En ambos grupos (ostrácodos y foraminíferos) se delimitaron 4 asociaciones faunísticas:

3.1 Una asociación de ambiente más estable representada por organismos característicos de salinidades marinas, poco influenciado por la descarga del río y probablemente fuera del abanico aluvial. Una asociación intermedia con organismos tolerantes a bajas salinidades y por otro lado la presencia de individuos típicos de áreas arrecifales, y por último una asociación mayormente influenciada por el aporte fluvial, reflejado por el incremento de especies tolerantes a bajas salinidades con respecto a las asociaciones anteriores.

4. No existieron grandes diferencias, entre ambas poblaciones (ostrácodos-foraminíferos) debido a que las condiciones ambientales fueron muy parecidas entre las asociaciones, por tratarse de un mismo ambiente, en este caso deltaico, por lo cual la mayoría de las especies ocurrieron en todas las estaciones.

5. La descarga del río Tuxpan para las estaciones estudiadas presentó un alcance aproximado de 10-km, entre las isobatas de 20 y 30 m.
6. La conformación de las asociaciones se debieron principalmente a la salinidad y al tipo de sedimento, provocando el que ciertas especies estuvieran mejor representadas que otras.
7. Con base a los resultados obtenidos se recomienda realizar un mayor número de muestrados con patrones más definidos, lo cual permita obtener un mejor registro de la fauna bentónica, en este tipo de ambiente tan variable, como lo es el sistema deltaico.

APENDICE I

POSICIÓN TAXONÓMICA

Posición taxonómica para el grupo de OSTRACODOS, conforme los lineamientos de Moore et al. (1961), indicando la referencia original y sinónimos (cambios de nombre que ha sufrido la especie).

REINO: ANIMALIA

PHYLUM: ARTHROPODA Gmelin, 1789.

SUPERPHYLUM: MANDIBULATA Clavigrille, 1793.

CLASE: CRUSTACEA Pennat, 1777.

SUBCLASE: OSTRACODA Latreille, 1806.

ORDEN: PODOCOPIDA Müller, 1894.

SUBORDEN: PODOCOPINA Sars, 1866.

SUPERFAMILIA: BAIRDIIDAE Sars, 1908.

FAMILIA: BAIRDIIDAE Sars, 1908.

GENERO: Bairdia McCoy, 1844.

Bairdia sep.

MATERIAL: 30 valvas.

OCCURRENCIA: Estaciones 4,9,12,14,15,16 y 17.

FAMILIA: MACROCYPRIDIIDAE Müller, 1912.

GENERO: Macrocyprina Triebel, 1960.

Macrocyprina skinneri Kontrovitz, 1976.

Macrocyprina skinneri Kontrovitz, 1976, p.50, pl.1, fig.2,3.
MATERIAL: 173 valvas.

OCCURRENCIA: Estaciones 4,5,12,14,15,16 y 17.

DISTRIBUCION: Se ha reportado en el Holoceno en el Río de Shrewsbury, New Jersey y plataforma continental de Louisiana, Veracruz y Tabasco.

SUPERFAMILIA: CYPRIDIACEA Baird, 1845.

FAMILIA: PARACYPRIDIIDAE Sars, 1920.

GENERO: Proponentocypris Sylvester-Bradley, 1947.

Proponentocypris sp.A

MATERIAL: 41 valvas.

OCCURRENCIA: Estación 17.

GENERO: Triangulocypris Teeter, 1975.

Conchoecetes sp.

MATERIAL: 9 valvas.

OCCURRENCIA: Estaciones 5,9, y 10.

FAMILIA: PONTICYPRIDAE G.W. Müller, 1894.

GENERO: Pontocypris Sars, 1866.

Pontocypris sp. A.

MATERIAL: 3 valvas.

OCCURRENCIA: Estaciones 4 y 14.

SUPERFAMILIA: CYTHERACEA Baird, 1850.

FAMILIA: BRACHYTHERIDAE Puris. 1954.

GENERO: Pseudocytherella Blake, 1933.

Pseudocytherella alispina Hazel, 1933.

Pseudocytherella canaria americana (Ulrich y Bassler) Puris. 1954, p.251 (part), pl.15, figs.2,4.

Pseudocytherella alispina Hazel, 1933, p.104, pl.7, figs.2,4.

MATERIAL: 30 valvas.

OCCURRENCIA: Estaciones 4,5,9,10,14,15,16 y 17.

DISTRIBUCION: Reciente de Virginia a Florida y sureste del Golfo de México.

FAMILIA: BYTHOCYPRIDAE Sars, 1926.

GENERO: Orthocerasella Hornbrook, 1952.

O. longistriata sp. A.

MATERIAL: 3 valvas.

OCCURRENCIA: Estación 14.

GENERO: Pseudocythere Sars, 1866.

Pseudocythere ? sp. A.

MATERIAL: 24 valvas.

OCCURRENCIA: Estaciones 4,9,11,13,14,16, y 17.

GENERO: Pseudosiamocythere sp..

MATERIAL: 2 valvas.

OCCURRENCIA: Estación 9.

FAMILIA: CYTHERIDAE Friesen, 1952.
GENERO: Cytheretina G. W. Muller, 1894.

Cytheretina louisianensis (Montrovitz), 1970.

Protocytheretta montezuma (Brady) louisianensis Montrovitz, 1970, p.62, pl.7, figs. 5,6.

Cytheretina louisianensis (Montrovitz), Garbett & Maedocks, 1979, p. 908, pl.14, figs. 5,6; text-fig.45.

MATERIAL: 4 valvas.

OCCURRENCIA: Estaciones 8,13 y 16.

DISTRIBUCION: Holoceno en las Bahias de Texas y Louisiana, plataforma continental de Louisiana, Veracruz, Tabasco y Cuaternario Tercero al sur de Texas.

Procytheretta punicea Brady, 1866.

Cythere punicea Brady, 1866, p.379, pl.vii, figs. 3,4.

Cythere daniana (Brady), 1867, p.120, pl.1d, figs.1,2.

Paracytheretta daniana (sic) (Brady), Puris, 1962, p.210, pl.40, figs.10,11; text-fig.11.

Cythereta daniana (sic) (Brady), Puris y Hullings, 1957, p.174, 187, fig.11.

Protocytherella punicea (Brady), Montrovitz, 1970, p.154, pl.5, fig.1.

MATERIAL: 8 valvas.

OCCURRENCIA: Estaciones 5,8 y 10.

DISTRIBUCION: Previamente reportada de sedimentos Recientes del Golfo de México y Pleistoceno al sur de Florida.

Procytheretta sp.

MATERIAL: 1 valva.

OCCURRENCIA: Estación 17.

FAMILIA: CYTHERIDEIDAE Sars, 1925.

SUBFAMILIA: CYTHERIDEIDINAE Sars, 1925.

GENERO: Cyclopidea Jones, 1957.

Cyclopidea sp.

MATERIAL: 1 valva.

OCCURRENCIA: Estación 8.

GENERO: Pectocytheridea

Pectocytheridea sp.

MATERIAL: 18 valvas.

OCCURENCIA: Estaciones 4,8,9,11,13,14 y 15.

FAMILIA: CHTHERIDAE Balch, 1956.

SUBFAMILIA: SERISSODONTHERIDEINAE Goldring

GENERO: Pectinocyathidea Steenerson, 1958.

Pectinocyathidea cf. P. rugata Swain, 1956

Pectinocyathidea rugata Swain, 1956, p.19, no.4, p.22.
MATERIAL: 15 valves.

MATERIAL: 1 valva.

OCCURRENCIA: Estación 17.

DISTRIBUCION: P. rugata ha sido descrita en el Pacífico de la costa de Texas, Laguna de Términos, Campeche y Laguna de Mandinga, Veracruz.

Pectinocyathidea sp.

MATERIAL: 15 valvas.

OCCURRENCIA: Estaciones 8,9,11 y 17.

SUBFAMILIA: EUCYTHERINAE Puri, 1954.

GENERO: Eucythere Brady, 1868.

Eucythere sp. aff. E-triangularis Puri, 1954

Eucythere sp. aff. E-triangularis Puri, Howe y Bold, 1978,
p.12, fig.5.

MATERIAL: 1 valva.

OCCURRENCIA: Estación 4.

DISTRIBUCION: Previamente reportada en la boca del Río Mississippi.

SUBFAMILIA: NEOCYTHERIDEINAE Puri, 1957.

GENERO: Neocythereidea Puri, 1952.

Neocythereidea cf. N. cylindrica Brady, 1868

Cythereidea cylindrica Brady, 1868, p.113, pl.13,
figs.11,12.

Neocythereidea cf. N. cylindrica (Brady, 1868). Montrovitz,
1978, p.61, pl.3, fig.6.

MATERIAL: 26 valvas.

OCCURRENCIA: Estaciones 4,8,9,11,13 y 17.

DISTRIBUCION: Reportada en la plataforma continental de Louisiana, Texas.

GENERO: Cushmanidea Blake, 1933.

Cushmanidea sagena Benson y Maesler, 1963.

Cushmanidea sagena Benson y Maesler, 1963, p.21, figs.
10a-c, pl.3, figs.1,2.

MATERIAL: 15 valvas.

OCCURRENCIA: Estaciones 4,5 y 9.

DISTRIBUCION: Recientemente reportada en el Istmo de Tuxtla, Chiapas, Bahia de Cortina y Golfo de Acapulco.

Cushmanidea seminuda Cushman, 1926.

Cytherideis seminuda Cushman, 1926, p.274, pl.27, figs. 62-64, pl.34, figs.7c,77.

Cushmanidea seminuda (Cushman) Blake, 1933, p. 237.

MATERIAL: 53 valvas.

OCCURRENCIA: Estaciones 4,5,6,9,11,12,14,15,16 y 17.

DISTRIBUCION: Reportada en el Peciente de Texas y Florida, formaciones de Yorktown, Marfolt desde el Plioceno al Holoceno.

Cushmanidea sp.

MATERIAL: 11 valvas.

OCCURRENCIA: Estaciones 9,11 y 17.

GENERO: Hulinopsis Puri, 1950.

Hulinopsis cf. H. semicircularis Ulrich y Bassler.

Cytherideis semicircularis Ulrich y Bassler, 1904, p.127, pl.37, figs.18-20.

MATERIAL: 61 valvas.

OCCURRENCIA: Estaciones 4,5,6,9,11,12,14,15 y 17.

DISTRIBUCION: H. semicircularis ha sido previamente reportada al norte del Golfo de México.

GENERO: Pontocythere Maddocks y Garbett, 1959.

Pontocythere anisata (Puri), 1950.

Hemicytheridea sp. Swain, 1960, p. 652, text-fig. 32b.

Hulinopsis anisata Puri, 1950, p.110, figs.42-44; pl.2, figs.5,7.

Pontocythere anisata (Puri), Maddocks y Garbett, 1959, p.204, pl.12, figs.5-8; text-figs.13.

MATERIAL: 348 valvas.

OCCURRENCIA: Estaciones 4,5,6,9,11,12,14,15,16 y 17.

DISTRIBUCION: Holoceno de Texas y Florida, Cuaternario Tardío al sur de Texas.

Pontocythere tuberculata Puri, 1950.

Hulinopsis tuberculata Puri, 1950, p. 173, pl.2, figs. 5-8.

Cushmanidea tuberculata (Puri) Hall, 1963, p. 39, pl.13, figs.4-10.

Hulinopsis tuberculata (Puri). Kontrovitz, 1976, p.62, pl.2, fig.2.

MATERIAL: 20 valvas.

OCCURRENCIA: Estaciones 5,6,13,15 y 16.

DISTRIBUCIÓN: Reportada en la boca del Río Mississippi y
plataforma continental de Louisiana, Texas.

Pontocythere sp. A

MATERIAL: 2 valvas.

OCCURRENCIA: Estación 8.

GENERO: Rumiliocytherea van den Bold, 1963.

Rumiliocytherea avalaei Morales, 1966.

Rumiliocythereidae avalaei Morales, 1966, p. 42, pl.4,
figs. 7-9.

MATERIAL: 34 valvas.

OCCURRENCIA: Estaciones 4,8,9,11,13,14,16 y 17.

DISTRIBUCIÓN: Descrita en la Laguna de Términos, Campeche.

FAMILIA: CYTHERURIDAE G. W. Miller, 1934.

GENERO: Cytherura Sars, 1866.

Cytherura elongata Edwards, 1944.

Cytherura elongata Edwards, 1944, p.526, pl.28, figs. 21-25.

MATERIAL: 2 valvas.

OCCURRENCIA: Estaciones 8 y 9.

DISTRIBUCIÓN: Reportada en el Holoceno de México a Florida.

Cytherura sandbergi Morales, 1966.

Cytherura johnsoni Swain, 1975, p.627, pl. 6d, figs. 8a-c
text-figs. 35b-38; 8a,b, 39a-c.

Cytherura sandbergi Morales, 1966, p.50, pl.4, figs. 6a-d.

MATERIAL: 9 valvas.

OCCURRENCIA: Estaciones 4,8,11 y 13.

DISTRIBUCIÓN: Reportada en la plataforma continental de
Louisiana, Laguna de Mandinga, Arrecifes de Antón Lizardo,
Veracruz, Laguna de Términos, Campeche, Golfo de Panamá y
Golfo de California.

Cytherura cf. C. maya Teeter, 1975.

Cytherura cf. C. maya Teeter, 1975, p.466, figs. 17 d-f, 10c.
MATERIAL: 17 valvas.

OCCURRENCIA: Estaciones 4,8,9,11,13,14,16 y 17.

DISTRIBUCIÓN: Reportadas en Llagunas de Belice y Arrecifes de
Antón Lizardo, Veracruz.

Cytherura cf. C. sandbergi

MATERIAL: 10 valvas.

OCCURRENCIA: Estaciones 4,8,14 y 16.

Cytherura sp. C. Valentini Garbett y Maddocks, 1974.

cr. Cytherura valentini Garbett y Maddocks, 1974, pl.1, figs. 1-5; text-fig. 7, p.690.

MATERIAL: 2 valvas.

OCCURRENCIA: Estaciones 8,9,11 y 17.

DISTRIBUCION: Reportada en las costas de Texas y al sureste del Golfo de México.

Cytherura sp. A.

MATERIAL: 3 valvas.

OCCURRENCIA: Estaciones 9 y 13.

Cytherura sp. B. Kontrovitz, 1978.

Cytherura sp. B. Kontrovitz, 1978, p.141, pl.2, fig.3.

MATERIAL: 6 valvas.

OCCURRENCIA: Estaciones 4,8,9,12,13,14,15,16 y 17.

DISTRIBUCION: Plataforma continental de Louisiana, Pleistoceno del sur de Florida y Holoceno del Río Shrewsbury, New Jersey.

Cytherura sp. C.

MATERIAL: 11 valvas.

OCCURRENCIA: Estaciones 4,5,9,13,14 y 15.

Cytherura sp. D

MATERIAL: 7 valvas.

OCCURRENCIA: Estaciones 8,11 y 17.

Cytherura juveniles.

MATERIAL: 15 valvas.

OCCURRENCIA: Estaciones 8,9,11,13,14 y 17.

SUPERFAMILIA: CYTHERACEA.

FAMILIA: CYTHERURIDAE G.W. MULLER, 1894.

GENERO: Cytheroteras SAPS, 1866.

Cytheroteras morganii Kontrovitz, 1976.

Cytheroteras aff. C. latum, Muller, Curtis, 1960, p.676, pl.1, fig.13.

Cytheroteras morganii Kontrovitz, 1976, p.65, 66, pl.3, figs. 10-11.

MATERIAL: 1 valva.

OCCURRENCIA: Estación 4.

DISTRIBUCION: Reportada en la plataforma continental de Louisiana y Río Mississippi.

Cytheropteron yorktownensis (Malkin), 1953.

Eocytheropteron sp. Swain, 1951, p.47, pl.7, figs.1-6.

Cytheropteron leonensis Puri, 1954, p.242, pl.4, figs.11-12, text-figs. 4c, d.

Cytheropteron yorktownensis Malkin, 1953, 6-26, p.47, pl.15, figs. 1-4, 9, 10.

MATERIAL: 27 valvas.

OCURRENCIA: Estaciones 4,5,8,9,11,13,14 y 15.

DISTRIBUCION: Previamente reportada del Mioceno al Pleistoceno Temprano de Virginia, Reciente de la República Dominicana y sureste del Golfo de México.

SUBFAMILIA: CYTHERURINAE Muller, 1894

GENERO: Hemicytherura Elofson, 1941

Hemicytherura cranekeyensis Puri, 1960.

Cytherura clathrata Sars. Bold, 1946, p.118, pl.14, fig. 9,10.

Hemicytherura zidens (Muller). Bold, 1957, p.245.

Kaungaria sp.1 Puri y Hullings, 1957, p.133-138 Fig.11.

Hemicytherura cranekeyensis Puri, 1960, p.115, pl.4 fig.4.

MATERIAL: 4 valvas.

OCURRENCIA: Estación 17.

DISTRIBUCION: Reportada al Mioceno medio al Reciente en el Caribe, Reciente del sureste del Golfo de México, costas del Pacífico de América del norte y República Dominicana.

Hemicytherura sablensis (Benson y Coleman), 1963.

Cytherura sablensis (Benson y Coleman), Teeter, 1975, p.468, figs.16e,17h.

MATERIAL: 10 valvas.

OCURRENCIA : Estaciones 4,8,9 y 16.

DISTRIBUCION: Reportada en la Bahía de Florida, plataforma carbonatada de Belice, este y sureste del Golfo de México y Arrecifes de Anton Lizardo, Veracruz.

GENERO: Radimella Pokorný, 1969.

Radimella confregosa (Edwards, 1944)

Hemicytherura confregosa Edwards, 1944, p. 518, pl.86, figs. 23-26.

Mutilus confregosus (Edwards). Bold, 1948, tables 4-10 (part).

Radimella confregosa (Edwards). Bold, 1975, p.697, pl.1, figs. 1-4, 16,17; text figs. 3a,b.

MATERIAL: 4 valvas.

OCURRENCIA: Estaciones 8,9 y 14.

DISTRIBUCION: Reportada en el Pleistoceno del sur de Florida, norte y sur de Carolina, Plioceno y Pleistoceno Temprano de Virginia, Miocene Tardío al Reciente en las Grandes Antillas y Plioceno de Veracruz.

GENERO: Paracytheridea G.W. Müller, 1894.

Paracytheridea vandenboldi Puris, 1953.

Cytherepteron nodosum Ulrich y Bassler, 1904, p.129, pl.38, figs.37-40.

Paracytheridea nodosa (Ulrich y Bassler) Howe et. al., 1935, p.37, pl.3, fig.7.

Paracytheridea vandenboldi Puris, 1953, p.751.

MATERIAL: 35 valvas.

OCURRENCIA: Estaciones 4,5,8,9,11,13,14,16 y 17.

DISTRIBUCION: Descrita en el Miocene de la Formación Yorktown de Maryland, Reciente de Florida, Louisiana y Laguna de Términos, Campeche.

Paracytheridea tschoppae Bold, 1946.

Paracytheridea tschoppae Bold, 1946, p.85, pl.16, figs.6,7.

Paracytheridea vanweesemi Bold, 1946, p.86, pl.16, fig.13.

MATERIAL: 9 valvas.

OCURRENCIA: Estaciones 8,9,11,13,14 y 16.

DISTRIBUCION: Reportada al este del Golfo de México, sur de Florida, norte de la República Dominicana, Terciario y Cretácico del Caribe.

FAMILIA: HEMICYTHERIDAE Puris, 1953.

GENERO: Aurila Pokorný, 1955.

Aurila amygdala (Stephenson, 1944)

Hemicythere amygdala Stephenson, 1944, p.156, pl.29, fig.8,9.

Aurila amygdala (Stephenson), Benson y Coleman, 1963, p.36, pl.8, figs.8,8', figs. 22a,b.

MATERIAL: 41 valvas.

OCURRENCIA: Estaciones 4,5,8,9,11,13,15,16 y 17.

DISTRIBUCION: Describas del Oligoceno-Mioceno del Caribe, Reciente de Florida y Laguna de Términos, Campeche.

GENERO: Malpella Hazel, 1963.

Malpella cf. M.floridana (Benson y Coleman, 1963)

cf.Aurila conradi (Howe y McGuirt) floridana Benson y Coleman, 1963, p.35,36, pl.8, figs.10,12, text fig. 21.

MATERIAL: 133 valvas.

OCURRENCIA: Estaciones 4,5,8,9,11,13,14,15 y 16.

DISTRIBUCION: *M. floridana* se ha reportado en el Reciente de las costas de Florida, Louisiana, Laguna de Términos, Camp. y Pleistoceno y Plioceno al norte y sur de California.

SUFBAMILIA: ORIONININAE Puri, 1973.

GENERO: *Caudites* Correll y Fields, 1937.

Caudites highi Teeter, 1975.

Caudites highi Teeter, 1975, p.445, figs.10g, 11d y f.

MATERIAL: 3 valvas.

OCCURRENCIA: Estación 17.

DISTRIBUCION: Reportados en la plataforma continental carbonatada de Belice y Arrecifes de Anton-Lizardo, Veracruz, México.

GENERO: *Nescaudites* Puri,

Nescaudites sp.

MATERIAL: 1 valva.

OCCURRENCIA: Estación 9.

SUFBAMILIA: CAMPYLOCYtheriniae Puri, 1960.

GENERO: *Proteoconcha* Plusquellec y Sandberg, 1969.

Proteoconcha proteus Plusquellec y Sandberg, 1969.

Acuticythereis multipunctata Edwards. Puri, 1960, p.129, text-figs.14,15.

Campylocythere laevissima (Edwards). Benson y Coleman, 1963, p.24, pl.4, figs.6, 8, 9, Text-figs.11.

C. concinnoidea Swain. Hullings y Puri, 1964, text-figs. 12,17.

Proteoconcha proteus Plusquellec y Sandberg, 1969, p.450, pl.1-10, text-figs.1-21.

MATERIAL: 43 valvas.

OCCURRENCIA: Estaciones 4,11,13,14,16 y 17.

DISTRIBUCION: De Texas a Florida en el Golfo de México y Plioceno al Holoceno en costas del Atlántico.

Proteoconcha sp.

MATERIAL: 6 valvas.

OCCURRENCIA: Estaciones 4 y 15.

FAMILIA: LEGUMINOCY THEREIDIDAE Howe, 1961.

GENERO: *Basslerites* Howe, 1937.

Basslerites minutus Bold, 1958.

Basslerites teres (Brady). Key. 1950, p.224, pl.5.
figs.2a,b.

Basslerites berchonii (Brady). Bold. 1957, p.244.

Basslerites minutus van den Bold, 1958, p.405, pl.5, fig.8,
pl.5, figs.5a-c.

MATERIAL: 1 valva.

OCURRENCIA: Estación 9.

DISTRIBUCION: Descrita en el Golfo de Paria, Miocene
Temprano de Trinidad, costas de Louisiana, Laguna de
Términos y Delta del Río Mississippi.

FAMILIA: LEPTOCYtheridae Hanai, 1957.

GENERO: Tanella Kingma, 1948.

Tanella gracilis Kingma, 1948.

Tanella gracilis Kingma, 1948, p.38, pl.10, fig.7.

MATERIAL: 5 valvas.

OCURRENCIA: Estaciones 4,9 y 11.

DISTRIBUCION: Reportada al norte de Sumatra, Pleistoceno al
Reciente de la Región Indopacífica, costas de Puerto Rico y
Laguna de Términos, Campeche.

GENERO: Keilia Teeter, 1975.

Keilia demissa (Brady), 1868.

Keilia demissa Brady, 1868, p.54.

MATERIAL: 3 valvas.

OCURRENCIA: Estaciones 5,9 y 11.

FAMILIA: LIMNOCYTHERIDAE Eliot, 1938.

GENERO: Limnocythere Brady, 1868.

Limnocythere floridensis Keyser, 1975.

Limnocythere sanctipatricci Brady y Robertson-Swain, 1955,
p.613, pl.60, figs.1a-f, 2a-c, text-figs. 32a.

Limnocythere floridensis Keyser, 1975, p.259, text-figs.3,
pl.20, figs.5-11.

MATERIAL: 2 valvas.

OCURRENCIA: Estación 17.

DISTRIBUCION: Reportada en Texas y Florida, Holoceno del
Golfo de California y Cuaternario Tardío al sur de la costa
de Texas.

Limnocythere sp.

MATERIAL: 1 valva.

OCCURRENCIA: Estación 13.

DISTRIBUCIÓN: Reportada del Pleistoceno al sur de Florida y suroeste de Florida.

FAMILIA: LOXOCONCHIDAE Sars, 1925.

GENERO: Loxoconcha Sars, 1866.

Loxoconcha matagordensis Swain, 1955.

Loxoconcha matagordensis Swain, 1955, p.629, pl.63, figs.7a,b.

MATERIAL: 2 valvas.

OCCURRENCIA: Estación 15.

DISTRIBUCIÓN: Describas en el Reciente de la Bahía de San Antonio Texas, costas de Louisiana, Florida, Laguna de Términos, Campeche, costas del Atlántico al norte de Carolina, Virginia, New Jersey, Plioceno y Pleistoceno al norte y sur de Carolina.

Loxoconcha Moralesi Kontrovitz, 1976.

Loxoconcha australis Brady. Curtis, 1960, p.478, pl.2, fig.12, 15. Loxoconcha subrhomboides Brady. Curtis, p.160, p.178, pl.2, fig.12; pl.3, fig.5.

Loxoconcha sp. aff. L. marginata Benson y Coleman. Morales, 1966, p.71, 73, pl.6, figs.

Loxoconcha Moralesi Kontrovitz, 1976, p.72, pt.5, figs.3,4.

MATERIAL: 1 valva.

OCCURRENCIA: Estación 16.

DISTRIBUCIÓN: Reciente de la plataforma continental de Louisiana, Laguna de Términos, Campeche y Cuaternario Tardío del sur de Texas.

Loxoconcha cf. L. reticularis Edwards, 1944.

Loxoconcha reticularis Edwards, 1944, p.527, pl.88, figs.26-27.

MATERIAL: 42 valvas.

OCCURRENCIA: Estaciones 4,5,8,9,11,13,14,15,16 y 17.

DISTRIBUCIÓN: L. reticularis ha sido reportada en la región sureste del Atlántico.

Loxoconcha sp. A

MATERIAL: 5 valvas.

OCCURRENCIA: Estaciones 4,14,15 y 17.

GENERO: Leucocorniculum, Benson y Coleman, 1963.

Leucocorniculum tricornatum Krutak, 1971.

Leucocorniculum tricornatum Krutak, 1971, p.10, pl.3,
figs.1a-c.

MATERIAL: 55 valvas.

OCURRENCIA: Estaciones 4,9,11,13,14,16 y 17.

DISTRIBUCION: Se ha reportado en los Arrecifes de Antón
Lizardo, Laguna de Mandinga, Ver., Isla Mujeres y Cozumel,
Q. Roo, México.

Leucocorniculum cf. L.postdorsopalata (Teeter), 1975.

Leucocercha postdorsopalata Teeter, 1975, p.491, figs.2ig-i.

MATERIAL: 71 valvas.

OCURRENCIA: Estaciones 4,8,9,11,13 y 17.

DISTRIBUCION: Se ha registrado principalmente en la
plataforma carbonatada de Belice, Bahía de Chetumal y
Arrecifes de Antón Lizardo, Veracruz.

GENERO: Cytheromorpha Hirschmann, 1909.

Cytheromorpha paracastanea (Swain), 1955.

Leptocythere paracastanea Swain, 1955, p.640, pl.62, figs.7,
pl.63, figs.1a-c, text-figs.33-34b.

MATERIAL: 50 valvas.

OCURRENCIA: Estaciones 4,5,8,9,11,13,14,15,16 y 17.

DISTRIBUCION: Descrita en el Holoceno de la Bahía de San
Antonio, costas de Louisiana, Delta del Río Mississippi,
Laguna de Términos, Campeche, Cuaternario Tardío al sur de
Texas y Pleistoceno al sur de Florida.

FAMILIA: PARADOKSTOMATIDAE Brady y Norman, 1899.

SUBFAMILIA: PARADOKSTOMATINAE Brady y Norman,

1899.

GENERO: Paradokstoma Fischer, 1859.

Paradokstoma ensiforme Brady, 1868.

Paradokstoma ensiforme Brady, 1868, p.460, pl.35,
figs.8-11.

MATERIAL: 7 valvas.

OCURRENCIA: Estaciones 4,5,8,9,15 y 16.

DISTRIBUCION: Reportada en la plataforma continental de
Louisiana, este de las costas de Florida y este del Delta
del Río Mississippi.

GENERO: Sclerachilus Sars, 1866.

Sclerachilus sp.A

MATERIAL: 3 valvas.

OCCURRENCIA: Estaciones 9 y 17

SUFBAMILIA: CYTHEROMATINAE Elofson, 1939.

GENERO: Megacythere Puri, 1960.

Megacythere repens Garbett y Maddocks, 1979

Megacythere johnsoni Mincher, Swain, 1955, p.641, pl.63, fig.2a-c, pl.64, fig.7, text-fig.39

Megacythere johnsoni Mincher, Puri, 1960, p.172.

Megacythere repens Garbett y Maddocks, 1979, p.873, pl.2, figs.1,2, pl.3, figs.9-12.

MATERIAL: 3 valvas.

OCCURRENCIA: Estaciones 8 y 17.

DISTRIBUCION: Holoceno de las Bahias de Texas, costas de Florida, Belice, Golfo de California. Cuaternario Tardio al sur de Texas y Miocene de Guatemala y Trinidad.

GENERO: Paracytheroma Juday, 1907.

Paracytheroma cf. P. texana

MATERIAL: 1 valva.

OCCURRENCIA: Estación 8.

Pellucistoma Coryell y Fields, 1937.

Pellucistoma magniventra Edwards, 1944

Pellucistoma magniventra Edwards, 1944, p.528, pl.83, figs.33-35.

MATERIAL: 46 valvas.

OCCURRENCIA: Estaciones 4,5,8,9,11,13,14,15,16 y 17.

DISTRIBUCION: Distribuida del Miocene al Reciente en el Caribe, plataforma de Louisiana, Florida, Laguna de Terminos, Campeche, Arrecifes de Anton Lizardo, Ver., República Dominicana y Cuaternario Tardio al sur de Texas.

Pellucistoma sp.A

MATERIAL: 16 valvas.

OCCURRENCIA: Estaciones 4,8,9,11,14,16 y 17.

FAMILIA: SCHIZOCYTHERIDAE Howe, 1961.
GENERO: Neomonoceratina Kingma, 1948.

Neomonoceratina mediterranea Ruggieri, 1953.

Paijenborchella (Neomonoceratina) mediterranea Ruggieri, 1953, p.4, text-figs.1-5.

MATERIAL: 7 valvas.

OCURRENCIA: Estaciones 11,13 y 17.

DISTRIBUCION: Ha sido reportada en Egipto, Golfo de Paria, Venezuela, Java, Bahia de Manila, Filipinas, Bahia de San Antonio, Texas y en la Laguna de Términos, Campeche.

FAMILIA: TRACHYLEBERIDIDAE Sylvester-Bradley, 1948

SUFBAMILIA: TRACHYLEBERIDINAE
Sylvester-Bradley, 1948.

GENERO: Actinocythereis Puri, 1953.

Actinocythereis sp.A

MATERIAL: 24 valvas.

OCURRENCIA: Estaciones 4,5,13,14,15 y 16.

SUFBAMILIA: ECHINOCYTHEPEIDIINAE Hazel, 1967.

GENERO: Echinocythereis Puri, 1954.

Echinocythereis margaritifera (Brady, 1870)

Cythere margaritifera Brady, 1870, p.192, pl.27, figs.3,4.

Cythereis garretti Howe y McGuirt, 1955, p.20, pl.3, figs.17-19; pl.4, figs.5,15.

Echinocythereis garretti (Howe y McGuirt). Puri, 1954, p.260, pl.12, figs.2-3; text-figs.9a,b.

Echinocythereis margaritifera (Brady) Curtis, 1960, p.478, pl.1, fig.19.

MATERIAL: 247 valvas.

OCURRENCIA: Estaciones 4,5,9,13,14,15,16 y 17.

DISTRIBUCION: Reportada al este del Delta del Rio Mississippi, sureste de Florida y plataforma continental de Louisiana, Veracruz y Tabasco.

GENERO: Orionina Puri, 1954.

Orionina bradyi Bold, 1963.

Orionina bradyi Bold, 1963, p.33-50.

MATERIAL: 72 valvas.

OCURRENCIA: Estaciones 4,5,8,9,11,13,14,15,16 y 17.

DISTRIBUCION: Reportados en Panama, Bahamas, bahia de Florida, Arrecifes de Anton Lizardo, Ver., Laguna de Términos, Camp. y Pleistoceno del sur de Florida.

GENERO: Jugosocythereis Puris, 1957.

Jugosocythereis pannosa Brady, 1869.

Jugosocythereis pannosa Brady, 1869, p.45-50.

MATERIAL: 16 valvas.

OCCURRENCIA: Estaciones 8,9,11,13,14 y 17.

DISTRIBUCION: Se ha localizado en Bermudas, Florida, Belice; Pleistoceno de Jamaica, Miocene Tardio a Reciente del Caribe, Republica Dominicana y Arrecifes de Anton Lizardo, Veracruz.

GENERO: Puriana Coryell y Fields, 1953.

Puriana congestostostata Bold, 1988.

Puriana congestostostata Bold, 1988, p.105.

MATERIAL: 27 valvas.

OCCURRENCIA: Estaciones 4,13,14 y 16.

DISTRIBUCION: Ha sido reportada al noreste y sureste del Golfo de Mexico.

Puriana convoluta Teeter, 1975.

Puriana convoluta Teeter, 1975, p.400-409.

MATERIAL: 47 valvas.

OCCURRENCIA: Estaciones 4,5,8,9,11,13,15 y 17.

DISTRIBUCION: En el Plioceno y Pleistoceno Temprano de Virginia y Carolina del norte.

Puriana koutaki Kontrovitz, 1976.

Puriana koutaki Kontrovitz, 1976, p.49, pl.4, fig. 9-10.

MATERIAL: 4 valvas.

OCCURRENCIA: Estaciones 8,13 y 17.

DISTRIBUCION: Localizada en la plataforma continental de Louisiana, Arrecifes de Anton Lizardo, Ver., y Cuaternario Tardio al sur de Texas.

GENERO: Quadracythere Hornbrook, 1952.

Quadracythere cf. Q. producta (Brady, 1868)

Quadracythere producta Brady, 1868, p.49-256.

MATERIAL: 9 valvas.

OCCURRENCIA: Estaciones 8,9,11,13 y 14.

DISTRIBUCION: Q. producta ha sido descrita en Bahamas, Belice, Bahia de Chetumal, Arrecifes de Anton Lizardo, Ver. y Miocene Tardio al Holoceno de la Republica Dominicana.

FAMILIA: XESTOLEBERIDIDAE Sars, 1929.

GENERO: Xestoleberis Sars, 1866.

Xestoleberis rigbyi Morales, 1966.

Xestoleberis rigbyi Morales, 1966, p.87,89, pl.8, figs. 4a-d.

MATERIAL: 166 valvas.

OCURRENCIA: Estaciones 4,5,9,11,13,14,15 y 16.

DISTRIBUCION: En el Reciente del Golfo de México, Belice, Mioceno Tardío y Plioceno de República Dominicana, Trinidad, Venezuela y Pleistoceno del sur de Florida.

Xestoleberis sp. A.

MATERIAL: 71 valvas.

OCURRENCIA: Estaciones 4,5,9,13,14,15,16 y 17.

DISTRIBUCION: Reportada para la Laguna de Términos, Campeche, México.

FAMILIA: CYTHERELLIDAE Sars, 1866.

GENERO: Cytherella Jones, 1849.

Cytherella vermillionensis Kontrovitz, 1976

Cytherella vermillionensis Kontrovitz, 1976, p.92, pl.7, figs.8,9.

MATERIAL: 48 valvas.

OCURRENCIA: Estaciones 4,5,8,9,11,13,14,15,16 y 17.

DISTRIBUCION: Localizada en la plataforma continental del Golfo de México, Belice y Nicaragua.

GENERO: Cythereilloidea Alexander, 1929.

Cythereilloidea cf. C. sarsi Puri, 1960

Cythereilloidea sarsi Puri, 1960, p.133, pl.5, figs. 1,2.

MATERIAL: 17 valvas.

OCURRENCIA: Estaciones 4,5,13,14,15 y 16.

DISTRIBUCION: C. sarsi se ha reportado al sur del Golfo de México.

OSTRACODO SP. A

MATERIAL: 1 valva.

OCURRENCIA: Estación 15.

POSICION TAXONOMICA

Posición taxonómica para el grupo de FORAMINIFEROS según la nueva clasificación de Loeblich y Tappan, 1982. Se presentan las referencias originales así como las sinonimias (cambios de nombre que ha sufrido la especie).

REINO: PROTISTA

SUPERREINO: PROTOZOA

PHYLUM: SARCOMASTIGOFORA Honigberg y Balamuth, 1963.

SUBPHYLUM: SARCODINA Schmidta, 1871.

SUPERCLASE: RHIZOPODA von Siebold, 1845.

CLASE: GRANULOPETICULOSEA de Saedeleer, 1934.

ORDEN: FORAMINIFERIDA Zborzewski, 1834.

SUBORDEN: TEXTULARIINA Delage y Hérouard, 1896.

SUPERFAMILIA: TEXTULARIACEA Ehrenberg, 1839.

FAMILIA: TEXTULARIIDAE Ehrenberg, 1839.

GENERO: Textularia Defrance de Blainville, 1824.

Textularia agglutinans d'Orbigny, 1839.

Textularia agglutinans d'Orbigny, 1839, p.136, pl.1,
figs.17,18, 32,34.

MATERIAL: 40 testas.

OCCURRENCIA: En todas las estaciones, excepto la 3 y 12.

DISTRIBUCION: Se ha reportado en las costas de Florida, Matamoros y Banco de Campeche.

Textularia mayori Cushman, 1922.

Textularia mayori Cushman, 1922, p.23, pl.2, fig.3.

MATERIAL: 90 testas.

OCCURRENCIA: Estaciones 3,4,5,6,8,9,10,11,12,13,14,15,16 y 18.

DISTRIBUCION: Se ha reportado en las costas de Florida, Texas, Delta del Mississippi, sureste de Louisiana y Banco de Campeche.

GENERO: Bisgenerina d'Orbigny, 1826.

Bisgenerina irregularis Phleger y Parker, 1951.

Bisgenerina irregularis, Phleger y Parker, 1951, p.4, pl.1,
figs.16,17.

MATERIAL: 111 testas.

OCCURRENCIA: Estaciones 1,3,4,5,8,9,12,13,14,15,16,17 y 18.

DISTRIBUCION: Se ha reportado en el Delta del Mississippi, costas de Texas y Florida, sureste de Louisiana y Laguna de Terminos, Campeche.

FAMILIA: VERNEULINIDAE Cushman, 1927.
GENERO: Gaudryina d' Orbigny, 1839.

Gaudryina cf. G. aequa Cushman.

Gaudryina cf. G. aequa Cushman. Phleger y Parker, 1951. Mem. Geol.

Soc. America.

MATERIAL: 1 testa.

OCCURRENCIA: Estación 14.

DISTRIBUCION: Ha sido reportada al noreste del Golfo de México.

SUBORDEN: MILIOLINA Delage y Hérouard, 1896.

SUPERFAMILIA: MILIOLACEA Ehrenberg, 1839.

FAMILIA: NUBECULARIIDAE Jones, 1875.

SUFBAMILIA: NODOBACULARIIINAE Cushman, 1927.

GENERO: Nodobaculariella Cushman y Hanzawa, 1937.

Nodobaculariella cassia (d' Orbigny)

Vertebralina cassia d' Orbigny, 1839, p.51, pl.7, figs.14,15.

Vertebralina mucronata d' Orbigny, 1839, p.52. pl.7, figs.16-19.

Nodobaculariella cassia (d' Orbigny), Phleger y Parker, 1951, p.8, pl.4, figs.12-14.

MATERIAL: 589 testas.

OCCURRENCIA: Encontrada en todas las estaciones.

DISTRIBUCION: Se ha reportado en las costas de Texas, Florida y Banco de Campeche.

SUFBAMILIA: OPHTALMIDIINAE Wiesner, 1920.

GENERO: Wiesnerella Cushman, 1933.

Wiesnerella auriculata (Egger)

Planispirina auriculata Egger, 1893, p.245, pl.3, figs.13-15.

Wiesnerella auriculata (Egger), Parker, 1954, p.501, pl.5, fig.13.

MATERIAL: 1 testa.

OCCURRENCIA: Estación 10.

DISTRIBUCION: Se ha reportado en el Delta del Río Mississippi y costas de Florida.

SUFBAMILIA: SPIROLOCULININAE Wiesner, 1920.
GENERO: Spiroloculina d Orbigny, 1826.

Spiroloculina soldanii Fornasini, 1886.
forma típica

Spiroloculina soldanii Fornasini, Bock, 1971, p.15, pl.4,
fig.1.

MATERIAL: 14 testas.

OCURRENCIA: Estaciones 4,6,7,8,11,14,15 y 17.

DISTRIBUCION: Ha sido reportada al noreste del Golfo de
Méjico y Bahía de Campeche.

Spiroloculina cf. S. henbesti

MATERIAL: 5 testas.

OCURRENCIA: Estación 7.

SUPERFAMILIA: MILIOLIDAE Ehrenberg, 1839.

FAMILIA: MILIOLIDAE Ehrenberg, 1839.

SUFBAMILIA: MILIOLINAE Ehrenberg, 1839.

GENERO: Quinqueloculina d Orbigny, 1826.

Quinqueloculina bicarinata d Orbigny, 1826.

Quinqueloculina bicarinata d Orbigny, 1826, p.302.

MATERIAL: 32 testas.

OCURRENCIA: Estaciones 5,15 y 16.

DISTRIBUCION: Reportada al noreste del Golfo de Méjico y
Plataforma central de Campeche.

Quinqueloculina bicostata (d Orbigny)
forma garretti

Quinqueloculina garretti Andersen, 1961, p.30, pl.4,
figs.5a-c.

MATERIAL: 73 testas.

OCURRENCIA: Estaciones 2,3,4,5,6,7,8,13,14,15,16 y 17.

DISTRIBUCION: Se ha reportado en el Delta del Mississippi y
plataforma central de Campeche.

Quinqueloculina bicostata (d Orbigny)
forma típica

Quinqueloculina bicostata d Orbigny, 1839, p.195, pl.12,
figs.8-10.

MATERIAL: 164 testas.

OCURRENCIA: En todas las estaciones, excepto la 12 y 17.

DISTRIBUCION: Ha sido reportada en el Delta del Río
Mississippi, costas de Florida y Banco de Campeche.

Quinqueloculina candeliana d' Orbigny, 1839.

Quinqueloculina candeliana d' Orbigny, 1839, p.199, pl.12.
figs. 24-26.

Q. lamarchiana d' Orbigny, Phleger y Parker, 1951, p.7, pt.4.
figs. 1a,b y 2a,b.

MATERIAL: 363 testas.

OCURRENCIA: En todas las estaciones.

DISTRIBUCION: Se ha reportado en las costas de Texas y Florida, Delta del Rio Mississippi, Laguna Madre, Matamoros y Banco de Campeche.

Quinqueloculina compta Cushman, 1947.

Quinqueloculina compta Cushman, 1947, p.87, pl.19, fig.2.
MATERIAL: 254 testas.

OCURRENCIA: En todas las estaciones.

DISTRIBUCION: Se ha reportado en el Delta del Rio Mississippi, costas de Texas, Florida y Laguna de Términos, Campeche.

Quinqueloculina horrida Cushman, 1947.

Quinqueloculina horrida Cushman, 1947, p.88, pl.19, fig.1.
MATERIAL: 7 testas.

OCURRENCIA: Estaciones 4,5,7 y 17.

DISTRIBUCION: Se ha reportado en el Delta del Rio Mississippi, costas de Florida, Matamoros y Laguna de Términos, Campeche.

Quinqueloculina laevigata d' Orbigny, 1839.

Quinqueloculina laevigata d' Orbigny, 1839, p.301.

MATERIAL: 16 testas.

OCURRENCIA: Estaciones 1,5,7,9,10,11,12,14 y 17.

DISTRIBUCION: Se ha reportado en las costas de Florida.

Quinqueloculina linneiana d' Orbigny
var. comis.

Triloculina linneiana d' Orbigny, var. comis, Bandy, 1956,
p.198, pl.29, fig.12.

Quinqueloculina linneiana d' Orbigny, forma comis, Poag,
1981, p.79, pt.61, fig.2.

MATERIAL: 18 testas.

OCURRENCIA: Estaciones 1,2,7,8,9 y 17.

DISTRIBUCION: Se ha reportado en la plataforma central de Campeche y Bahia de Florida.

Quinqueloculina polygona d' Orbigny, 1839.

Quinqueloculina polygona d' Orbigny, 1839, p.198, pl.12,
figs. 21-23.

MATERIAL: 6 testas.

OCURRENCIA: Estaciones 1,2,13,15,16 y 18.

DISTRIBUCION: Se ha reportado en las costas de Texas, Florida y Laguna de Términos, Campeche.

Quinqueloculina sabulosa Cushman, 1947.

Quinqueloculina sabulosa Cushman, 1947, p.87, pl.18, fig.22.
MATERIAL: 6 testas.

OCURRENCIA: Estaciones 3,11,14 y 16.

DISTRIBUCION: Se ha reportado al noreste del Golfo de México, Delta del Mississippi y arrecifes de Veracruz.

Quinqueloculina seminulum (Linnaeus), 1767

Serpula seminulum Linnaeus, 1767, p.1264.

Quinqueloculina seminulum d Orbigny, 1826, p.503.

MATERIAL: 59 testas.

OCURRENCIA: Estaciones 1,2,3,6,7,8,12,13,14,15 y 18.

DISTRIBUCION: Reportada en las costas del Golfo de Texas, Matamoros y Laguna de Términos, Campeche.

Quinqueloculina suboeyana Cushman, 1922.

Quinqueloculina suboeyana Cushman, 1922, p.66.

MATERIAL: 18 testas.

OCURRENCIA: Estaciones 1,6,9,10,11,12,13,17 y 18.

DISTRIBUCION: Se ha encontrado en el noreste del Golfo de México, costas de Texas y Laguna de Términos, Campeche.

Quinqueloculina cf. Q.vulgaris d Orbigny, 1826

Quinqueloculina vulgaris d Orbigny, 1826, p.302, no.33.

MATERIAL: 60 testas.

OCURRENCIA: Estaciones 1,2,3,4,5,6,8,10,12,13,14,15,16,17 y 18.

DISTRIBUCION: Se ha localizado al noreste y centro del Golfo de México, Matamoros y costas de Florida.

Quinqueloculina wiesneri Parr, 1950.

Quinqueloculina anguina Terquim var. wiesneri Parr, 1950, p.290, pl.6, figs.9,10.

MATERIAL: 15 testas.

OCURRENCIA: Estaciones 7,8,9,11,12,13 y 17.

DISTRIBUCION: Reportada en las costas de Texas, Matamoros, Laguna Madre y Laguna de Términos, Campeche.

Quinqueloculina juveniles.

MATERIAL: 193 testas.

OCURRENCIA: En todas las estaciones, excepto 9 y 14.

GENERO: Pyrgo Defrance, 1824.

Pyrgo elongata (d Orbigny), 1826.

Biloculina elongata d Orbigny, 1826, p.298, no.4.

Pyrgo elongata Cushman, 1929, p.70, pl.12, figs.2-3.

MATERIAL: 28 testas.

OCURRENCIA: Estaciones 1,2,4,6,7,8,9,11,12,13 y 16.

DISTRIBUCION: Se ha reportado en el Delta del Rio Mississippi y Bahia de Campeche.

Pyrgo cf. P. nasutus Cushman, 1935.

Pyrgo nasutus Cushman, 1935, p.7, pl.3, fig.1-3.

MATERIAL: 13 testas.

OCURRENCIA: Estaciones 1,3,4,5,13,14,15 y 16.

DISTRIBUCION: Se ha reportado en el Delta del Rio Mississippi y Laguna de Términos, Campeche.

Pyrgo subsphaerica (d Orbigny), 1839.

Biloculina subsphaerica d Orbigny, 1839, p.162, pl.16, fig.25-27.

Pyrgo subsphaerica Cushman, 1929, p.68, pl.18, figs.1,2.

MATERIAL: 8 testas.

OCURRENCIA: Estaciones 4,5,6,8 y 9.

DISTRIBUCION: Se ha reportado al noreste, noroeste y parte central del Golfo de México.

GENERO: Triloculina d Orbigny, 1826.

Triloculina rupertiana

MATERIAL: 2 testas.

OCURRENCIA: Estación 17.

DISTRIBUCION: Se ha reportado al noroeste del Golfo de México.

Triloculina tricarinata d Orbigny, 1826.

Triloculina tricarinata d Orbigny, 1826, p.299, no.7.

MATERIAL: 13 testas.

OCURRENCIA: Estaciones 1,3,4,5,10,13 y 15.

DISTRIBUCION: Se ha reportado al norte, noreste, noroeste y parte central del Golfo de México, Matamoros y plataforma central de Campeche.

Triloculina trigonula (Lamarck), 1804.

Miliola trigonula Lamarck, 1804, p.351, no.5.

Triloculina trigonula d Orbigny, 1838, p.299, no.1, pl.16, figs.5-9.

MATERIAL: 108 testas.

OCCURRENCIA: Estaciones 1,2,3,4,5,7,8,9,12,13,14,15,16,17 y 18.

DISTRIBUCION: Reportada en las costas de Texas y Florida, Delta del Rio Mississippi, Matamoros y plataforma central de Campeche.

SUFBAMILIA: TUBINELLIDAE Rhumbler, 1906.

GENERO: Articulina d Orbigny, 1826.

Articulina medicana (Cushman), 1921.

Vertebralina sp. Cushman, 1921, p.64.

Articulina mexicana Cushman, 1922, p.70, pl.11, figs.7-8.

MATERIAL: 83 testas.

OCCURRENCIA: Estaciones 1,2,5,6,7,9,11,12,14 y 18.

DISTRIBUCION: Se ha reportado al noreste y noreste del Golfo de México.

Articulina pacifica Cushman, 1944.

Articulina sulcata Brady, 1884, p.183, pl.12, fig.12-13.

Articulina pacifica Cushman, 1944, p.17, pl.14, figs.14-16.

MATERIAL: 5 testas.

OCCURRENCIA: Estaciones 6 y 13.

DISTRIBUCION: Localizada al noreste del Golfo de México, al sur de las costas de Florida y plataforma este de Campeche.

SUPERFAMILIA: ORBITOLITACEA Gray, 1840.

FAMILIA: PENEROPLIDAE, Schultze, 1854.

GENERO: Peneroplis De Montfort, 1808.

Peneroplis proteus d Orbigny, 1839.

Peneroplis protea d Orbigny, 1839, p.60, pl.7, fig.7-11.

Peneroplis carinatus d Orbigny, 1839, p.33, pl.2, fig.7-8.

Peneroplis bradyi Cushman, 1930, p.40, pl.14, figs.8-10.

Peneroplis proteus d Orbigny, Phleger y Parker, 1951, p.11, pl.6, fig.6.

MATERIAL: 351 testas.

OCCURRENCIA: En todas las estaciones, excepto la 17.

DISTRIBUCION: Se ha localizado al noreste del Golfo de México, Matamoros, Delta del Rio Mississippi y Bahía de Campeche.

FAMILIA: ORBITOLITIDAE Gray, 1840.
SUBFAMILIA: ARCHAIASINAE Cushman, 1927.
GENERO: Archaias De Montfort, 1808.

Archaias angulatus (Fichtell y Moll)

Nautilus angulatus Fichtell y Moll, 1803, p.112, pl.21.
Orbiculina compressa d' Orbigny, 1839, p.73, pl.8, figs.4-7.
Archaias compressus (d' Orbigny). Phleger y Parker, 1951, p.11, pl.6, figs.3-5.
Archaias angulatus (d' Orbigny). Bock, 1971, p.35, pl.14, figs.1-3.
MATERIAL: 35 testas.
OCURRENCIA: Estaciones 2,3,5,6,7,8,11,12 y 15.
DISTRIBUCION: Reportada al noroeste y noreste del Golfo de México, Bahía de Florida y Bahía de Campeche.

SUBFAMILIA: ORBITOLITINAE Gray, 1840.
GENERO: Sorites Ehrenberg, 1839.

Sorites marginalis (Lamarck, 1816)

Orbulites marginalis Lamarck, 1816, p.196.
Orbitolites marginalis Carpenter, 1883, p.560, fig.1.
Sorites marginalis Cushman, 1930, p.49, pl.19, figs.1-4.
MATERIAL: 253 testas.
OCURRENCIA: En todas las estaciones, excepto 3 y 17.
DISTRIBUCION: Reportada en las costas de Florida.

SUBORDEN: LAGENINAE Delage y Hérouard, 1896.
FAMILIA: NODOSARIIDAE Ehrenberg, 1839.
SUBFAMILIA: NODOSARIINAE Ehrenberg, 1839.
GENERO: Nodosaria Lamarck, 1812.

Nodosaria spp.

MATERIAL: 2 testas.
OCURRENCIA: Estación 12.

GENERO: Pseudonodosaria Boomgaart, 1949.

Pseudonodosaria sp.

MATERIAL: 2 testas.
OCURRENCIA: Estaciones 9 y 10.

GENERO: Amonicoryne Schulumberger, 1881.

Amonicoryne scalaris (Bartsch), 1791.

Nautilus (orthoceras) scalaris Bartsch, 1791, pl.2, fig.d.
Noctosaria scalaris Parker y Jones, 1865, p.340, pl.16,
fig.2.

Amphicoryne scalaris (Bartsch), Bock, 1971, p.38, pt.14,
fig.15.

MATERIAL: 5 testas.

OCURRENCIA: Estaciones 4,9,10 y 13.

DISTRIBUCION: Se ha reportado al noreste del Golfo de
Méjico.

GENERO: Lagena Walker y Jacob, 1798.

Lagena cf. L. laevis (Montagu), 1803

Vermivulum laeve Montagu, 1803, p.524.

Lagena cf. L. laevis (Montagu), Andersen, 1961, p.76, pt.16,
fig.13.

MATERIAL: 3 testas.

OCURRENCIA: Estaciones 9,10 y 11.

DISTRIBUCION: Reportada en el Delta del Río Mississippi,
Bahía de Campeche, Pleistoceno de California, Plioceno de
Japón e Italia y Plioceno Temprano del sureste de México.

Lagena spicata Cushman y McCulloch, 1950

Lagena sulcata Brady, 1884, pl.58, figs.4-17.

Lagena sulcata (Walker y Jacob) var. spicata Cushman y
McCulloch, 1950, p.360, pl.48, figs.3-7.

Lagena spicata Cushman y McCulloch; Andersen, 1961, p.77,
pt.16, fig.16.

MATERIAL: 4 testas.

OCURRENCIA: Estaciones 9 y 10.

DISTRIBUCION: En el Delta del Río Mississippi.

FAMILIA: VAGINULINIDAE Reuss, 1860.

SUFBAMILIA: LENTICULININA

Chapman, Parr y Collins, 1934.

GENERO: Lenticulina Lamarck, 1804.

Lenticulina cf. L.falcifer (Stache, 1865)

Cristellaria (cristellaria) falcifer Stache, 1865, p.240,
pl.25, figs.19a-b.

Lenticulina cf. L. falcifer Stache, Andersen, 1961, p.50,
pt.13, figs.3a,b.

MATERIAL: 8 testas.

OCURRENCIA: Estaciones 1,4,10 y 18.

ESTA TESIS NO DEBE
SALIR DE LA BIBLIOTECA

DISTRIBUCIONES: Se ha localizado en el Delta del Rio Mississippi y Plioceno Temprano del sureste de México.

Lenticulina sp.

MATERIAL: 2 testas.

OCCURRENCIA: Estación 2.

SUFBAMILIA: MARGINULININAE Wedekind, 1937.

GENERO: Marginulina d Orbigny, 1826.

Marginulina sp.

MATERIAL: 1 testa.

OCCURRENCIA: Estación 13.

FAMILIA: POLYMORPHINIDAE d Orbigny, 1839.

SUFBAMILIA : POLYMORPHININAE d Orbigny, 1839.

GENERO : Globulina d Orbigny, 1839.

Globulina spp.

MATERIAL: 5 testas.

OCCURRENCIA: Estaciones 2,4,6 y 8.

GENERO: Guttulina d Orbigny, 1839.

Guttulina australis (d Orbigny), 1839

Globulina australis d Orbigny, 1839, p.60, pl.1, fig.1-4.

Polymorphina australis Brady, Parker y Jones, 1869, p.259, pl.41, fig. 27 a,b.

Polymorphina regina Cushman, 1921, p.194, pl.18, fig.d.

Guttulina australis d Orbigny, Bock, 1971, p.43, pt.16, fig.2.

MATERIAL: 25 testas.

OCCURRENCIA: Estaciones 1,2,3,5,8,9,11,12,13,14,15 y 16.

DISTRIBUCIONES: Reportada al norte, noreste y parte central del Golfo de México, Matamoros, costas de Texas, Delta del Mississippi y Laguna Madre.

Guttulina spp.

MATERIAL: 3 testas.

OCCURRENCIA: Estaciones 4,6 y 7.

SUBORDEN: ROTALIINA Delage y Hérouard, 1896.
SUPERFAMILIA: BULIMINACEA Jones, 1875.
FAMILIA: FURSENKOINIDAE Loeblich y Tappan, 1961.
SUBFAMILIA: FURSENKOININAE Loeblich y Tappan, 1961
GENERO: Furstenkoina Loeblich y Tappan, 1961.

Furstenkoina complanata (Egger), 1893.

Virgulina schreibersiana Czizek var. complanata Egger, 1893, p.292., pl.8 figs.91,92.
Furstenkoina complanata (Egger) Bock, 1971, p.62, pl.23, fig.8.
MATERIAL: 1 testa.
OCURRENCIA: Estación 10.
DISTRIBUCION: Se ha localizado en el Delta del Río Mississippi y Bahía de Campeche.

Furstenkoina compressa (Bailey), 1851.

Bulimina compressa Bailey, 1851, p.12, pl.12, figs.35,37.
Bulimina presili Reuss, var. (virgulina) schreibersii Parker & Jones, 1865, p.375, pl.17, fig.72.
Virgulina schreibersiana Flint, 1897, p.291, pl.37, fig.6.
Virgulina compressa Cushman, 1922, p.116, pt.3, pl.24, figs.2,3.
Furstenkoina compressa (Bailey), Bock, 1971, p.62, pl.23, fig.7.
MATERIAL: 5 testas.
OCURRENCIA: Estaciones 12 y 17.
DISTRIBUCION: Ha sido reportada al noreste del Golfo de México y Bahía de Campeche.

Furstenkoina pontoni (Cushman), 1932.

Virgulina pontoni Cushman, 1932, p.17, pt.1, pl.3, fig.7.
Furstenkoina pontoni (Cushman), Bock, 1971, p.6, pl.23, fig.9.
MATERIAL: 25 testas.
OCURRENCIA: Estaciones 2,4,5,8,9,10,11,12,14 y 17.
DISTRIBUCION: Localizada en el Delta del Río Mississippi, costas de Texas, Laguna de Términos, Campeche, en el Mioceno Tardío al Plioceno Temprano de la República Dominicana, Mioceno de Panamá, Mioceno a Plioceno de Jamaica y Venezuela y Plioceno Temprano del sureste del Golfo de México.

Furstenkoina seminuda (Cushman), 1922.

Virgulina mexicana Cushman, 1922, p.120, pl.23, fig.8.
Furstenkoina seminuda Cushman, Bock, 1971, p.62, pl.23, fig.8.
MATERIAL: 6 testas.

OCURRENCIA: Estación 19.

DISTRIBUCION: Se ha reportado al noreste, noroeste y norte del Golfo de México, Delta del Río Mississippi y Bahía de la Guayanilla, Puerto Rico.

Eusenoina spinicostata Phleger y Parker, 1951.

Virgulina spinicostata Phleger y Parker, 1951, p.19, pl.9, figs.11-14.

MATERIAL: 11 testas.

OCURRENCIA: Estación 2.

DISTRIBUCION: Localizada al noroeste y noreste del Golfo de México, costas de Texas, Matamoros y Laguna de Términos, Campeche.

FAMILIA: BOLIVINITIDAE Cushman, 1927.

GENERO: Brizalina Costa, 1856.

Brizalina fragilis (Phleger y Parker), 1951.

Bolivina fragilis Phleger y Parker, 1951, p.13, pl.2, figs. 14, 23, 24a,b.

Brizalina fragilis (Phleger y Parker), Poag, 1981, p.45, pt.25, fig.4.

MATERIAL: 5 testas.

OCURRENCIA: Estaciones 2,10,17 y 18.

DISTRIBUCION: Reportada al noreste y noroeste del Golfo de México, Delta del Río Mississippi, plataforma de Louisiana y Bahía de Campeche.

Brizalina lowmani (Phleger y Parker), 1951.

Bolivina lowmani Phleger y Parker, 1951, p.13, pl.6, figs.20a, b;21.

Brizalina fragilis (Phleger y Parker), Poag, 1981, p.114, pt.25-26, fig.3.

MATERIAL: 31 testas.

OCURRENCIA: Estaciones 2,4,9,10,11 y 17.

DISTRIBUCION: Localizada al norte, noroeste y noreste del Golfo de México, Delta del Mississippi, costas de Texas, Matamoros y Laguna de Términos, Campeche.

Brizalina striatula Cushman, 1936.
forma espinata.

Bolivina striatula Cushman var. espinata Cushman, 1936, p.59, pl.8, figs. 9a-b.

Bolivina striatula espinata Cushman, Parker, 1954, p.516, pl.7, fig.29.

MATERIAL: 3 testas.

OCURRENCIA: Estaciones 5 y 10.

DISTRIBUCION: Se ha reportado en la Laguna Madre, costas del sur de Texas, sureste de Louisiana, Delta del Rio Mississippi, Delta del Rio Colorado y Matamoros, México.

Brizalina spp.

MATERIAL: 2 testas.

OCURRENCIA: Estaciones 12 y 13.

GENERO: Rectobolivina Cushman, 1927.

Rectobolivina advena (Cushman), 1922.

Siphoyerina advena Cushman, 1922, Publ.311, p.55, pl.5,
fig.2.

Rectobolivina advena Cushman, Hotker, 1951, p.116, 232.

MATERIAL: 16 testas.

OCURRENCIA: Estaciones 1,2,4,10,11,12,13,17 y 18.

DISTRIBUCION: Localizada al sureste de Louisiana, Delta del Rio Mississippi y costas centrales de Louisiana.

FAMILIA: PAVONINIDAE Eimer v Fickert, 1899.

SUFBAMILIA: REUSSELLINAE Cushman, 1933.

GENERO: Reusella Galloway, 1933.

Reusella atlantica (Cushman), 1947.

Reusella spinulosa (Reuss) var. atlantica Cushman, 1947,
p.31, pl.20, figs. 6-7.

Reusella atlantica Cushman, Bandy 1954, p.138, pl.31,
figs.7.

MATERIAL: 17 testas.

OCURRENCIA: Estaciones 2,4,6,9,10,11,12,13,14 y 17.

DISTRIBUCION: Se ha reportado en las bahías centrales de Texas, sureste de Louisiana, Laguna Madre, Laguna de Términos, Camp., Delta del Rio Mississippi y Terciario de Colombia.

FAMILIA: BULIMINIDAE Jones, 1875.

SUFBAMILIA: BULIMININAE Jones, 1875.

GENERO: Bulimina d Orbigny, 1826.

Bulimina marginata d Orbigny, 1826.

Bulimina marginata d Orbigny, 1826, p.269, pl.12, figs.
10-12.

MATERIAL: 26 testas.

OCURRENCIA: Estaciones 2,5,9,10,11,14,17 y 18.

DISTRIBUCION: Se ha reportado al sureste de Louisiana, Delta del Rio Mississippi y Matamoros, México.

FAMILIA: BULIMINELLIDAE Horker, 1851.
GENERO: Buliminella Cushman, 1911.

Buliminella elegantissima d Orbigny, 1839.

Buliminella elegantissima d Orbigny, 1839, pt.5, p.41, pl.7,
figs. 13,1d.

MATERIAL: 2 testas.

OCCURRENCIA: Estaciones 10 y 17.

DISTRIBUCION: Localizada en las costas de Texas, Delta del
Río Mississippi, Bahía de San Antonio, Texas y Laguna de
Términos, Campeche.

FAMILIA: UVIGERINIDAE Cushman, 1913.

SUBFAMILIA: UVIGERININAE Cushman, 1913.

GENERO: Uvigerina d Orbigny, 1826.

Uvigerina peregrina Cushman, 1923.
forma tipica

Uvigerina peregrina Cushman, 1923, p.166, pl.42, figs.7-10.

Uvigerina peregrina Cushman, Pflum y Frerichs,
1976, pl.8, fig.1.

MATERIAL: 3 testas.

OCCURRENCIA: Estaciones 7 y 17.

DISTRIBUCION: Se ha reportado en el Holoceno del Golfo de
Méjico, Mediterráneo y Caribe, Pleistoceno del Golfo de
Méjico y California; Pleistoceno de Venezuela, Mioceno de
Florida y Plioceno Temprano del sureste del Golfo de México.

FAMILIA: CASSIDULINIDAE d Orbigny, 1839.

SUBFAMILIA: CASSIDULININAE d Orbigny, 1839.

GENERO: Cassidulina d Orbigny, 1826.

Cassidulina neocarinata Thalmann, 1950.

Cassidulina laevigata d Orbigny, var. carinata Cushman, 1922,
pt.3, p.124, pl.25, figs.6,7.

Cassidulina neocarinata Thalmann, 1950, pts.3,4, p.44.

MATERIAL: 1 testa.

OCCURRENCIA: Estación 10.

DISTRIBUCION: Reportada en el Holoceno del Golfo de México,
Caribe, Atlántico y Pacífico, Florida, Delta del Río
Mississippi, Pleistoceno del Golfo de México, Terciario de
Mallorca e Italia, Mioceno de Venezuela, Plioceno Temprano
de Jamaica y sureste del Golfo de México.

SUPERFAMILIA: DISCORBACEA Ehrenberg, 1838.
FAMILIA: BAGGINIDAE Cushman, 1927.
SUBFAMILIA: BAGGININAE Cushman, 1927.
GENERO: Gancris de Montfort, 1808.

Gancris sagra (d Orbigny), 1839.

Rotalina sagra d Orbigny, 1839, p.77, pl.5, figs.13-1,
figs.13-15.

Gancris oblonga (Williamson), Phleger y Parker, 1951, p.20,
pl.9, figs.17a,b,18,19.

MATERIAL: 8 testas.

OCURRENCIA: Estaciones 1,4,5,6,11 y 13.

DISTRIBUCION: Se ha reportado al noreste y noroeste del
Golfo de México, Delta del Mississippi, Banco de Campeche y
sureste de Louisiana.

GENERO: Valvulineria Cushman, 1925.

Valvulineria sp.

MATERIAL: 9 testas.

OCURRENCIA: Estaciones 1 y 2.

FAMILIA: EPONIDIDAE Hofker, 1951.

SUBFAMILIA: EPONIDINAE Hofker, 1951.

GENERO: Eponides de Montfort, 1808.

Eponides antillarum (d Orbigny), 1839.

Rotalina antillarum d Orbigny, 1839, p.75, pl.5, figs.4-6.

MATERIAL: 86 testas.

OCURRENCIA: En todas las estaciones, excepto la 12.

DISTRIBUCION: Reportada al noreste y noroeste del Golfo de
México y Bahía de Campeche.

Eponides respandus (Fichtel y Moll), 1803

Nautilus respandus Fichtel y Moll, 1803, p.35, pl.3,
figs.a-d.

MATERIAL: 29 testas.

OCURRENCIA: Estaciones 3,5,6,8,13,14,15,16 y 18.

DISTRIBUCION: Se ha reportado al noreste y noroeste del
Golfo de México, costas de Texas y Laguna de Términos,
Campeche.

Eponides umbonatus (Reuss), 1851.

Rotalina umbonata Reuss, 1851, p.75, pl.5, figs.35a-c.

MATERIAL: 2 testas

OCURRENCIA: Estaciones 12 y 18.

DISTRIBUCION: Localizado en el Holoceno y Pleistoceno del Golfo de México, Holoceno del Atlántico, Pacífico, Terciario de Alemania, Japón, Haití, Países, New Guinea, Mallorca (Mar Mediterráneo) y Mioceno Medio de la Formación de Carenero, Venezuela.

GENERO: Neoponides Reiss, 1950.

Neoponides parantillarum (Galloway y Heminway, 1941).

Eponides parantillarum Galloway y Heminway, 1941, p.374, pl.13, figs.1a-c.

Neoponides antillarum (d'Orbigny) Andersen, 1961, p.102, pl.23, figs.4-5.

Neoponides parantillarum (Galloway y Heminway), Kohl, 1985, p.76, pl.25, figs.7-8.

MATERIAL: 4 testas

OCCURRENCIA: Estación 15.

DISTRIBUCION: Se ha reportado en el noreste del Golfo de México, Delta del Río Mississippi, Mioceno de Puerto Rico, Pleistoceno del Golfo de México, Mioceno Tardío a Pleistoceno Temprano de Jamaica y Venezuela, Oligoceno-Mioceno de Puerto Rico y Plioceno Temprano del sureste de México.

FAMILIA: DISCORBIDAE Ehrenberg, 1838.

SUFBAMILIA: ROSALININAE Reiss, 1950.

GENERO: Rosalina d'Orbigny, 1826.

Rosalina concinna (Brady), 1884.

Discorbina concinna Brady, 1884, p.64a, pl.90, figs.7-8.

Rosalina cf. R. concinna (Brady), Parker, 1954, p.524, pl.8, figs.17,18.

MATERIAL: 12 testas.

OCCURRENCIA: Estaciones 1,2,6,10,11,12,14 y 17.

DISTRIBUCION: Se ha reportado en el noreste y noroeste del Golfo de México, Matamoros, Tamaulipas y Laguna de Términos, Campeche.

Rosalina suezensis (Said), 1949.

Discorbis suezensis Said, 1949, p.36, pl.3, fig.34.

Discorbis candeliana (d'Orbigny), Phleger y Parker, 1951, p.20, pl.10, figs.3a,b.

Rosalina suezensis (Said), Parker, 1954, p.526.

MATERIAL: 34 testas.

OCCURRENCIA: Estaciones 1,2,5,6,8,9,10,11,12,13,15 y 17.

DISTRIBUCION: Se ha reportado al noreste, noroeste y centro del Golfo de México, Delta del Río Mississippi y Laguna de Términos, Campeche.

GENERO: Neocorbina Hoffker, 1951.

Nescarbina orbicularis (Terquem), 1876.

Rosalina orbicularis Terquem, 1876, p.75, pl.9, figs.4a,b.

Discorbis orbicularis Berthelin, 1878, p.39, no.63.

Discorbina orbicularis Brady, 1884, p.647, pl.30, figs.4-8.

MATERIAL: 1 testa.

OCURRENCIA: Estación 16.

DISTRIBUCION: Se ha reportado en el centro del Golfo de México y costas de Florida.

FAMILIA: SIPHONINIDAE Cushman, 1927.

SUBFAMILIA: SIPHONININAE Cushman, 1927.

GENERO: Siphonina Reuss, 1850.

Siphonina bradyana Cushman, 1927.

Siphonina bradyana Cushman, 1927, p.11, pl.1, figs.4a-c.

MATERIAL: 3 testas.

OCURRENCIA: Estaciones 5,11 y 13.

DISTRIBUCION: Se encuentra distribuida al noreste, noroeste y parte central del Golfo de México, Bahía de Campeche y Delta del Río Mississippi.

Siphonina gulchra Cushman, 1919.

Siphonina gulchra Cushman, 1919, p.42, pl.14, figs.7a-c.

Siphonina reticulata Cushman, 1919, p.42.

MATERIAL: 4 testas.

OCURRENCIA: Estaciones 3,4,5 y 18.

DISTRIBUCION: Se encuentra distribuida al noreste, noreste y centro del Golfo de México, Delta del Río Mississippi, Banco de Campeche, Terciario de Cuba y Plioceno Temprano del sureste de México.

FAMILIA: ASTERIGENIDAE d Orbigny, 1839.

GENERO: Asterigerina d Orbigny, 1839.

Asterigerinina carinata d Orbigny, 1839.

Asterigerina carinata d Orbigny, 1839, p.118, pl.5, fig.23; pl.6, figs.1,2.

MATERIAL: 23 testas.

OCURRENCIA: Estaciones 3,5,9,12,14,15 y 16.

DISTRIBUCION: Se encuentra distribuida en el noreste, noroeste y centro del Golfo de México, Delta del Río Mississippi y Banco de Campeche.

FAMILIA: AMPHISTEGINIDAE Cushman, 1927.
GENERO: Amphistegina d' Orbigny, 1829.

Amphistegina gibbosa d' Orbigny, 1829.

Amphistegina gibbosa d' Orbigny, 1829, p.120, pl.8, figs. 1-3.

Amphistegina lessonii d' Orbigny. Andersen, 1961, p.111, pl.24, figs. 1a, b.

MATERIAL: 41 testas.

OCCURRENCIA: Estaciones 1,3,9,10,12,14 y 16.

DISTRIBUCION: Se ha reportado al noreste del Golfo de México, Delta del Río Mississippi, Holoceno de Cuba, Jamaica, Pleistoceno del Golfo de México, Plioceno de Italia, Plioceno Tardío del sureste de California y Plioceno Temprano del sureste de México.

FAMILIA: PLANULINIDAE Bermúdez, 1952.

SUFBAMILIA: PLANULININAE Bermúdez, 1952.

GENERO: Planulina d' Orbigny, 1826.

Planulina ariminensis d' Orbigny, 1826.

Planulina ariminensis d' Orbigny, 1826, p.280, pl.14, figs. 1-3, 3a.

MATERIAL: 60 testas.

OCCURRENCIA: Estaciones 1,4,5,a,8,9,10,11,12,13,14,15,16 y 18.

DISTRIBUCION: Se ha localizado al noroeste y noreste del Golfo de México, Laguna de Términos, Campeche; Holoceno del mar Adriático, Atlántico y Pleistoceno del Golfo de México.

Planulina exorna Phleger y Parker, 1951.

Planulina exorna Phleger y Parker, 1951, p.52, pl.18, figs. 5-7.

MATERIAL: 37 testas.

OCCURRENCIA: Estaciones 1,2,4,5,8,9,10,11,12,13,14 y 16.

DISTRIBUCION: Se ha reportado al noreste y noreste del Golfo de México, Laguna de Términos, Campeche, Delta del Río Mississippi, Holoceno del Atlántico y Pleistoceno del Golfo de México.

FAMILIA: CIBICIDIDAE Cushman, 1927.

SUFBAMILIA: CIBICIDINAE Cushman, 1927.

GENERO: Cibicides De Montfort, 1808.

Cibicides deprimus Phleger y Parker, 1951.

Cibicides deprimus Phleger y Parker, 1951, p.29, pl.15, figs. 16a,b, 17a,b.

MATERIAL: 6 testas.
OCURRENCIA: Estaciones 1,8 y 10.
DISTRIBUCION: Se ha localizado al noroeste, noreste del Golfo de México, Banco de Campeche.

Cibicides spp.

MATERIAL: 6 testas.
OCURRENCIA: Estaciones 7,12,13 y 18.

FAMILIA: PLANORBULINIDAE Schwager, 1877.
GENERO: Planorbulina d Orbigny, 1826.

Planorbulina mediterranensis d Orbigny, 1826.

Planorbulina mediterranensis d Orbigny, 1826, p.280, no.2,
pl.1d, figs. 4-5.
MATERIAL: 12 testas.
OCURRENCIA: Estaciones 4,5,9,10 y 11.
DISTRIBUCION: Se ha localizado al noroeste y noreste del Golfo de México, Bahía de Tampa y Delta del Río Mississippi.

SUPERFAMILIA: ROTALIACEA Ehrenberg, 1839.
FAMILIA: ROTALIIDAE Ehrenberg, 1839.

SUFBAMILIA: ROTALIINAE Ehrenberg, 1839.
GENERO: Rotalia Lamarck, 1804.

Rotalia rolshauseni Cushman, 1946.

Rotalia rolshauseni Cushman y Bermudez, 1946, p.119,
figs.11-13.
MATERIAL: 66 testas.
OCURRENCIA: Estaciones 1,2,4,5,8,10,11,13,14,15 y 18.
DISTRIBUCION: Ha sido reportada al sureste de Louisiana y Delta del Río Mississippi.

GENERO: Ammonia Brunnich, 1772.

Ammonia parkinsoniana (d Orbigny), 1839.
forma Tipica.

Posalina parkinsoniana d Orbigny, 1839, p.99, pl.4,
figs.25-27.
Rotalia beccarii (linnae) var. parkinsoniana (d Orbigny),
Phleger y Parker, 1951, p.23, pl.12, figs. 6a, b.
Ammonia parkinsoniana (d Orbigny) forma Tipica; Poag, 1978,
p.397, pl.1, figs. 5-7, 13-16, 19-21.
MATERIAL: 164 testas.
OCURRENCIA: En todas las estaciones.
DISTRIBUCION: Se ha localizado al norte, noroeste y noreste del Golfo de México, costas de Texas, Delta del Río

Mississippi, Bahía de Campeche y Bahía de San Antonio y Plioceno del sureste de México.

Ammonia parkinsoniana (d Orbigny), 1839.
forma tephida.

Rosalina parkinsoniana d Orbigny, 1839, p.99, pl.4,
figs.25-27.

Rotalia beccarii (linnae) var. tephida Cushman, 1926, p.72,
pl.1.

Rotalia beccarii (Linnæ) var. tephida Cushman, Phleger y
Parker, 1951, p.23, pl.12, figs.7a,b.

Ammonia parkinsoniana (d Orbigny) forma tephida, Poag, 1978,
p.397, pl.1, figs.1-4, 10-12, 17-18.

MATERIAL: 166 testas.

OCURRENCIA: Estaciones 1,2,4,5,6,8,9,10,11,12 y 17.

DISTRIBUCION: Se ha localizado en las costas de Texas y
Louisiana, Holoceno del Caribe y Plioceno Temprano del
sureste del Golfo de México.

FAMILIA: ELPHIDIIDAE Galloway, 1973.

SUFBAMILIA: ELPHIDIINAE Galloway, 1973.

GENERO: Elphidium De Montfort, 1808.

Elphidium discoidale (d Orbigny), 1839.
forma tipica

Polytomella discoidalis d Orbigny, 1839, p.56, pl.6,
figs.23-24.

Elphidium discoidale (d Orbigny), Phleger y Parker, 1951,
p.10, pl.5, fig. 10.

Elphidium discoidale (d Orbigny), Andersen, 1961, p.109,
pl.18, figs. 7a,b.

E. discoidale forma tipica, Poag, 1981, p.59, pt.35, fig.1,
pt.36, fig.1a,b.

MATERIAL: 610 testas.

OCURRENCIA: Estaciones 2,3,4,5,6,7,8,9,10,11,12,13,14,15 y
18.

DISTRIBUCION: Se ha reportado en la plataforma de
Texas-Louisiana.

Elphidium discoidale d Orbigny, 1839.
forma translúcida.

cf. Elphidium translucens Natland, 1933, p.144, pl.5, figs.
3,4.

Elphidium cf. E. translucens Natland, Andersen, 1961, pt.1,
p.110, pl.18, figs.10a, b.

Elphidium discoidale (d Orbigny), Bock, 1971, p.56, pl.20,
figs. 9,10.

E. discoidale forma translúcida, Poag, 1981, p.59, pt.35,
fig.2, pt.36, figs.2a,b.

MATERIAL: 252 testas.

OCCURRENCIA: En todas las estaciones, excepto en la estación 3.

DISTRIBUCION: Se han reportado en las costas de Texas, sureste de Louisiana, Delta del Río Mississippi, Matamoros y Laguna de Términos, Campeche.

Elphidium fimbriatulum (Cushman), 1918.

Polystomella fimbriatulum Cushman, 1918, p.20, pl.8, figs.5a, b.

Elphidium cf. E.fimbriatulum (Cushman), Phleger y Parker, 1951, p.10, pl.5, fig.12.

Elphidium advenum (Cushman), Parker, 1954, p.508, pl.6, fig.14.

Elphidium fimbriatulum (Cushman), Andersen, 1961, p.110, pl.18, fig.9a,b.

MATERIAL: 29 testas.

OCCURRENCIA: Estaciones 4,5,6,8,9,11,13,14,15,16 y 18.

DISTRIBUCION: Se han reportado en el Delta del Río Mississippi, costas de Texas, plataforma oeste de Florida y Laguna de Términos, Campeche.

Elphidium lanieri (d Orbigny), 1839.

Polystomella lanieri d Orbigny, 1839, p.54, pl.7, figs. 12,13.

Polystomella sagra d Orbigny, 1839, p.55, pl.6, figs.19, 20.

Elphidium sagrum (d Orbigny) Bock, 1971, p.56, pl.20, figs.11,13.

Elphidium lanieri (d Orbigny) Poag, 1981, p.62, pt.37, fig.4, pt.39, figs.4a,b.

MATERIAL: 7 testas.

OCCURRENCIA: Estaciones 3,5,13,14,15 y 18.

DISTRIBUCION: Se ha reportado en la plataforma oeste de Florida y plataforma central de Campeche.

Elphidium poeyanum (d Orbigny), 1839.

Polystomella poeyana d Orbigny, 1839, p.55, pl.6, fig.25,26.

Elphidium poeyanum (d Orbigny), Bock, 1971, p.57, pl.21, figs.1,2.

MATERIAL: 5 testas.

OCCURRENCIA: Estación 10.

DISTRIBUCION: Se ha reportado en el Holoceno del Caribe, oeste de la India, Golfo de México, Atlántico y Pacífico; Pleistoceno y Plioceno Temprano del Golfo de México, Mioceno de Florida, Mioceno a Pleistoceno de Venezuela y Terciario de Puerto Rico.

Elphidium spp.

MATERIAL: 18 testas.

OCCURRENCIA: Estaciones 1 y 2.

SUPERFAMILIA: NONIONACEA Schultze, 1854.
FAMILIA: NONIONIDAE Schultze, 1854.
SUBFAMILIA: NONIONINAE Schultze, 1854.
GENERO: Nonion de Montfort, 1806.

Nonion grataeoupi (d' Orbigny), 1826.

Nonion grataeoupi d' Orbigny, 1826, p.294, no.12.
Nonion grataeoupi Cushman, 1930, pt.7, p.10, pl.3,
figs.9-11, pl.4, figs.1-4.
Pseudononion grataeoupi (d' Orbigny), Andersen, 1961, p.24,
pl.18, figs.5-a-c.
MATERIAL: 150 testas.
OCURRENCIA: Estaciones 1,2,4,5,c,6,9,10,11,12,13,14,15,17 y
18.
DISTRIBUCION: Reportada al noroeste del Golfo de México,
costas de Louisiana, Ficrida y Laguna de Términos, Campeche.

Nonion sp.

MATERIAL: 11 testas.
OCURRENCIA: Estaciones 6,7,9,12,13 y 18.

GENERO: Hanazawaiia Asano, 1944.

Hanazawaiia concentrica (Cushman), 1918.
forma tipica

Truncatulina concentrica Cushman, 1918, p.64, pl.21, fig.3.
Cibicidea concentrica (Cushman) Phleger y Parker, 1951,
p.29, pl.15, figs.14a,b, 15a,b; Andersen, 1961, p.124,
pl.29, figs.5-a-c.
Hanazawaiia concentrica (Cushman), forma tipica. Poag, 1981,
p.68, pl.37, fig.1, pl.30, fig.1a,b.
MATERIAL: 466 testas.
OCURRENCIA: En todas las estaciones.
DISTRIBUCION: Se ha reportado en el Delta del Rio
Mississippi, Laguna Madre, costas de Texas y Bahía de
Campeche.

REFERENCIAS

- ANDERSEN, H.R., 1961. Genesis and Palaeontology of the Mississippi River Moulumps. Part II. Foraminifera of the mudlumps, Lower Mississippi River Delta. Geol. Bull. 73: 202.
- ANTOINE, J.W., 1972. Structure of the Gulf of México. In: Rizzo, P. and Vernon, J.H. (Eds.) Contributions on the Geological and Geographical Oceanography of the Gulf of México. Texas A. and M. Univ. Oceanogr. Studies. 3: 1-14.
- AYALA-CASTANARES, A. y L.R. SEGURA, 1981. Foraminíferos recientes de la laguna de Tamiahua, Ver. Méx. An. Inst. Cienc. del Mar y Limnol., UNAM, 2, v.14: 107-138.
- BAILEY, J.W., 1951. Microscopical examination of soundings made by the U.S. Coast Survey off the Atlantic coast of the U.S. + Smithsonian Instit. Know., 2, v.11: 1-13.
- SANDY, G.L., 1956. Ecology of foraminifera in Northeastern Gulf of México. Geological Survey Prof. paper 274-G, p.211-2-2162.
- BATESCH, A.J.G.C., 1921. Sechs Suppertenarten mit Conchylien des Seesandes, gezeichnet und gestochen von A.J.G.C. Batesch in Leiden.
- BENSON, R.H. y G.L. COLEMAN, 1963. Recent Marine Ostracodes from the eastern Gulf of México. The Univ. of Kansas Paleont. Contrin. Arthropoda, 2: 1-50.
- BENSON, R.H. y R.L. WAGNER, 1961. Recent marine and lacustrine ostracodes from the estero de Tastilota region, Sonora, México. (NE Gulf of California). Univ. Kansas Paleont. Contrin. Arthropoda, 2: 1-34.
- BLACK, R.M., 1961. Elementos de Paleontología. Fondo de Cultura Económica México, D.F. p.398.
- BLAKE, C.H., 1933. New Crustacea from Mount Desert Region. Biol. Surv. Mount Desert Region. Acad. Harbour Maine. Philadelphia, p.229-241.
- BOCH, W.D., W.N. HAY, J.T. JONES, G.W. LYNTS, S.L. SMITH y P.C. WRIGHT, 1971. A Symposium of Recent South Florida Foraminifera. Memoir 1, Miami Geol. Soc. p. 245.

- CHRISTIANI, J.-A., 1976. Marine microfauna of Viper Island Sound and adjacent waters. *Benthon Biol.*, Vol. 11, No. 1, p. 1-22, 1976.
- , 1977. The Foraminiferae of the Atlantic Ocean. *U.S. Natl. Mar. Pollut. Assess. Rep.*, 1-166p.
- , 1985. Function new species of Foraminifera. *National Mus. Gall.*, 21 (2):1-12p.
- , 1986. Foraminifera from the shallow water of the New England Coast. *Journal Lab. Ocean. Res. Publ.*, no.12.
- , 1987. New species and varieties of Foraminifera from the Southeastern coast of the United States. *Copeia*, Chapman and Hall, Foram. Est., 421: 60-69.
- DAVIS, J.-C., 1977. *Statistical and Data Analysis in Geology*. John Wiley and Sons, p. 626.
- DIEGO-CASIMIRO, G., 1980. Comparación de algunos parámetros ecológicos con la población de Foraminíferos bentónicos vivos y total colectada en Mayo de 1980, en el área comprendida entre Tampico, Tamp. y Puerto Morelos, Mts. Seta de Marinas, Dir. Gen. Inv. Ocean. Vol. 2, 63-122-382.
- DODDISH, A.C., F.H., HASTHORPE, W.H., JONES, 1967. Holocene Quoddilope Delta of Texas Gulf Coast. 197-137p.
- DUPRÉT, A., 1926. Tableau métadique de la classe des Céphalopodes. *Ann. Sci. Nat.*, 1: 245-314.
- , 1939. Foraminifères. *Int. Rive de la Gogra, Histoire Physique, Politique et Naturelle de l'île de Cuba*, 236p.
- EDWARDS, P.A., 1981. Ostracoda from the Duplin area (Upper Miocene) of North Carolina. *Jour. Paleont.*, 18:505-528.
- EDWING, M., D.B. FRIGGSEN, y D.C. HEDDEN, 1980. Sediments and topography of the Gulf of Mexico. *Int. L.G. Heols*, ed., *Habitat of oil - A symposium Amer. Assoc. Petrol. Geol.*, Tulsa, p.255-1053.
- EGGER, J.-G., 1993. Foraminiferen aus Niedersgrundproben, geliefert von 1873 bis 1876 von Antl. Sch. Gazelle, K. Bayern. Akad. Wiss. München, Naturwissenschaften, Abh., München, Bd. 12 (1):193-458.

- GALLOWAY, J.J. & C.E. HEMINWAY, 1941. The Tertiary Foraminifera of Puerto Rico: Part I. Study of Island Bank and the Virgin Islands. *U.S. Natl. Bur. of Standards Bull.* 62(1): 1-147.
- GARRETT, E.C. & R.L. MCGOWAN, 1972. Integration of Holocene Cytheracean Ostracodes in the Bay of Texas. *Jour. of Paleontology*, 46(4): 841-854.
- GARCIA, E., 1970. Los Climates del Estado de Veracruz. *An. Inst. Biol. UNAM*, 41, Ser. Botánica, 1-42.
- GEO-ARGOEZ, P. & P.P. KPUTAK, 1963. Application of Ostracoda to economic and scientific problems. Eight International Symposium on Ostracoda. Excursion postimposium Ostracoda of México. Univ. of Houston.
- HAZEL, J.E., 1963. Age and Correlation of the Yorktown (Pliocene) and Crofton (Pliocene and Pleistocene) Formations at the Lee Creek Mine. *Smithsonian Contributions to Paleobiology*, 52: 81-199.
- HERNANDEZ-GOMEZ, M.T., 1964. Factores de distribución de los Foraminíferos Bentónicos de la Laguna del Carmen. Tab. Tesis Maestría, UCHM, UNAM, 87p.
- KEYSER, D., 1975. Ostracoden aus den Mangrovengebieten von Südwest-Florida. (Crustacea Ostracoda). Abb. Verh. Mat.-Veg. Hamburg 12/13:189-279.
- KIM, J.O., 1978. Factor Analysis. In: KIM, J.O. et al. (Eds.), *Statistical Practice for the Social Science*. p. 468-514.
- KINOMA, J.Y., 1948. Contributions to the knowledge of the Young Cenozoic Ostracoda from the Malayan Region. Acad. Thesis Utrecht, 196 p.
- KÖHNKE, M.M., 1921. Recent littoral foraminifera from Texas and Louisiana. *Centro. Geol. Mex.*, Granford Univ. 12(2): 1-176.
- KONTROVITZ, M., 1976. Ostracoda from the Louisiana Continental Shelf. *Tulane Studies in Geology and Paleontology*, 12 (2): 49-100.
- _____, 1978. A Pleistocene Ostracode Fauna from South Florida. *Tulane Studies in Geology and Paleontology*, 14 (2): 125-160.
- KPUTAK, P.P., 1971. The Recent Ostracoda of Laguna Mandinga, Ver. Mex. *Micropaleontology* 17 (1): 1-30.

- _____, 1982. Modern ostracodes of the Veracruz-Antón Lizardo River, México. *Microfauna*, 28 (3): 255-268.
- MURC, G., 1961. Foraminifères et ostracodes de l'étang de Thau (Gir). *Bullet. Soc. Marit. Fr. Taux.*, 25.
- LAMARCK, J.-B., 1804. Suite des mémoires sur les fossiles des environs de Paris. *Ann. Mus. Natl. Hist. Nat.*, Paris, 5:179-188.
- _____, 1816. Histoire naturelle des animaux sans vertébres: 2:568.
- LANKFORD, R.R., 1959. Distribution and Ecology of Foraminifera from east Mississippi Delta margin. *Am. Assoc. Petrol. Geol. Bull.*, 43 (9): 2068-2099.
- LEET, L.C. y S. JUDGON, 1962. Fundamentos de Geología Física. Ed. Limusa. México. 450p.
- LOEBLICH, A.R. Jr. y H. TAPPAN, 1982. Classification of the Foraminifera In Broadhead, T.H. Foraminifera: Notes for a short course. Univ. Tennessee, Std. Geol., 6: 1-21.
- LUGO-HUER, J. 1985. Morfoestructuras del Fondo Oceánico Mexicano. *Bol. del Inst. de Geol. UNAM.* 15: 9-39.
- MACHAIN-CASTILLO, H.L., 1982. Ostracodes Assemblages in the Southern Gulf of México: An overview. (En prensa).
- MACHAIN-CASTILLO, H.L., A.M. PEREZ-OUZMAN y R.F., MADDOCKS, 1988. Ostracoda of the terrigenous continental platform of the southern Gulf of Mexico. (En prensa).
- MALKIN, D.S., 1972. Biostratigraphic study of Miocene Ostracoda of New Jersey, Maryland, and Virginia. *Jour. Paleont.* 32: 701-719.
- MCNAUL, A.B., 1972. Deltas. In: Waller, F.G. (Ed.) *Eacies Models*. Geological Canada Reprints Series 1, p.43-56.
- MONTRAIL, G., 1803. *Trochaea Britannica, or natural history of British shells, marine, land, and fresh-water, including the most minute species*. p.
- MORALES, G.A., 1966. Ecology Distribution and Taxonomy of Recent Ostracoda of The Laguna de Terminos, Campeche, México. *Bol. St. Inst. de Geol. UNAM*, p.103.
- MOORE, P.C. (Ed.), 1961. Treatise on invertebrate paleontology Part D, Ostracoda: Geol. Soc. America and Univ. Kansas Press, 442p.

- PARKER, F.L., 1954. Distribution of the Foraminifera in the Northeastern Gulf of Mexico: Harvard Univ. Cambr. Geol. Bull., 51 (1954) 454-580.
- PARR, W.J. 1950. Foraminifera, British and New Zealand Antarctic Research Expedition. 5 vols. 273-282.
- PEREZ-RAMOS, S.G., 1968. Estudio de los Sedimentos de la Plataforma Continental del Golfo de México desde Tuxpan, Ver. hasta Cd. del Carmen, Campe. Tesis Prof. Fac. Ingenieria. UNAM. 49 p.
- PHLEGER, F.B. y PARKER, F.L., 1951. Ecology of Foraminifera Northwest Gulf of México. Part II. Foraminifera Species Geol. Soc. of Am. Memoir 46, Waverly Press, Inc. USA. 8 Ed.
- _____, 1960. Sedimentary Patterns of microfaunas in Northern Gulf of México. Am. Assoc. of Petrol. Geol. p.367-381.
- PLUSQUELLEC, P.L. y SANDBERG, P.A., 1969. Some genera of the Ostracode Subfamily Campylocytherinae. Micropaleontology, 15:427-460.
- POAG, C.W., 1981. Ecologic Atlas of Benthic Foraminifers of the Gulf of México. Marine Science International. Woods Hole, Massachusetts, USA. p.174.
- POKORNÝ, V., 1978. Ostracodes. In: HED, U.B., (Ed.) Introduction to Marine Micropaleontology. Ed. Elsevier North-Holland, Inc. USA, p.109.
- PURI, H.S., 1952. Ostracode genera Cytherella and Paracytherella in America. Jour. Palaeont. 26: 199-212.
- _____, 1953. The ostracode genus Trachyleberis and its ally Actinocythereis. Amer. Mid. Naturalist, 42:171-187.
- _____, 1954. Contribution to the study of the Miocene of the Florida Panhandle. Part. 3, Ostracoda of Florida. Geol. Survey, 36 : 215-345.
- _____, 1958. Ostracode genus Cushmanidea: Gulf Coast Assoc. Geol. Soc. Trans. 8 :171-181.
- PURI, H.S., 1960. Recent Ostracoda from the west coast of Florida. Trans. Gulf Coast Assoc. of Geol. Soc. 10:108-148.

- PUFT, H.S., v HULLINGS, N.C., 1957. Recent Ostracode facies from Panama City to Florida Bay area: Gulf Coast Assoc. of Geol. Soc. 167-190. *
- REUSS, A.E., 1851. Ueber die fossilen Foraminiferen und Entomostraceen der Senantienthone der Umgegend von Berlin. Zeitschrift der Deutschen Geologischen Gesell., 2: 49-92.
- RUGGIERI, G., 1953. Ostracodi del genere Pallidorchella viventi nel Mediterraneo. Atti Soc. Italiana Sci. Nat., 92:1-5.
- SAPH, 1971. Boletin Hidrológico No.42. Región Hidrológica No.27 Tomo II. Méx. D.F.
- SOKAL, R. Y SNEATH, P., 1973. Numerical Taxonomy. W.H. Freeman and Company. San Francisco. p.573.
- STACHE, G., 1865. Die foramineferen der tertiären Mergel Whaingaroa-Hafens (Prov. Auckland): Novara Exped. 1857-59, Wien, 1:159-304.
- STEPHENSON, M.B., 1944. New Ostracoda from subsurface Middle Tertiary strata of Texas: Jour. Palaeont. 18: 156-161.
- SWAIN, F.M., 1951. Ostracoda from Wells in North Carolina part I, Cenozoic Ostracoda: U.S. Geol. Survey, Prof. Paper 234-A, 58p.
- _____, 1955. Ostracoda of San Antonio Bay, Texas, Jour. of Paleont. 29 (4): 561-643.
- TAMAYO, J.-L., 1974. Geografía Moderna de México. Tomo I. Trillas. Méx. D.F. p.390.
- TEETER, J.W., 1975. Distribution of Holocene Marine Ostracoda from Belize. Am. Assoc. Petrol. Geol. Stud. in Geol. 2:400-499.
- TERPOUEM, G., 1876. Essai sur le classement des animaux qui vivent sur la plage et dans les environs de Dunkerque 2:55-100.
- THALMANN, H.E., 1950. New names and homonyms in Foraminifera: Cushman Found Foram Research, Contrib., 1:41-45.
- UCHUPI, E., 1967. Bathymetry of the Gulf of Mexico. Trans. Gulf Coast Assoc. Geol. Soc. 17:161-172.

- ULRICH, E.O. y BASSLER, F.B., 1904. Systematic Paleontology
of the Miocene Deposits of Maryland: Ostracoda. Maryland
Geol. Survey, Miocene, Report, p.98-170.
- UPSHAW, C.F.; W.B. CREATR y F.L. BROOKS, 1966. Sediments
and microfauna off the coasts of Mississippi and
adjacent states. Mississippi Geol. Econ. Bull., 106-127p.
- WALKER, D.A., A.E. LINTON y C.T. SCHAFER, 1974. Sudan Black
B+A Superior Stain to Rose Bengal for Distinguishing
Living from Non-Living Foraminifera. Jour. Foram. Res.,
4(4):205-215.
- WETMORE, K.L., 1967. Correlations between test strength,
morphology and habitat in some benthic foraminiferal
Research. 17 (1).